

СЕРГЕЙ АЛЕКСАНДРОВИЧ АМБАРЦУМЯН

(К восьмидесятилетию со дня рождения)

Выдающемуся ученому современности, создателю новых научных направлений в механике деформируемого твердого тела, одному из основоположников армянской научной школы механики, академику НАН РА Сергею Амбарцумяну исполнилось 80 лет.

Сергей Александрович Амбарцумян родился 17-ого марта 1922г. в Александрополе (Гюмри) в семье юриста. В 1942г. с отличием окончил факультет строительной механики Ереванского Политехнического института и был назначен на преподавательскую работу в этом же институте. В 1945-1946гг. учился в аспирантуре. В 1946г. С. Амбарцумян уже кандидат наук. В 1952г. в Москве в Институте проблем механики защитил докторскую диссертацию и ему была присвоена ученая степень доктора технических наук. В 1953г. ему присвоено звание профессора. В 1956г. С. Амбарцумян избран членом-корреспондентом АН Армении, а в 1965г. — академиком Академии наук. В 1946-55гг. С. Амбарцумян работал в Институте сооружений Академии наук старшим паучным сотрудником, заведующим сектором, зам. директора института.

В 1955г. при активном содействии видного ученого основан Институт математики и механики Академии наук, директором которого он был в 1959-71гг. В эти и последующие годы С. Амбарцумян приложил огромные

усилия для развития математики и механики в Армении. Доказательством этого является создание в 1971 году двух независимых институтов.

В 1971-77гг. С. Амбарцумян был директором Института механики Академии наук. Благодаря ученому, в академии создается отделение физико-технических наук и механики, академиком-секретарем которого он был в 1971-74гг. В 1974-1977г. С. Амбарцумян—вице-президент АН Арм.ССР, а в 1977-1991гг.—ректор Ереванского государственного университета.

С 1971г. С. Амбарцумян является членом Президиума Академии наук, а с 1992г. почетным директором Института механики НАН РА.

Уже первые работы С. Амбарцумяна привлекли внимание мирового научного сообщества, что послужило предпосылкой для признания армянской Школы механики. С. Амбарцумян построил классическую теорию анизотропных слоистых пластин и оболочек. Эта теория получила большое применение в расчетах подводных лодок и ракетной техники.

Опубликованные в Москве в Издательстве "Наука" монографии "Теория анизотропных оболочек" (1961г.) и "Теория апизотропных пластин" (М.: Наука, 1967, 2-ое изд. М.: Наука, 1988) получили широкое признание. Эти монографии стали настольными книгами в проектных организациях и конструкторско-технологических бюро по новой технике. Они были переведены на английский и опубликованы в США соответственно в 1964, 1979гг., а также в Японии в 1975г.

С. Амбарцумян предложил уточненные теории пластин и оболочек. частности. дали возможность рассчитать топкостенные конструкции, изготовленные из современных композиционных материалов. Они послужили стимулом RΛД новых теоретических разработок. Полученные результаты обобщены в монографии "Общая теория анизотропных оболочек", которая опубликована Издательством "Наука" в 1974г. и переведена на английский и опубликована в США в 1991r.

Известному ученому свойственно острое восприятие нового, что ярко продемонстрировано в работах, посвященных теории электромагнитоупругости тонких тел, теории упругости тел, разносопротивляющихся сжатию и растяжению, несимметричной теории упругости тонких тел.

Монографии "Магнитоупругость тонких пластин и оболочек" (М., Наука, 1977г., соавторы Г.Багдасарян, М.Белубекян), "Разномодульная теория упругости" (М. Наука 1982г.), "Микрополярная теория оболочек и пластин" (Ереван, НАН РА, 1999г.) предвосхитили дальнейшее развитие этих направлений во всем мире.

С. Амбарцумяном получены очень интересные результаты в области нелипейной теории вязкоупругости.

Многочисленные результаты С.А. Амбарцумяна, имеющие большое значение для новейшей техники, включены в справочники.

Научная деятельность видного ученого тесно связана с воспитанием нескольких поколений высококвалифицированных научно-педагогических кадров. Под его непосредственным руководством более сорока молодых ученых защитили докторскую и кандидатскую диссертации.

В 1943-46гг. С. Амбарцумян преподавал в Ереванском Политехническом институте, а. с 1948г. по сей день — в Ереванском госуниверситете. Будучи ректором ЕГУ и вице-президентом Академии. он уделял особое внимание развитию армяноведения. По инициативе выдающегося ученого были опубликованы многовековые шедевры армянской истории и литературы.

Являясь депутатом Верховного Совета СССР и членом его Президиума, С. Амбарцумян-гражданин блеснул своим патриотизмом. В памяти нашего народа навсегда останется его известная полемика с Михаилом Сергеевичем Горбачевым. Она воодушевила и вселила уверенность воинам-освободителям Нагорного Карабаха (Арцаха).

С. Амбарцумян является академиком Международной Академии Астронавтики. почетным академиком Международной Инженерной Академии, действительным членом Международной Академии наук, образования, промышленности и искусства (США), почетным академиком Академии философии Армении, академиком Инженерной академии Армении. моном Президиума Национального комитета прикладной теоретической механики России, почетным членом Союза механиков Словацкой Братиславского AH. мынтэроп доктором университета, почетным профессором информатике, Института Пеннисуеля по гехнологии и бизнесу (США), основателем и почетным председателем общества механиков Республики Армения, главным редактором журнала ААН Армении, членом ряда научных и специализированных советов. Он был членом комитета Ленинской и Государственной премий.

Видный деятель науки С.Амбарцумян был пагражден орденом Ленина, орденом Почета, орденом Трудового Красного Знамени, орденом Яна Коменского, орденом "Октябрьской революции". За заслуги в пропаганде знаний он был награжден медалью им. С.И.Вавилова, а за заслуги в области науки и образования — медалью Ереванского государственного университета и "Большой серебряной медалью и призом" Международной Инженерной Академии.

Поздравляем Сергея Александровича Амбарцумяна с юбилеем! Ученому-гражданину, общественному деятелю желаем крепкого здоровья, долгих лет жизни, новых творческих успехов, неиссякаемой энергии и сил для продолжения большого, неоценимо важного дела.

Մեխանիկա

55, Nº1, 2002

Механика

VAK 539.3

ЗАДАЧА ДЛЯ УПРУГОЙ ГІЛОСКОСТИ, СОДЕРЖАЩЕЙ КРЕСТООБРАЗІНОЕ ВКЛЮЧЕНИЕ Григорян Э.Х., Торосян Д.Р., Шагинян С.С.

է Խ. Գրիգորյան, Դ. Ռ. Թորոսյան, Մ.Ս. Շահինյան Խնդիր առածգական հարթության համար, որը պարունակում է խաչաձև ներդիր

Դրտարկվում է իւնդիր առածվական հարջության համար, որը պարունակում է խաչաձե վերջումա ներդիր Խնդիրը մոդելացվում է որպես կտոր առ կտոր համասեծ անվերջ խաչաձե հերդիր պարունակող առածվական հարթության խնդիր։ Խնդիրը բերվում է Ֆրեդհոլմի երկրորդ սեռի ինտեղրալ հավասուրձան, որը թուղ է ռալիս լուծում հաջորդական մոտավորությունների մեթոգով։

E.K.Grigoryan, D.R.Torosyan, S.S.Shahinyan Problem for Elastic Plane Weakened by Cruciform Insertion

Рассматривается задача для упругой плоскости, содержащей крестообразной упругое конечное включение. Упругая плоскость деформируется под действием напряжений приложенных на бесконечности по взаимно-перпецдикулярным направлениям (по К и по 17). Вплачи моделируется в виде задачи для упругой плоскости, содержащей бесконечное крестообразное иключение, состоящее из двух кусочно-однородных бесконечных яключении Долее задача сводится к решению фредгольмовского интегрального уравнению иторого рода, допускающее решение методом последовательных приближении.

Пусть упругая плоскость содержит две одинаковые взаимно-перпендикулярные включения одинаковой длины, когорые вместе образуют крест, т.е. упругая плоскость содержит крестообразное включение Упругая плоскость деформируется под действием папряжений p и q. приложенных на бесконечности по направлениям Ox и Ov, соответственно. Относительно вкаючения полагается, что оно по линиям X и Vнаходится в одноосном напряженном состоянии т.е. она совпадает с крестообразной линией $|x| \le a$, y = 0 и $|y| \le a$, x = 0, с жесткостью E_1h_1 где E_1 – модуль упругости включения, а h – его толшина. С другой стороны, поскольку вышеуказанная линия имеет конечную жесткость, то в концах $x = \pm a$, $y = \pm a$ оно не может быть в контакте с лициями нуленой жесткости. Поэтому, чтобы учитывать контактные условия на концах включения ($x=\pm a$ и $y=\pm a$), поступим, как в [1], мысление продолжим включение по направлениям х в у материалом упругой плоскости до бесконечности. Далее допустим, что нолученное кусочнооднородное бесконечное крестообразное включение находится в двухосном напряженном состоянии, т.е. совпадает с крестообразной линией, имеющая конечную жесткость (при |x| < a, |y| < a – жесткость E.h. а при |x| > u, |y| > a – жесткость E.h. где E_2 – модуль упругости материала плоскости). Из пышесказанного следует, что задача для упругой плоскости с конечным крестообразным включением, можно моделировать, как задачу для плоскости с бесконечным кусочно-однородным крестообразным включением, конечная часть которого вышеуказациос включение, а полубесконечная часть состоит из материала упругой плоскости.

Приступив к решению модольной задачи, запишем уравнения равновесия включения

$$hE_{1} \frac{d^{2}u^{(1)}(x)}{dx^{2}} + 2\tau^{(1)}(x) = 0; \quad (-\infty < x < -a)$$

$$hE_{1} \frac{d^{2}u^{(1)}(x)}{dx^{2}} + 2\tau^{(1)}(x) = 0; \quad (-a < x < a)$$

$$hE_{2} \frac{d^{2}u^{(1)}(x)}{dx^{2}} + 2\tau^{(1)}(x) = 0; \quad (a < x < \infty)$$

$$(1)$$

a при $-\infty < y < \infty$

$$hE_{2} = \frac{d^{2} v^{(1)}(y)}{dv^{2}} + 2\tau^{(2)}(y) = 0; \quad (-\infty < y < -a)$$

$$hE_{1} = \frac{d^{2} v^{(1)}(y)}{dy^{2}} + 2\tau^{(2)}(y) = 0; \quad (-a < y < a)$$

$$hE_{2} = \frac{d^{2} v^{(1)}(y)}{dy^{2}} + 2\tau^{(2)}(y) = 0; \quad (a < y < \infty)$$

$$(2i)$$

где $\tau^{(1)}(x)$, $\tau^{(2)}(y)$ – контактные касательные напряжения. $u^{(1)}(x)$.

В начале рассмотрим уравнения (1) и запишем их одним уравнением Из (1) будем иметь

$$\frac{du^{(1)}(x)}{dx} = -\frac{2}{nE_1} \int \tau^{(1)}(s)ds + \frac{p}{E_2} \qquad (-\infty < x < -a)$$

$$\frac{du^{(1)}(x)}{dx} = -\frac{2}{hE_1} \int_{-a}^{a} \tau^{(1)}(s)ds + C; \qquad (-a < x < a)$$

$$\frac{du^{(1)}(x)}{dx} = \frac{2}{nE_2} \int_{a}^{a} \tau^{(1)}(s)ds + \frac{p}{E_2}; \qquad (a < x < \infty)$$

Выше имеется в виду, что

$$\int_{0}^{\infty} \tau^{(1)}(s) ds = 0.$$

Теперь, имея в виду, что $\tau^{(1)}(-s) = -\tau^{(1)}(s)$, получим

$$\int_{-a}^{x} \tau^{(1)}(s) ds = -\int_{0}^{a} \theta(s-x) \tau^{(1)}(s) ds; \qquad (0 < x < a)$$

где $\theta(x)$ — функция Хевисайда.

Итак, будем иметь

$$\frac{du^{(1)}(x)}{dx} = \frac{2}{hE_1} \int_0^a \Theta(s-x) \tau^{(1)}(s) ds + C, \qquad (0 < x < a)$$
 (3)

$$\frac{du^{(1)}(x)}{dx} = \frac{2}{hE_2} \int_{0}^{\infty} \theta(s-x) \tau^{(1)}(s) ds + \frac{P}{E_2}, \qquad (a < x < \infty)$$
 (4)

Далее, удовлетворив условию контакта

$$E_1 \frac{du^{(1)}(x)}{dx} \bigg|_{x=0.0} = E_2 \frac{du^{(1)}(x)}{dx} \bigg|_{x=0.0}$$

Тогда С определяется в виде

$$C = \frac{2}{hE_1} \int \tau^{(1)}(s) ds + \frac{p}{E_1}; \qquad \int_{a}^{a} \tau^{(1)}(s) ds = 0;$$

(3) и (4) можно записать одним уравнением

$$\frac{du^{(1)}(x)}{dx} = \left(\frac{2}{hE_1}\int_0^a \theta(s-x)\tau^{(1)}(s)ds + C\right) (1-\theta(x-a)) + \left(\frac{2}{hE_2}\int_0^\infty \theta(s-x)\tau^{(1)}(s)ds + \frac{p}{E_2}\right) \theta(x-a), \quad (0 < x < \infty)$$

 Δ ля дальнейшего, после замены x на ae^{+} , s на ae^{+} , получим

$$\frac{du^{(1)}(x)}{dx} = \left(\frac{2a}{hE_1}\int_{-\pi}^{0}\theta(u-v)\tau_1(u)e^udu + C_1\right)\theta(-v) +
+ \frac{2a}{hE_2}\int_{0}^{\infty}\theta(u-v)\tau_1(u)e^vdu \theta(v) + \frac{p}{E_2} \qquad (-\infty < v < \infty)$$
(5)

FAC

$$\tau_1(u) = \tau^{(1)}(ae^u);$$
 $C_1 = \frac{2a}{hE_1} \int_0^\infty \tau_1(u)e^u du + p\left(\frac{1}{E_1} - \frac{1}{E_2}\right)$

Далес, продифференцировав (5) по v, получим

$$\frac{d}{d\mathbf{v}} \left(\frac{du^{(1)}(\mathbf{x})}{d\mathbf{x}} \right) = -\frac{2a}{hE_1} \tau_1^*(\mathbf{v}) e^{\mathbf{v}} - \frac{2a}{hE_2} \tau_1^*(\mathbf{v}) e^{\mathbf{v}} + A\delta(\mathbf{v})$$
 (6)

rae

$$\tau_1^-(\mathbf{v}) = \theta(-\mathbf{v})\tau_1(\mathbf{v}); \qquad \tau_1^-(\mathbf{v}) = \theta(\mathbf{v})\tau_1(\mathbf{v})$$
$$A = \left(\frac{1}{E_2} - \frac{1}{E_1}\right) \left[p + \frac{2a}{h} \int_0^1 \tau_1(u)c^u du\right]$$

Поступая аналогичным образом, получим

$$\frac{d}{dw}\left(\frac{dN^{(0)}(v)}{dv}\right) = -\frac{2a}{nE_1}\tau_2(w)e^{-v} - \frac{2a}{hE_2}\tau_2^*(w)e^{w} + B\delta(w) \quad (-\infty < w < \infty) \quad (7)$$

где

$$B = \left(\frac{1}{E_2} - \frac{1}{E_1}\right) \left(q + \frac{2a}{h} \int_{0}^{\infty} \tau_2(w)e^{-u}dw\right)$$

 $\tau_{1}(w) = \tau^{(2)}(ae^{w}); \quad \tau_{2}(w) = \theta(-w)\tau_{2}(w); \quad \tau_{1}(w) = \theta(w)\tau_{2}(w)$ С другой стороны, разрешив уравнения Ламе при условиях

$$\tau_{yx}(x;+0) - \tau_{yx}(x;-0) = 2\tau^{(1)}(x)$$

$$\tau_{xy}(+0; y) - \tau_{xy}(-0; y) = 2\tau^{(2)}(y)$$

и ввиду того, что $\tau^{(1)}(x)$ и $\tau^{(2)}(y)$ печетные функции, будем иметь [2]

$$\frac{du^{(2)}(x,0)}{dx} = -\frac{A_0}{\pi} \int_0^{\infty} \left(\frac{1}{\xi - x} - \frac{1}{\xi + x} \right)^{\frac{1}{2}} \left(\frac{\xi}{\xi} \right) d\xi + \frac{B_0}{\pi} \int_0^{\infty} \frac{\eta(\eta - x)}{(\eta^2 + x^2)^2} \tau^{(2)}(\eta) d\eta + \frac{(1 - v^2)p}{E_2} - \frac{v(1 + v)q}{E_2} \right) d\xi + \frac{dv^{(2)}(0,y)}{dy} = -\frac{A_0}{\pi} \int_0^{\infty} \left(\frac{1}{\eta - y} + \frac{1}{\eta + y} \right) \tau^{(2)}(\eta) d\eta + \frac{B}{\pi} \int_0^{\infty} \frac{\xi(\xi^2 - y^2)}{(\xi^2 + y^2)^2} \tau^{(1)}(\xi) d\xi + \frac{(1 - v^2)q}{E} - \frac{v(1 + v)p}{E} \right) d\xi + \frac{(1 - v^2)q}{E} - \frac{v(1 + v)p}{E}$$

где $u^{(1)}(x,0)$ — перемещения плоскости по линии y=0, $v^{(1)}(0,v)$ — перемещения плоскости по линии x=0, $A_0=\frac{(1+v)(3-4v)}{2(1-v)E_2}$ $B_0=\frac{1+v}{E_2(1-v)}$

v — коэффициент Пуассона материала плоскости.

Отметим, что искомые $au^{(1)}(x)$ и $au^{(2)}(y)$ ищутся в классе функций

$$\tau^{(1)}(x) \sim A_1 x^{-1-\delta};$$
 $\tau^{(1)}(y) \sim B_1 y^{-1-\delta}$ при $x \to \infty$, $y \to \infty$

$$\tau^{(1)}(x) \sim A_2 x^{\beta}; \ \tau^{(2)}(y) \sim B_2 y^{\beta} \text{ при } x \to 0, \ y \to 0$$

rae $\delta > 0$. $\beta > 0$.

Далее, после замены $\xi = ae^u$, $\eta = ae^u$, $x = ae^v$, $y = ae^w$ для $\frac{d}{dv} \left(\frac{du^{(2)}(x,0)}{dx} \right)$; $\frac{d}{dw} \left(\frac{dv^{(1)}(0,v)}{dy} \right)$ получим

$$\frac{d}{dv} \left(\frac{du^{(3)}(x,0)}{dx} \right) =$$

$$= \frac{d}{dv} \left[-\frac{A_0}{\pi} \int_0^{\infty} \left(\frac{1}{1 - e^{v - u}} + \frac{1}{1 + e^{v - u}} \right) \tau_1(u) du + \frac{B_0}{\pi} \int_0^{\infty} \frac{1 - e^{2(v - u)}}{(1 + e^{2(v - u)})^2} \tau_2(u) du \right]$$

$$\frac{d}{dw} \left(\frac{dv^{(3)}(0,v)}{dv} \right) = \frac{d}{dw} \left[-\frac{A_0}{\pi} \int_0^{\infty} \left(\frac{1}{1 - e^{v - u}} + \frac{1}{1 + e^{v - u}} \right) \tau_2(u) du + \frac{1}{2} \left(\frac{1}{1 - e^{v - u}} + \frac{1}{1 - e^{v - u}} \right) \tau_2(u) du \right)$$

$$+\frac{B_0}{\pi} \int_{0}^{\infty} \frac{1 - e^{2(u - u)}}{(1 + e^{2(u - u)})^2} \tau_1(u) du$$
[9]

rae $\tau(u) = \tau^{(1)}(ae^+), \ \tau_*(u) = \tau^{(2)}(ae^+).$

Теперь, применив комплексное преобразование Фурье к (6) – (9), получим

$$F\left[\frac{a}{dx}\left(\frac{a}{dx}\right)\right] = -\frac{2a}{hE_1}\tau_1\left(\alpha - i\right) - \frac{2a}{hE_2}\overline{\tau}_1\left(\alpha - i\right) + A$$

$$F\left[\frac{a}{dx}\left(\frac{a}{dx}\right)\right] = -\frac{2a}{hE_2}\tau_1\left(\alpha - i\right) - \frac{2a}{hE_2}\overline{\tau}_1\left(\alpha - i\right) + B \qquad (10)$$

$$(-\delta < \text{Im}\,\alpha < 1 + \beta)$$

$$r \left[\frac{d}{dv} \left(\frac{du^{(2)}(x)}{dx} \right) \right] = A \arctan \frac{\pi \alpha}{2} \, \overline{\tau}_{i}(\alpha) + \frac{B \cdot i\alpha(\alpha + i)}{2 \operatorname{sh}(\pi\alpha + 2)} \, \overline{\tau}_{i}(\alpha)$$

$$= \left[\frac{d}{dw} \left[\frac{du^{(2)}(x)}{dx} \right] \right] = A \cdot \alpha \operatorname{cth} \frac{\pi \alpha}{2} \, \overline{\tau}_{i}(\alpha) + \frac{B \cdot i\alpha(\alpha + i)}{2 \operatorname{sh}(\pi\alpha + 2)} \, \overline{\tau}_{i}(\alpha) \qquad (11)$$

$$(-1 < \operatorname{Im}\alpha < 0)$$

PAC

$$F[T(x)] = \overline{T}(\alpha) = \int T(x)e^{-\alpha x}dx; \qquad \alpha = \sigma + it \quad (-\infty < \sigma < \infty)$$

Выше имелось в виду, что $\tau_i(\alpha)$ регулярна при $\operatorname{Im} \alpha < \beta$ $\tau_i(\alpha)$ регулярна при $\operatorname{Im} \alpha > -1 - \delta$ $\tau_i(\alpha - i)$ регулярна при $\operatorname{Im} \alpha < 1 + \beta$, $\tau_i(\alpha - i)$ регулярна при $-\delta < \operatorname{Im} \alpha$, $\tau_i(\alpha)$ регулярна при $1 - \delta < \operatorname{Im} \alpha < \beta$, $\tau_i(\alpha - i)$ регулярна при $-\delta < \operatorname{Im} \alpha < 1 + \beta$ (k = 1, 2).

$$\frac{1}{\pi}F\left[\frac{1}{1-e^{v}}\right] = -i\coth\pi\alpha \qquad (-1 < \ln\alpha < 0)$$

$$\frac{1}{\pi}F\left[\frac{1}{1+e^{v}}\right] = -\frac{i}{\sinh\pi\alpha} \qquad (-1 < \ln\alpha < 0)$$

$$\frac{1}{\pi}F\left[\frac{1-e^{2v}}{(1+e^{2v})^{2}}\right] = \frac{\alpha+i}{2\sinh(\pi\alpha/2)} \qquad (-2 < \ln\alpha < 0)$$

Далес, имея в виду условия контакта

$$\frac{du^{(1)}(x)}{dx} = \frac{du^{(2)}(x,0)}{dx} \qquad (0 < x < \infty)$$

$$\frac{d\mathbf{v}^{(t)}(y)}{dy} = \frac{d\mathbf{v}^{(t)}(0, y)}{dy} \qquad (0 < y < \infty)$$

из [10] и (11) получим функциональное уравнение

$$\alpha \operatorname{cth} \frac{\pi \alpha}{2} \overline{\tau}_{1}(\alpha) + \frac{i\alpha(\alpha + i)}{\operatorname{sh}(\pi \alpha / 2)} A_{1} \overline{\tau}_{2}(\alpha) + \lambda_{1} \overline{\tau}_{1}(\alpha - i) + \lambda_{2} \overline{\tau}_{1}(\alpha - i) =
= (\lambda_{2} - \lambda_{1})(p + X) \frac{1}{2\alpha} \qquad (-1 < \operatorname{Im} \alpha < 0)$$

$$\alpha \coth \frac{\pi \alpha}{2} \overline{\tau}_{2}(\alpha) + \frac{i\alpha(\alpha+i)}{\sinh(\pi\alpha/2)} A_{1} \overline{\tau}_{1}(\alpha) + \lambda_{1} \overline{\tau}_{2}(\alpha-i) + \lambda_{2} \overline{\tau}_{1}(\alpha-i) =$$

$$= (\lambda_{2} - \lambda_{1})(\alpha+Y) \frac{h}{2\alpha} \qquad (-1 < \text{Im}\,\alpha < 0)$$

Зметь δ фиксировалось в области δ≥1 где

$$A_{1} = \frac{B}{2A_{0}} = \frac{1}{3 - 4v}; \qquad \lambda_{1} = \frac{2a}{hE_{1}A_{0}}; \qquad \lambda_{2} = \frac{2a}{hE_{2}A_{0}}$$

$$X = \frac{2a}{h}\bar{\tau}_{1}(-i); \qquad Y = \frac{2a}{h}\bar{\tau}_{2}(-i).$$
(14)

Теперь заметим, что (12) и (13) можно представить в виде

$$K_1(\alpha)\phi(\alpha) + \lambda_2\phi(\alpha - i) = (\lambda_2 - \lambda_1)\phi_1(\alpha - i) + (\lambda_2 - \lambda_1)d$$
 (15)

$$\overline{K}_{2}(\alpha)\overline{\psi}(\alpha) + \lambda_{2}\overline{\psi}(\alpha - t) = (\lambda_{1} - \lambda_{1})\overline{\psi}(\alpha - t) + (\lambda_{2} - \lambda_{1})\overline{\psi}(\alpha - t) + (\lambda_{2} - \lambda_{2})\overline{\psi}(\alpha) + (\lambda_{3} - \lambda_{3})\overline{\psi}(\alpha) + (\lambda_{3} - \lambda_{3})\overline{\psi}(\alpha$$

rae

$$\overline{K}_{1}(\alpha) = \frac{\alpha \left(\cosh(\pi \alpha/2) + i(\alpha + i)A_{1} \right)}{\sinh(\pi \alpha/2)}; \ \overline{K}_{2}(\alpha) = \frac{\alpha \left(\cosh(\pi \alpha/2) - i(\alpha + i)A_{1} \right)}{\sinh(\pi \alpha/2)}$$

$$(-1 < \text{Im } \alpha < 0)$$

$$\begin{aligned} \mathbf{d} &= h(X + Y + p + q)/2a; \quad d_2 = h(X - Y + p - q)/2a \\ \phi(\alpha) &= \overline{\tau}_1(\alpha) + \overline{\tau}_2(\alpha); \quad \overline{\psi}(\alpha) = \overline{\tau}_1(\alpha) - \overline{\tau}_2(\alpha) \\ \overline{\phi}^*(\alpha - i) &= \overline{\tau}_1^*(\alpha - i) + \overline{\tau}_2^*(\alpha - i); \quad \overline{\psi}^*(\alpha - i) = \overline{\tau}_1^*(\alpha - i) - \overline{\tau}_2^*(\alpha - i) \\ \mathbf{B} \text{ cayae} \quad p = q \end{aligned}$$

$$\varphi(\alpha) = 2\overline{\tau}_1(\alpha); \qquad \psi(\alpha) = 0.$$

Итак, задача свелась к решению функциональных уравнений (15) и (16), поскольку

$$\overline{\tau}_1(\alpha) = \frac{\overline{\phi}(\alpha) + \overline{\psi}(\alpha)}{2}; \ \tau_2(\alpha) = \frac{\overline{\phi}(\alpha) - \overline{\psi}(\alpha)}{2}.$$

До того, как перейти к решению функциональных уравнений (15), (16), определим значения постоянных δ и β , т.е. определим поведение функций $\tau^{(1)}(x)$ и $\tau^{(1)}(y)$ в окрестности точек нуля и бесконечности. Для этого рассмотрим уравнение (15). Поскольку $\phi(-i)$ конечное число (11) а K, (-i) = 0, то из (15) следует, что $\overline{\phi}(-2i)$ — конечное число. Далее, поскольку $\overline{\phi}(-2i)$ — конечное число, то из (15) следует, что $\alpha = -5i$ является первым простым полюсом аналитического продолжения

функции $\mathfrak{G}(\alpha)$ при $\mathrm{Im}\,\alpha<0$. Аналогичным сбразом можно показать, что для аналитического продолжения функции $\Psi(\alpha)$ первым полюсом при $\mathrm{Im}\,\alpha<0$ является опять точка $\alpha=-3i$. Из сказанного следует, что $\delta=2$, т.е. $\tau^{(1)}(x)\sim A_1x^{-3}$, $\tau^{(1)}(y)\sim A_2y^{-3}$ при $x\to\infty$, $y\to\infty$. Теперь приступим к определению поведения функции $\tau^{(1)}(x)$, $\tau^{(2)}(y)$ при $x\to0$, $y\to0$ соответственно. Для этого опять рассмотрим уравнение (15). Пусть β такова, что первый положительный корень $K_1(\alpha)$ попадает в область регулярности $-2<\mathrm{Im}\,\alpha_1<\mathrm{I}+\beta$ функции $\phi(\alpha-i)$ В таком случае, как нетрудно видеть, $\alpha=\alpha_1$ может быть первым простым полюсом аналитического продолжения функции $\overline{\phi}(\alpha)$, при $\mathrm{Im}\,\alpha>0$. Отсюда можно заключить, что $\beta=\mathrm{Im}\,\alpha_1$, так как $\overline{\phi}(\alpha)=2\overline{\tau}_1(\alpha)=2\overline{\tau}_2(\alpha)$ при p=q, а показатель β не зависит от нагрузки. Итак, при $x\to0$, $y\to0$ имеем

$$\tau^{(1)}(x) \sim A_2 x^{\omega}, \ \tau^{(2)}(y) \sim B_2 y^{\omega}, \ \text{Im} \, \alpha_1 = \omega.$$

Теперь перейдем спачала к решению уравнения (15). Полагая правую часть уравнения (15) известной, разрешим функциональные уравнения +1 относительно $\phi(\alpha)$. Для этого $\phi(\alpha)$ ищем в виде |2|

$$\varphi(\alpha) = \frac{\Gamma(i\alpha)}{\cosh(\pi\alpha/2)} \, \overline{T}_i(\alpha) \qquad (-1 < \text{Im}\,\alpha < 0) \tag{17}$$

где $\bar{T}_i(-i)=0$, $\Gamma(z)$ — известная гамма-функция

Подставив $\phi(\alpha)$ в уравнение (15), для $T_1(\alpha)$ получим функциональное уравнение

$$\bar{B}_{1}(\alpha)T_{1}(\alpha) - \lambda_{n}T_{n}(\alpha - i) = \frac{\sin \frac{\pi \alpha}{2}}{\Gamma(1 + i\alpha)}\tilde{f}_{1}(\alpha) \quad (-1 < \text{Im } \alpha < 0)$$
 (18)

при условии

$$\overline{T}_1(-i) = 0$$

Здесь

$$\overline{B}_{i}(\alpha) = \frac{\operatorname{ch}(\pi\alpha/2) + i(\alpha + i)A_{1}}{\operatorname{ch}(\pi\alpha/2)}, \quad \overline{f}_{i}(\alpha) = (\lambda_{2} - \lambda_{3})(\varphi_{i}(\alpha - i) + d_{1})$$

Теперь функциональное уравнение (18) решим методом, изложенным в [1]. Поэтому, необходимо $B_{\rm i}(\alpha)$ представить в виде [1].

$$B_1(\alpha) = \frac{Y_1(\alpha)}{Y_1(\alpha - i)}, \qquad (-1 < \text{Im}\,\alpha < 0)$$
 (19)

LAG

$$Y_1(\alpha) = \exp \left[\int \left(\operatorname{cth} \pi(\alpha - s) + \operatorname{cth} \pi s \right) \ln B_1(s) ds \right]$$

$$Y_1(-i) = 1 \qquad (-1 < \operatorname{Im} \alpha < t < 0)$$

Причем, при $|\alpha| \to \infty$ (-1 < lm α < 0) $Y_i(\alpha)$ принимает консчвое значение.

Заметим что согласно формуле Стирлинга

 $\Gamma(\alpha) \sim e^{-\alpha} \alpha^{-\frac{1}{2}} \sqrt{2\pi} \Big[1 + (12\alpha) + ... \Big]$ при $\alpha \to \infty$, $\arg \alpha | < \pi$, можно получить оценку

$$\frac{|\operatorname{sh}(\pi\alpha/2)|}{\Gamma(1+i\alpha)} = \frac{e^{\pi\sigma}}{2\sqrt{2\pi|\sigma|^{1/2-t}}} \quad \text{при} \quad \sigma' \to \infty, \ t = 1 \text{m r.}$$

Это говорит о том, что к (18) нет смысла применять обратное вреобразование Фурье Поэтому разделив обе части равенства на shutt и использовав (19), будем иметь

$$\frac{Y_1(\alpha)T_1(\alpha)}{\sinh \alpha} + \frac{Y_1(\alpha - i)T_1(\alpha - i)}{\sinh \alpha(\alpha - i)} = \frac{f_1(\alpha)Y_1(\alpha - i)}{2\Gamma(1 + i\alpha)\cosh(\pi\alpha/2)}$$

Применив к [20] обратное преобразование Фурье и потребовав, чтобы

$$\frac{Y_1(\alpha)T_1(\alpha)}{\sinh\alpha} \to 0$$
 в полосе $-2 < \text{Im}\,\alpha < 0$, при $\sigma \to 4$ ж получим

$$\frac{Y_1(\alpha)T_2(\alpha)}{\sinh \alpha} = \frac{Y_1(\alpha - t)}{2\Gamma(1 + t\alpha)\cosh(\pi\alpha/2)} f_1(\alpha)$$

Примении к (21) преобразования Фурье, получим

$$\frac{Y_i(\alpha)\overline{F_i}(\alpha)}{\sinh \alpha} = \int_{-1}^{\infty} \frac{\ell(u)e^{\alpha u}}{1 - \lambda_{\alpha}e^{u}} Iu \qquad -1 < \text{Im } \alpha < 0 \qquad (22)$$

Где

$$\ell(u) = F \left[\frac{Y_1(\alpha - i)}{2\Gamma(1 + i\alpha)\operatorname{ch}(\pi\alpha/2)} f_1(\alpha) \right] = \frac{1}{2} \int t_1(u - w) f_1(w) dw$$

$$\ell(u) = \frac{1}{2\pi} \int \frac{Y_1(\alpha - i)}{\Gamma(1 + i\alpha)\operatorname{ch}(\pi\alpha/2)} e^{-t} d\alpha \quad (-1 < t < 0)$$
(23)

Определив из (22) $\overline{T}_i(\alpha)$ и подставив в (17), для $\overline{\phi}(\alpha)$ будем иметь

$$\varphi(\alpha) = \frac{i\Gamma(i\alpha) \operatorname{sh} \frac{\pi \alpha}{2}}{Y_{i}(\alpha)} \int_{-\alpha}^{\alpha} \frac{I(u)e^{-u}}{1 + \lambda_{2}e^{u}} du \qquad 1 < \operatorname{Im} \alpha < 0$$

Теперь применив к $\phi(\alpha)$ обратное преобразование Фурье и использовав теорему о свертке получим

$$\varphi(v) = 2 \int_{-1}^{\ell_2} \frac{(v-u)\ell(u)}{1+\lambda_2 e} du$$

где

$$\ell_{\pm}(\mathbf{v} - \mathbf{u}) = \frac{1}{2\pi} \int_{-\infty}^{v-\kappa} \frac{i\mathbf{1}(i\alpha) \operatorname{sh}(\pi\alpha \cdot 2)}{Y_{i}(\alpha)} e^{-\kappa i(\mathbf{v} - \mathbf{u})} d\alpha \qquad (-1 < t < 0)$$

Если генерь иметь в виду (23)

$$\ell(u): \frac{\lambda_{+}-\lambda_{+}}{2}\int \ell_{+}(u-w)\psi_{-}(w)v^{+}dw + (\lambda_{+}-\lambda_{+})d_{+}\ell_{+}(u)$$

подучим

$$\varphi(v) = (\lambda_{+} - \lambda_{+}) \int_{0}^{0} e^{w} \varphi(w) dw \int_{0}^{\infty} \frac{\ell_{+}(v - u)\ell_{+}(u - w)}{1 + \lambda_{+}e^{w}} du + (\lambda_{+} - \lambda_{+})d_{+} \int_{0}^{\infty} \frac{\ell_{+}(v - u)\ell_{+}(u)}{1 + \lambda_{+}e^{w}} du$$

Таким образом, получили равенства

$$\varphi(\mathbf{v}) = (\lambda \cdot -\lambda_1) \int_{-\infty}^{0} K_1(\mathbf{v}, \mathbf{u}) e^{\mathbf{v}} \varphi(\mathbf{u}) d\mathbf{u} + (\lambda_2 - \lambda_1) d_1 \varphi_0(\mathbf{v}) \quad (-\infty < \mathbf{v} < \infty)$$

PAC

$$\phi_{0}(v) = \int_{-\infty}^{\infty} \frac{\ell_{2}(v - u)\ell_{1}(u)}{1 + \lambda_{2}e^{u}} du$$

$$K_{*}(v, w) = \int_{-\infty}^{\infty} \frac{\ell_{2}(v - u)\ell_{1}(u - w)}{1 + \lambda_{2}e^{u}} du$$

Переходя к переменным $x = e^x$, $s = e^w$, $y = e^{-u}$, получим

$$\varphi(ax) = (\bar{\lambda}_2 - \bar{\lambda}_1) \int_0^1 K_1(x, s) \varphi(as) ds - (\bar{\lambda}_2 - \bar{\lambda}_1) d_1 K_1(x, 1) \quad 0 < x < \infty$$
 (24)

LAG

$$K_1(x,s) = \int_0^{\ell_2(\ln xy)\ell_1(-\ln ys)} dy$$
 (25)

Генерь, потребовав в {24}, чтобы 0 < x < 1, для определения искомого $\varphi(\alpha x)$ голучим Фредгольмовское интегральное уравнение второго рода

$$\varphi(ax) = (\lambda_2 - \lambda_1) \int_{0}^{1} K_1(x, s) \varphi(as) ds + (\lambda_1 - \lambda_1) d. K_1(x, 1)$$
 (26)

Отметим, что неизвестные постоянные X, Y определяются из (14)

После определения $\tau(ax)$ при 0 < x < 1 ее эпачения при x > 1 определяются из (24). Отметим гакже, что $K_*(x,1)$ является решением задачи для бесконечного крестообразного включения, когда в точках $x = \pm a$, $y = \pm a$ приложена сила с единичной интенсивностью [2]

Исследуем свойства ядра $K_1(x,s)$. Для этого запишем его в виде

$$K_1(x, s) = \int_0^{\ell_1(\ln xy)\ell_1(-\ln sy)} dy - \lambda_2 \int_0^{\ell_2(\ln xy)\ell_1(-\ln sy)} dy$$

далее, в силу георомы о свертке, получим

$$\int_{0}^{\ell} \frac{f(\ln xy)\ell_{1}(-\ln sy)}{y} dy = \frac{1}{2\pi} \int_{0}^{s} \frac{\operatorname{th}(\pi\sigma/2)}{\sigma} \left(\frac{x}{s}\right)^{-i\sigma} d\sigma + R_{1}(x,s)$$

rae

$$R(x,s) = \frac{A_s}{2\pi i} \int_{-\infty}^{\infty} \left(\frac{\sigma+i}{\sigma}\right) \frac{\sinh(\pi\sigma/2)}{\cosh(\pi\sigma/2) + i(\sigma+i)A_s} \left(\frac{x}{s}\right) d\sigma$$

Отсюда следует, что

$$\int \frac{\ell_1(\ln xy)\ell_1(-\ln sy)}{y} \, dy = \frac{1}{\pi} \ln \frac{x-s}{x-s} + R_1(x,s)$$

где $R_{c}(x,s)$, в силу абсолютной интегрируемости подынтегрального выражения при $(x/s)^{-10}$, равияется нулю при x=0 и s=0, а при x=s принимает конечное значение. Теперь, если учесть, что

$$\frac{1}{\pi} \ln \left| \frac{x+s}{x-s} \right| = \frac{2}{\pi} \int_{0}^{\infty} \frac{\sin(xy)\sin(sy)}{y} \, dy$$

то $K_{\cdot}(x,s)$ можно записать в виде

$$K_1(x,s) = \frac{1}{\pi} \ln \frac{x+s}{x-s} \left| -\frac{2\lambda_2}{\pi} \int_0^s \frac{\sin(xy)\sin(sy)}{y(\lambda_2 + y)} dy + \int_0^{\infty} \frac{A(x,s,y)}{\lambda_2 + y} dy \right|$$
 (27)

941

$$A(x,s,y) = \ell_{1}(xy)\ell_{1}(sy) - \sin(xy)\sin(xy)$$

$$\int_{0}^{\infty} \frac{A(x,s,y)}{y} dy = R_{1}(x,s)$$

Из представления (27) следует, что $K_1(x,s)$ при x=s имеет логарифмическую особенность, а в остальном—пепрерывная функция Отсюда следует, что $K_1(x,s)$ при x=1 имеет логарифмическую особенность, а из (26) следует, что искомые $\tau^{(1)}(x)$ и $\tau^{(1)}(y)$ при x=a и y=a имеют логарифмическую особенность. Из вышеуказанного следует читогральное уравнение (26) можно решать методом последовательных приближений и $L_1(0.1)$ при

$$|\lambda_1 - \lambda_1| \max_{s} \int_0^1 K_1(x,s) |dx < 1|$$

В случае одного конечного включения $(Y_1(\alpha) \equiv 1)$

$$K_{\bullet}(x,s) = \frac{2}{\pi} \int_{0}^{s} \frac{\sin(xy)\sin(sx)}{x-y} dy$$

поскольку в силу того, что [3]

$$\frac{1}{2\pi} \int_{0-\infty}^{\pi} \frac{1}{\Gamma(1+i\alpha) \cosh(\pi\alpha/2)} (sy)^{-\alpha} d\alpha = \frac{1}{\pi} \sin(sy), \qquad -1 < t < 0$$

$$\frac{1}{2\pi} \int_{0-\infty}^{\pi} i\Gamma(i\alpha) \sinh(\pi\alpha/2) (xy)^{-i\alpha} d\alpha = \sin(xy), \qquad -1 < t < 0$$

$$A(x,s,y) = 0$$

Аналогичным образом получается решение функционального уравшения [16].

Следует отметить, что $\tau^{(1)}(x)\equiv 0$, $\tau^{(2)}(y)\equiv 0$ при $\lambda_1=\lambda_2$, которое

соответствует решению задачи без включения.

ЛИТЕРАТУРА

- 1 Григорян Э.Х. Решение задачи упругого конечного включения, пходящего на границу полуплоскости. // Уч. записки ЕГУ, Ест. н. 1981 №3.
- 2 Григорян Э.Х., Торосян Д.Р. Задача для упругой бесконечной пластины, усиленной крестообразным бесконечным стрингером. // Изв ПАН РА. Механика 1994 Т 47 №1-2. С. 3-13.
- 3 Прудников А.П., Брычков Ю А. Маричев О.И. Интегралы и ряды. М.:. Паука, 1984, 799с.

Ереванский госуниверситет Поступнав в редакцию 22.05.2001

Մեխանիկա

55, No1, 2002

Механика

УДК 539.3

О ВЛИЯНИИ ГРАНИЧНЫХ УСЛОВИЙ НА МАЛОПАГІРЯ-ЖЕННОСТЬ АНТИПЛОСКОЙ ЗАДАЧИ КУСОЧНО-ОДНО-РОДНОГО ПРЯМОЛИНЕЙНО-АНИЗОТРОПНОГО КЛИНА Саргсян А.М.

Ա.Մ. Սարգսյան

Կասը առ կառը համասեր ուղղագծային անիզոտրոսլ սեպի հակահարթ խնդրում թերլարվածության վրա եզրային պայմանների ազդեցության մասին

Աշխատանչում ուսումնասիրված է առաձգական յարումների վարդը երկայնական տերի սլայմաններում գտնվող բաղադրյալ ուղղագծային-անիգոտրապ սեպի միացման մակերևույթի եզրի շրջակայքում տարբեր եզրային պայմանների դեպքում։

Ֆույց է տրված, որ միացված մարմինների անիզոտրոսլ հատկությունները էսուլես ազդում են թերլար-

վածային ե կոնցեստացիոն աիրույթների մրա

A.M. Sargsyan

On Influence of Boundary Conditions of Small-stress of Antiplane Problem for Piece-wise-homogeneous Linear-anizotrupic Wedge

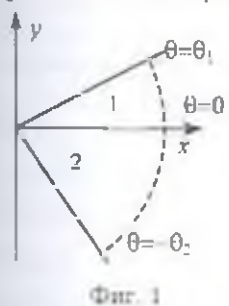
В работе исследовано поведение упругих папряжений в орестности края поверхности контакта составного прямодицемно-апизотронного клина, находящегося в составнии продольного еденга при различных граничных условиях.

Установлено, что апизотропные своиства соединенных тел существенно влияют на

размеры областей малонапряженности и концентрации.

Распределение установившихся плоских физических полей (механических, тепловых, диффузионных, фильтрационных, электрических, магнитных и т.д.) и поведение их характеристик (упругие напряжения, поток тепла и вещества, плотность расхода жидкости напряженность электрических и магнитных полей и т.д.) в кусочно-однородном изотронном клине рассмотрены в работах [1-3].

В работе [4] эти вопросы изучены для кусочно-однородного цилиндрически-анизотропного клина.



В настоящей работе на примере антиплоской задачи теории упругости исследуется характер распределения установившихся плоских физических полей в окрестности края поверхности контакта кусочно-однородного прямолинейно-анизстропного клина (фиг.1). Неоднородный апизотропный клип в каждой точке имеет плоскость материальной симметрии совпадающую с плоскостью *оху*. Ось 2 перпендикулярна к этой плоскости. На боковых гранях составного клина задаются либо касательные папря-

жения, либо упругие перемещения, либо на одной грани ($\theta=-\theta_+$) приложено касательное напряжение, а на другой грани ($\theta=\theta_+$) задано перемещение.

Антиплоская задача для прямолинейно-анизотропного тела впервые была поставлена в работе [5], где из условий $u_z = u_z = 0$ и сущест-



вования плоскости упругой симметрии получено определяющее уравнение для перемещения $u_-(x,y)$. В дальнейшем, используя результаты работы [5], получены решения ряд задач для анизотропных клиньев [9,10]. Здесь же нводится функция напряжений $\Psi(x,y)$ призводные которой по x и y определяют упругие напряжения τ_- и τ_- . При этом уравнение равновесия удовлетноряется тождественно, а из условия совместности деформации получается уравнение для определения $\Psi(x,y)$.

При отсутствии объемных сил функция напряжений $\Psi(x,y)$ в соответствующих областях удовлетворяет уравнению

$$a_{14}^{t+1} \frac{\partial^2 \Psi}{\partial x^2} - 2a_{12} \frac{\partial^2 \Psi}{\partial x^2} + a_{32} \frac{\partial^2 \Psi}{\partial y^2} = 0$$
 (1)

$$j = 1, \ 0 < \theta < \theta_1; \ j = 2, \ -\theta_2 < 0 < 0; \ \theta_1 + \theta_2 \le 2\pi, \ \theta_2 \le 2\pi$$

условиям сопряжения на поверхности разрыва свойств материалов (y=0)

$$\tau_{\rm pr}^{(1)} = \tau_{\rm pr}^{(2)}, \ u^{(2)} = u_{\star}^{(2)}$$
(2)

и граничным условиям заданным в одном из видов

$$(\tau^{(1)}\cos\theta_1 - \tau^{(2)}_{12}\sin\theta_2)_{x=r\cos\theta_1} = (\tau^{(2)}_{12}\cos\theta_1 + \tau^{(2)}\sin\theta_2)^{I}_{12r\cos\theta_2} = 0$$
 (3)

$$\left| \int_{x=r\cdot\cos\theta_{1}} e^{-x} dx \right|_{x=r\cdot\cos\theta_{1}} = 0$$

$$\int_{x=r\cdot\sin\theta_{1}} e^{-x} \sin\theta_{2} = 0$$
(4)

$$|u^{(1)}|_{\frac{1}{1+r}\cos\theta_1} = (\tau^{(1)}\cos\theta_1 + \tau^{(1)}\sin\theta_2)|_{\frac{1}{1+r}\sin\theta_2} = 0$$
 (5)

где a_{44} , a_{48} , a_{55} — коэффициенты деформации.

То же уравнение (1) и аналогичные гранично-контактные условия с незначительным изменением обозначений имеют место и для других плоских физических полей [6-8]. Поэтому, методы решения поставленных выше задач и полученные основные выводы применимы и к этим полям.

Представим решение уравнений [1] в виде [11]

$$\Psi_{j}(x,y) = A_{j}(x + \mu_{j}y)^{\lambda} + B_{j}(x + \overline{\mu}_{j}y) + (j = 1,2)$$
 (6)

где A B — неизвестные постоянные A — произвольный параметр и и L — кории квадратного уравнения

$$\sigma = \frac{a^{(i)}}{a_{5}i}, \quad \tau = \frac{\sqrt{a^{(i)}a^{(i)} - a^{(i)}a^{(i)}}}{a}$$
(7)

Используя уравнения состояний и условие совместности деформаций [5] для перемещения $u^{(1)}(x,y)$ будем иметь

$$u^{(j)}(x, y) = A_{j}m_{j}(x - u_{j}y)^{2} + B_{j}\widetilde{m}_{j}(x - \overline{u}_{j}y)^{2} + C$$

$$m_{j} = a_{j}u_{j} - a_$$

Удовлетворяя гранично-контактным условиям (2) - (5), для определе-

иня A_i, B_j получим системы линейных алгебраических уравнений. Из условий существования петривиальных решений этих систем получим следующие уравнения относительно λ :

$$\Delta_3(\lambda) = (\chi + 1)\sin\lambda(\phi_1 + \phi_2) + (\chi - 1)\sin\lambda(\phi_1 - \phi_2) = 0$$
(9)

$$\Delta_4(\lambda) = (\chi + 1)\sin\lambda(\phi_1 + \phi_2) - (\chi - 1)\sin\lambda(\phi_2 - \phi_2) = 0$$
 (10)

$$\Delta_s(\lambda) = (\chi + 1)\cos\lambda(\varphi_1 + \varphi_2) + (\chi - 1)\cos\lambda(\varphi_1 - \varphi_2) = 0 \tag{11}$$

LYG

$$\chi = \frac{\chi_2}{\chi_1} \approx \sqrt{\frac{a_{44}^{(2)} a_{45}^{(2)} - a_{45}^{(2)} a_{45}^{(2)}}{a_{44}^{(1)} a_{45}^{(1)} - a_{45}^{(1)} a_{45}^{(1)}}}$$

$$\varphi_1 = \arg(\cos\theta_1 + \mu_1 \sin\theta_1), \varphi_2 = \arg(\cos\theta_1 - \mu_2 \sin\theta_1), \theta_1 < \varphi_2 < 2\pi$$

Сравнивая (9)-(11) с соответствующими уравнениями, относящимися к антиплоской задаче составного изотропного клина, замечаем, что решения поставленных задач свелись к решениям соответствующих задач аля составного изотропного клина [2]. При этом составляющим клин изотрошым материалам нужно приписать модули сдвига χ , χ , и приведенные углы ϕ_1 , ϕ_2 соответственно.

В работах [1.2] показано, что корни (9) — (11) действительны и просты Как следует из (6), напряжения $\tau_{-2}^{(i)} = -\partial \psi_{-1}(x,y)/\partial x$ и $\tau_{0}^{(i)} = \partial \psi_{-1}(x,y)/\partial y$ затухают вблизи угловой точки составного клина, если первый положительный корень уравнений (9)-(11) $\lambda_{+} > 1$. При $\lambda_{-} < 1$ эти напряжения неограниченно возрастают при приближении к угловой точке В предельном случае, когда $\lambda_{+} = 1$, при приближении к краю поверхности контакта, напряжения конечны и вообще отличны от вуля.

В уравнения (9)-(11), кроме утлов θ_1 и θ_2 , входят еще пять независимых между собой нараметров $\chi, \sigma_1, \sigma_2, \tau_1$ и τ_1 . Поэтому нечернывающее общее аналитическое исследование зависимости искомого корня λ_1 от параметров задачи здесь, но-видимому, невозможно.

Для выявления влияния анизотропии материалов на поведение упругих напряжений в окрестности угловой точки составного клина воспользуемся понятием предельной кривой, впервые введенным в [1]

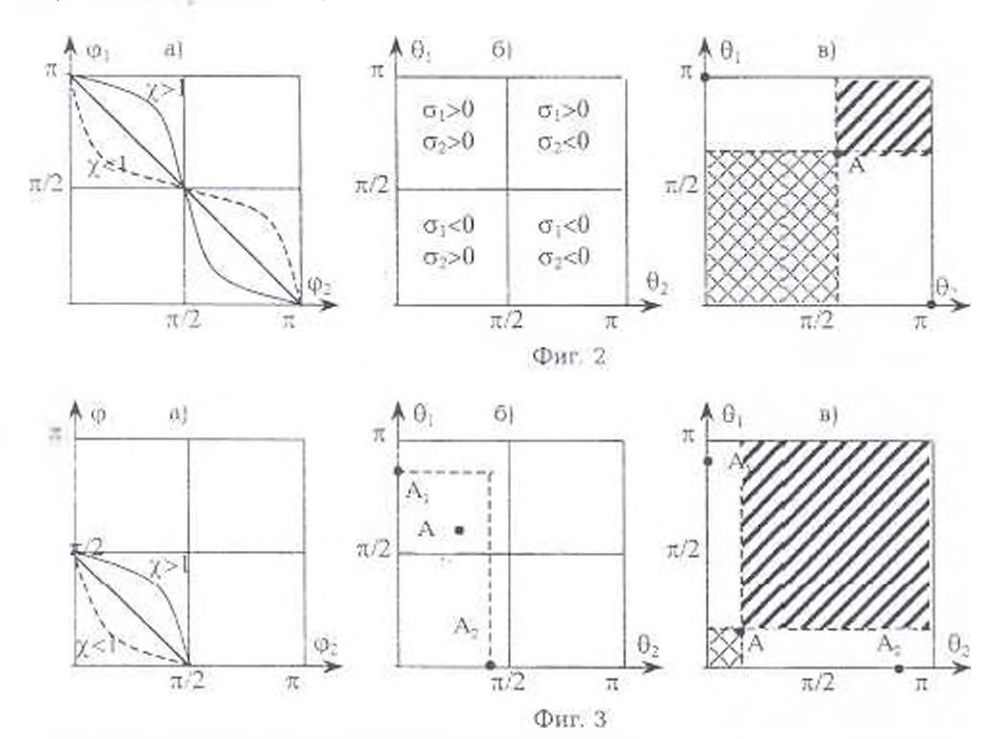
Хорошо известно [1,2], что на плоскости приведенных углов $\phi_1\phi_2$ вредельные кривые, описываемые уравнениями (9)—[10] при $\lambda=1$ и разделяющие области, где компоненты напряжений $\tau_{\rm m}$ и $\tau_{\rm m}$ стремятся к нулю (область малонапряженности) или бесконечности (область концентрации), проходят через три характерные точки [1,2]. Это—точки с координатами ($\phi_1=0,\ \phi_2=\pi$), ($\phi_1=\pi/2,\ \phi_2=\pi/2$), ($\phi_1=\pi,\ \phi_2=0$) (фиг 2a).

С помощью формул определения аргумента комплексных чисех

$$R_1 \cdot \cos \phi_1 = \cos \theta_1 - (-1)^2 \sigma_1 \sin \theta_2$$
 $R_2 \cdot \sin \phi_1 = \tau \sin \theta_2$ (12) легко показать, что этим трем точкам на плоскости реальных углов

растворов однородных клиньев $\theta_1\theta_2$ соответствуют точки с координатами $(\theta_-=0,\theta_+=\pi)$, $(\theta_+=\arctan(-\sigma_+)=\theta_+=\arctan(\sigma_+))=0$, вторая из них в зависимости от σ_+ и σ_+ может находиться внутри квадрата со стороной σ_+ в дюбом месте (фиг.26). В частном случае $\sigma_-=0$, эта точка занимает место в центре квадрата.

Известно также [1,2], что внутри области $0<\phi_1<\pi/2$, $0<\phi_2<\pi/2$ напряжения стремятся к нулю при приближении к угловой точке, а впутри области $\pi/2<\phi_1<\pi$, $\pi/2<\phi_2<\pi$ они неограниченно возрастают в окрестности этой точки. Соответствующие области в плоскости $\theta_1\theta_2$ заштрихованы двойной и простой итгриховкой (положение второй точки A на фиг.2в определено для случая $\sigma_1=0.5,\ \sigma_2=-0.25$).



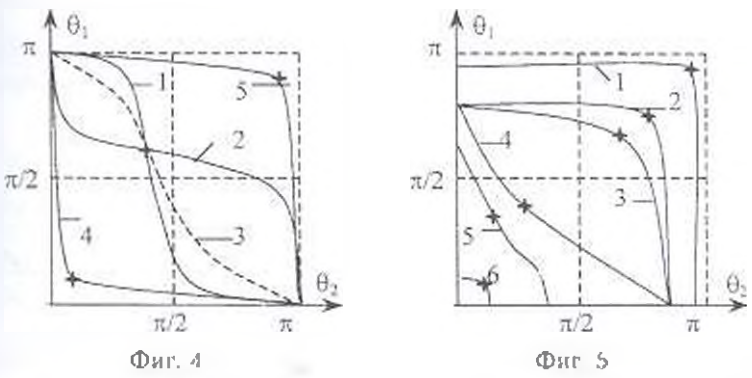
Следовательно, предельные кривые проходят через незаштрихованные фит.2в области, что и подтверждается численными расчетами уравнения (9), приведенные на фит.4.

Предельная кривая 1 соответствует случаю $\chi=7,~\sigma=0.5,~\tau=2.0$; кривая $2-\chi=\frac{1}{2},~\sigma_{\perp}=0.5,~\tau_{\perp}=2.0$; кривая $3-\chi=3,~\sigma=0.5,~\tau_{\perp}=2.0$; кривая $4-\chi=7,~\sigma_{\perp}=5.7(-1)^{2},~\tau_{\perp}=1.7$; кривая $5-\chi=7$ $\sigma=-5.7(-1)^{2},~\tau_{\perp}=1.7$. На этих кривых звездочками обозначены положения второй характерной точки.

На основании фиг. 4 заключаем, что напряжения \mathbf{t}_{ut} и \mathbf{t}_{ut} на краю поверхности контакта неоднородного анизотролного клина могут неограниченно возрастать при весьма малом значении суммы утлов $\theta_1 = \theta_+$ В случае же, когда θ_1 и θ_2 близки к π , вблизи этого края, являющегося вершиной весьма близкого к трещине выреза эти напряжения могут затухать

Аналогичный результат несколько иным путем был получен в работе [11] при изучении упругих напряжений, возникающих в составном прямолинейно-анизотропном стержне при кручении.

Уравнение (10) совпадает с уравнением (9) при замене χ по $1/\chi$, воэтому вышеприведенный анализ относится и к случаю граничных условий (3).



Из фиг 1 видно также что при граничных условиях (3) и [4] область малонапряженности увеличивается в два раза по сравнению с таковым для составного изотропного клина

В случае граничных условий (5), характерные точки, через которые проходят предельные кривые, описываемые уравнением (11) при $\lambda_1=1$ весколько иные.

В данном случае точки пересечения предельных кривых с координатными осями ϕ_1 и ϕ , (фиг.За) переходят на плоскость $\theta_1\theta_-$ в точки A, с координатами (arcctg($-\sigma_1$), 0), и (0, arcctg σ_2) соответственно, причем $0 < \operatorname{arcctg}(-1)$ $\sigma_2 < \pi$. В качестве третьей характерной точки берется точка пересечения предельной кривой (при заданном значении χ_1 с линией $\phi_1 = \phi_2$ [фиг.За). Далее, из (14) определяется положение этой точки на плоскости $\theta_1\theta_2$ в зависимости от σ_2 и τ_1 . При этом третья точка при заданных σ_2 и τ_3 должна находиться ниже минии $\theta_1 = \operatorname{arcctg}(-\sigma_1)$ и левее линии $\theta_4 = \operatorname{arcctg}(-\sigma_2)$ (фиг.Зб). Например, из [11] для $\chi_1 = 0.2$ находим, что $\phi_1 = \phi_2 = 2\pi/15$. И в случае $\sigma_3 = -5.671(-1)^3$, $\tau_4 = 1.685$ из [12] получим координаты всех трех характерных точек на плоскости $\theta_1\theta_2$ (фиг.Зв): $A_1(0.17\pi/18)$, $A_2(1.7\pi/18,0)$, $A_3(1.7\pi/18,1)$, $A_4(1.7\pi/18,0)$, $A_4(1.6\pi/18,1,6\pi/18)$.

На фиг.5 представлены результаты численных расчетов. Предельная кривая 1 построена для случая $\chi=14,~\sigma_{\perp}=-5.671(-1)^{+},~\tau_{\perp}=1.685$

кривая $2-\chi=4,\sigma_{+}=\sqrt{3}(-1)^{-1}$, $\tau_{+}=1,$ $\tau_{+}=1.5$; кривая $3-\chi=1,$ $\sigma_{-}=\sqrt{3}(-1)^{-1}$, $\tau_{-}=1,$ $\tau_{-}=1.5$; кривая $4-\chi=0.25,$ $\tau_{-}=1,$ $\tau_{-}=1.5$, $\sigma_{-}=\sqrt{3}(-1)^{-1}$; кривая $5-\chi=1,$ $\sigma_{-}=0.5,$ $\sigma_{-}=1$ кривая $6-\chi=14,$ $\sigma_{-}=1.685$ $\sigma_{+}=5.671(-1)^{-1}$. В отличие от составного изотропного клина, лля которого область малонапряженности в предельном случае $\chi\to\infty$ становится квадратом со стороной $\pi/2$, в случае граничных условий (5) в зависимости от $\sigma_{-}=1$ эта область может увеличиваться в 4 раза.

Таким образом анизотропия сосдиненных тел существенно влияет на размеры области малонапряженности или концентрации и дает возможность регулирования поведения упругих напряжений в окрестности края поверхности контакта составного анизотропного тела в нужном направлении.

АИТЕРАТУРА

- Чобанян К.С. Напряжения в составных упругих телах. Ереван.: Изд-во АН АрмССР, 1987, 338с.
- 2 Сартсян А.М., Хачикян А.С. Поведение некоторых физических полей в окрестности края поверхности контакта кусочно-однородного тела. // Докл. АН АрмССР, 1988 Т.86, №4, С.161-166.
- 3 Sinclair G.B. On the singular Eigenfunction for plane Harmonic Problems in Composite Regions. 4 J. of Appl. Mech. 1980, vol.47, Not. P.87-92.
- 4 Сартсян А.М. Поведение плоских стационарных физических полей в окрестности края поверхности контакта кусочно-однородного цилиндрячески-анизотролного клипа//В со. Механика деформируемого тела. Ереван: Изд. АП Армении. 1993. С.157-162.
- 5 Саркисян В.С., Айрапетян В.Ж. Новые классы задал теории упругости анизотропного тела. Ереван Изд. Ереванского ун-та. 1997. С.241
- 6. Вековищева И.А. Плоская задача теории электроупругости для пьезоэлектрической пластинки. ПМ, 1975. Т.ХІ, вып.2. С.85-89.
- 7. Прусов И.А. Двумерные краевые задачи фильтрации. Минск: Изд. "Университетское". 1987. 182с.
- 8. Карслоу Г., Егер Д. Теплопроводность твордых тел. М.: Наука. 1964. 488c.
- 9. Айрапетян В.Ж., Кутузян Н.А., Овсенян Д.А. Антинлоские задачи для анизотронных неоднородных клиньев.//Уч. записки ЕГУ 1999. №2. С.30-37
- 10. Саркисян В.С., Мелкумян С.А., Мелкумян А.С. О некоторых задачах теории упругости анизотровного тела. Донецк: Актуальные проблемы механики деформируемого твердого тела. 2001.
- 11. Алексанян Р.К., Чобанян К.С. Характер напряжений вблизи края поверхности контакта скручиваемого анизотропного составного стержня // П.М. 1977. Т.ХШ. №6. С.90-96.

Институт механики ПАН Арменин Поступила в редакцию 25.07.2001

Uh)wmühlpur

55, Nel. 2002

Механика

YAK 539.1

 X_1

Ao

Фиг. 3

РЕШЕПИЕ НЕЛИНЕЙНОЙ ДИФРАКЦИОННОЙ ЗАДАЧИ ДЛЯ НЕОДНОРОДНОЙ УПРУГОЙ СРЕДЫ Сафарян Ю. С.

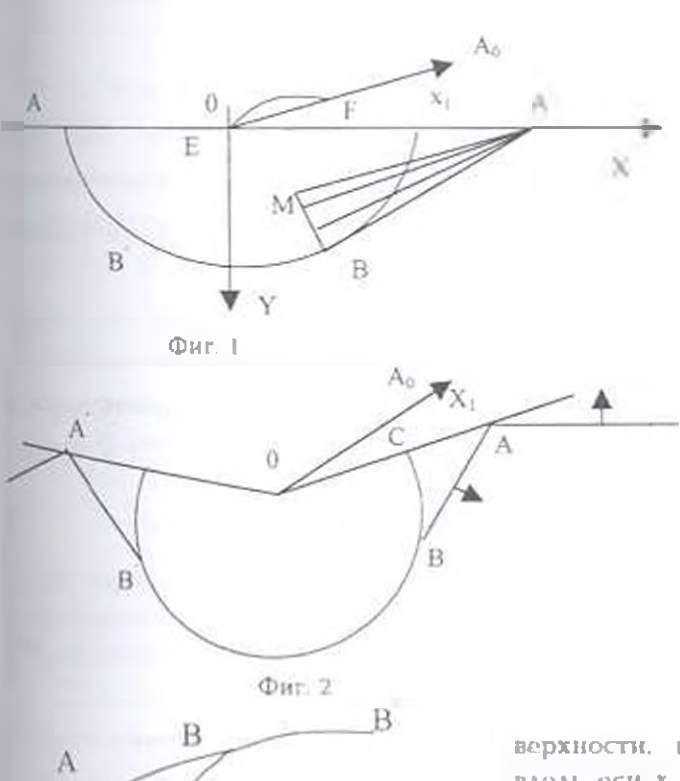
Om U Սաֆարյան

<mark>Անհամասես առածգական միջավայրի համար ու գծային դիֆյակցիոն խնդրի</mark> լումումը

<mark>Դիտարկվում է էկրան</mark>ի վրա կամայական ալիքի դիֆրակսիայի օլ գծային ենդիրը, կամ անհատահո միլավայում սնաի ծայրից անգրադարձվող առաձցական այիքի համասլատասխան իբնդիրը։ Ստւալվել է 🌬 ածայրն ավիրների վրա լուծումների գրաֆիկները "Ռտարկվել ես սեղոման է լիզքագրարհան unfedben.

> Ju. S. Safaryan Solution of non-linear diffraction problem for inhomogeneous classic media.

Выселотрена пелиненная задача двержиции произвольной волим на экране или Тожноствующая задача отражения упругой ноаны от вершины наша и неоднородной с реас-Получень графики решения на ударных вызнах. Рассмотрены визиы сжатыя и разрежения



Рассматривается -ығ хынриньсп дес нестапионарлач теории упруной ддя неодно-COCTH лодной и однород ной среды, привод-STILLS к волновой картине фиг. 1. для которых CACAVOT -линейопределить ное и нелинейцые решения в окрестности точки В касаволны AB c точечной или лифракционной волион BB^c Эти HP p&bk возникают 1111111 проникании в глубъ полуплоскости 150 diposita. давления. заданного на се по-

верхности, причем его скорость вдоль оси и превосходит скорость продольных волн[1], в задаче отражения волны от клина для которой картина воли дается фиг. 2, при прохождении фронта упругои продольной водны акало

тверлого экрана. Во всех рассмотренных задачах требуется найти линейное и нелипейное решения вблизи В. Эта нелинейная постановка в соотнетствующей задаче сверхзвукового конического течения около крыла для однородной среды решалась в [2,3], однако полученные там результаты не имели физического смысла, ибо приводили к нозрастанию скачком давления на ударной волне АВ при переходе к волне ВВ. Соответствующее нелинейное решение для однородной среды и плоской волны АВ в задаче газовой динамики найдено в [4,5] сращиванием с линейным решением В [6] сделаны ссыдки на [5] и было дано дальнейшее усовершенствование метода с определением постоянной из условия соединения с одномерным нелинейным решением на BB' . В дано для произвольной неодпородной среды, описываемой системой квазидинейных уравнений, гиперболической к которой относится и нелинейная неоднородная упругая среда, определение минейного и нелицейного решения в окрестности точки В касания воли Как показывают исследования граничных задач [1], при определении решения в окрестности гочки В можно заменять граничную задачу на задачу о начальных условиях, заданных на начальной волне ОА, фиг. 1-3. представляющей формальное продолжение волны AB к моменту t=0. При этом, согласно теории Кирхгоффа [8, 9], следует интегрировать в линейном решенни по освещенной части начальной волны, т. е. волне ОА, где х, >0. Пусть динеаризированная система уравнений среды есть [10]

$$a_{ij}^{\{k\}} \frac{\partial u_j}{\partial x_i} + T_{ij}' u_j = 0 \tag{1}$$

где по повторяющимся индексам проводится суммирование, $a^{\pm 1}$ есть функции x_k . Тогда, в окрестности волны можно считать [1] $u_i = s_i u_i$ где $s_i = s_i u_i$ сесть собственный вектор матрицы $a_{ij}^{(k)}$, и задавать начальное условие в виде

$$t = 0 \cdot u = \alpha^{\alpha}(\zeta)^{\lambda}(x_1)^{\alpha} \frac{1}{\Gamma(\lambda + 1)}$$
(2)

где λ_{*} (1. a — постоянные, x_{i} координаты вдоль OA_{i} время пробега

от точки интегрирования до OA_n , $x^n = \begin{cases} x^n, & x > 0 \\ 0, & x < 0 \end{cases}$

При этом, решение в окрестности В системы (1) будет [1]

$$u = -\frac{1}{2\pi\sqrt{2}} \iint \Phi(\varphi)_{s}^{-\frac{1}{2}} \frac{a^{\circ}(\zeta)_{s}^{-\frac{1}{2}}(x_{i})_{s}^{-\frac{1}{2}}dx_{i}d\zeta$$
(3)

c - есть пормальная скорость волны в 0, Φ - лучевос решение, которое находится из закона сохранения энергии волны [1]

$$\Phi = \sqrt{\frac{\rho_0}{\rho c_s \sigma}} \tag{4}$$

 σ – площадь волны внутри лучевой трубки. ρ_{σ} – начальная плотность среды в θ . Тогда, (3) дает

$$u = -\frac{1}{2\pi\sqrt{2}} \iint \Phi(t)a^{\circ}(\phi) \stackrel{-}{\longrightarrow} (\xi)^{\circ}(x_1)^{\circ} \Gamma^{-1}(\lambda + 1)dx_1 d\xi$$
 (5)

Значение лучевого решения можно орать в точке B. Вычисляя внтегралы в (5), можно найти линейное решение для произвольной среды [1] в форме двух гипергеометрических функций, дающих решение позади CBB' и впереди нее. В практически важном случае скачкообразной волны AB имеет место $\lambda=0, \mu=0$ и (5) дает после вычисления внтегралов

$$u = \frac{\Phi(t)a^{0}}{\pi\sqrt{k_{1} - k_{2}}} \arctan \frac{\sqrt{2c_{0}}\sqrt{k_{1} - k_{2}}\sqrt{-\tau}}{0 - 0}, \quad \tau < 0$$
 (6)

$$u = \frac{\Phi(t)a'}{\sqrt{k_1 - k_2}}, \quad \tau > 0$$
 (7)

При получении (6). (7) из (5) выбрана формула для эйкопала ϕ обобщающая результат [11] на двумерную окрестность точки B , причем

$$\varphi = t - t_{\Phi} - \frac{k_1 - k_2}{2c_s} (x_1 - s)^2 - \zeta$$
(8)

 $t=t_0$ есть уравнение волны AB, x_1 — координата точки интегрирования, s есть значение x_1 в рассматриваемой гочке. θ , τ есть лучевые координаты, τ = const. дает фронты точечных волн. θ — const. — лучи. k, есть кривизна обращенной точечной волны EF фиг. 1, k_2 — кривизна OA_1 , $s=(\theta_0-\theta)/(k_1-k_2)$ [1, 11].

Из (8) обозначая $\delta=t-t_o$, $-\tau=t-t_e$ (где $\tau=0$ дает волну BB), учитывая, что когда точка (x,y) принадлежит точечной волне $t=t_o$ обращенная точечная волна или квазиокружность EF проходит через точку 0, можно получить полагая в (8) $\phi=0$, $x_1=0$, $\zeta=0$

$$I_0 - I_0 = \frac{k_1 - k_2}{2c_0} s^2 . \qquad -\tau = \delta - \frac{1}{2c_0} \frac{(0_0 - \theta)^2}{k_1 - k_2}$$
 (9)

для определения нелинейного решения сначала получим эволюционное уравнение для u в окрестности точки B.

Уравнение волны AB в линейной задаче согласно (9) имест вид. $\delta = 0$.

$$\tau = \frac{(0 - 0_0)^2}{2c_0(k_1 - k_2)} \tag{10}$$

Отсюда видно, что дифференциальные уравнения характеристик **линей**пой задачи вблизи точки В имеют вид

$$\Gamma_1 = \frac{c_0}{2} \frac{d(k_1 - k_2)}{dt}$$
, $\frac{\partial \tau}{\partial t} = -\Gamma_1 \left(\frac{\partial \tau}{\partial \theta} \right)^2$ (11)

Но дифференциальное уравнение характеристики имеет вид [1]

$$-\frac{\partial F}{\partial t} = \left(C_n + V_n\right) |\operatorname{grad} F| \tag{12}$$

где C_n — нормальная скорость нединейной характеристики относительно частиц среды. $V_n=u$ — нормальная к водне скорость частицы.

Как будет показано инже, для упругой, впрочем, как и для произвольной среды, в первом порядке относительно возмущений имеет мести

$$C_a + u = c_a + \Gamma u \tag{13}$$

где c_n — линейная скорость волны, коэффициент Γ будет определен. Из (12), записанного в лучевых координатах, следует, что уравнение одномерной нелинейной характеристики будет $\frac{\partial \tau}{\partial t} = \Gamma \frac{u}{c_n}$, и после сравнения с

(11) можно убедиться, что уравнение двухмерных нелинейных характеристик вблизи B имеет вид

$$\frac{\partial \tau}{\partial t} + \Gamma_1 \left(\frac{\partial \tau}{\partial \theta}\right)^2 = \frac{\Gamma}{C} u \tag{14}$$

при этом дифференциальное уравнение, имеющее (14) своим уравнением характеристик, запишется в виде

$$\frac{\partial^2 \Psi}{\partial t \partial \tau} - \Gamma_1 \frac{\partial^2 \Psi}{\partial \theta} + \frac{\Gamma}{c_s} u \frac{\partial^2 \Psi}{\partial \tau} - u \frac{d \ln \Phi}{dt} = 0$$
 (15)

Здесь в силу произвола выбора ψ можно полагать $\mu = \frac{\delta \psi}{c\tau}$ и добавлено

слагаемое $-u \frac{d \ln \Phi}{dt}$ [12]. не влияющее на уравнение характеристик. дающее одномерное по τ линейное или лучевое решение. Вводя функцию $V_{\theta} = \frac{\partial U}{\partial t}$, можно из (15) найти

$$\frac{\partial u}{\partial t} - \Gamma_1 \frac{\partial V_2}{\partial \theta} + \Gamma_2 \frac{\partial u}{\partial \tau} - u \frac{\partial u}{\partial \tau} - u \frac{\partial \ln \Phi}{\partial t} = 0, \quad \frac{\partial u}{\partial \theta} = \frac{\partial V_2}{\partial \tau}$$
 (16)

 V_0 пропорционально касательной к волне [1] скорости частиц среды.

Можно г помощью (6) найти из (16) V_{θ} в линейной задаче, затем выразить его как функцию от переменных μ . П. θ где введены обозначения

$$u\sqrt{k_1-k_2} = a'\Phi\mu$$
, $V_1\sqrt{k_1-k_2} = a''\Phi\nu$ (17)

Тогда получится

$$v = \frac{\theta - \theta_0}{\pi (k_1 - k_2) c_0} \operatorname{tg} \mu \pi - \frac{\theta - \theta_0}{k_1 - k_2} \frac{\mu}{c_0}$$
(18)

Далее считается, что (18) имеет место и в нелинейной задаче. Тогда из первого уравнения (16) получится

$$\tau = -\frac{(0-0)^{3}}{2(k_{1}-k_{2})C_{0}} \operatorname{tg}^{2} \mu \pi + \int_{0}^{t} \frac{\Gamma}{c_{n}} \frac{a^{n} \Phi \mu}{\sqrt{k_{1}-k_{2}}} dt + C_{1}(C)$$

$$C = \frac{\sin \mu \pi}{\sqrt{k_{1}-k_{2}}}$$
[19]

Где C. – произвольная функция Решение (19), (18) есть готное решение уравнений (16), удовлетворяющее условию на ударной волие BB' в точке B для случая $\Gamma a^+>0$), т.е. на ударной волие сжатия для жидкой среды, где $\Gamma>0$, или ударной волие разрежения в упругой среде, где $\Gamma<0$, что показано далее.

В случае задачи, в которой волна ABB' есть волна сжатия в упругой среде, т. е. $a^0>0$, 1'<0, имеет место центрированная волна сжатия ABM фиг. 1 с непрерывным переходом к невозмущенному состоянию впереди ABB' и с условием в точке В

$$\theta = \theta_0$$
, $\tau = 0$, $\mu = 0$, $\nu = 0$ (20)

На нижней характеристике AM имеет место $\mu=1$ Впореди дифрагированией волны BC имеется ударная волна BM (фиг. 1) [1,3]. Позади нее решение можно взять в виде (19), где согласно [6] из сращивания с одномерным решением на воляе BB' получится $C_1=0$. Решение впереди BM дается центрированной волной сжатия с центром н A, которое можно искать, решая систему (16), причем можно считать для решения $\mu=\mu_1$, $\nu=\nu_1$ впереди BM

$$\mu_i = B(t) \left\{ \tau - \frac{(\theta - \theta_0)^2}{2(k_1 - k_2)k_0} \right\}$$
(21)

При этом $\mu_1 = \text{const}$ вдоль нелинейных характеристик в водне ABM Подставляя μ_1 во второее уравнение (16), можно найти

$$v_{t} = -B(t) \frac{\theta - \theta_{0}}{(k_{t} - k_{2})c_{0}} \tau + f(\theta, t)$$
(22)

Подставляя (21), (22) в первое уравнение (16), которое можно записать выде

$$\frac{\bar{c}\mu_1}{\bar{c}t} - \frac{1}{2(k_1 - k_2)} \frac{d(k_1 - k_2)}{dt} \mu_1 - \frac{c_0}{2} \frac{d(k_1 - k_2)}{dt} \frac{\partial v_1}{\partial \theta} + \frac{\Gamma a^0 \Phi}{c_a \sqrt{k_1 - k_2}} \mu_1 \frac{\partial \mu_1}{\partial t} = 0$$
(23)

н вриравняв слагаемые с т и без него, можно получить

$$B(t) = \frac{1}{I(t)}. \quad I = \int_{0}^{t} \frac{\Gamma a^{0} \Phi}{c_{1} \sqrt{k_{1} - k_{2}}} dt$$

$$f(\theta, t) = \frac{(\theta - \theta_{0})^{3}}{2(k_{1} - k_{2})^{2} c_{0}^{2} I}$$
(21)

Таким образом, пелипойное решение впереди ВМ имееет вид:

$$\mu_1 = \frac{1}{I} \left[\tau - \frac{(\theta - \theta_0)^2}{2(k_1 - k_2)c_0} \right], \quad \nu_1 = \frac{(\theta - \theta_0)\tau}{(k_1 - k_2)c_0I} + \frac{(\theta - \theta_0)^3}{2(k_1 - k_2)^2c_0I}$$
 (25)

Следует решать уравнение ударной волны ВМ

$$\frac{\partial \tau}{\partial t} + \frac{c_0}{2} \frac{d(k_1 - k_2)}{dt} \left(\frac{\partial \tau}{\partial \theta} \right)^2 = \frac{\Gamma a^0 \Phi}{2c_n \sqrt{k_1 - k_2}} (\mu + \mu_1)$$
 (26)

взян за решения позади нее (19), где $C_1=0$, а впереди нее (25) с начальными условиями (20).

Аля упрощения задачи о численных расчетах перейдем в полученных решениях (19) и (25) к случаю однородной среды и плоской волны AB для которых можно полагать

$$\frac{\Phi}{c_0 \sqrt{k_0 - k_0}} = \gamma, c_n = c_0, \Gamma = \text{const.} \ \gamma = \frac{a^0}{c_0}, \ \tau = \Gamma t \gamma \delta', \ k_1 = \frac{1}{c_0 t}$$

$$k_2 = 0, \ \Phi = \frac{1}{\sqrt{c_0 t}} \quad \theta - \theta, \ = \sqrt{\Gamma} \sqrt{\gamma} y, \ u = \gamma \mu c_0, \ v = \sqrt{\Gamma \gamma t v'}$$
(27)

Здесь предположено $1a^2 > 0$ Тогда, учитывая, что в интегралах (19)

$$C = \frac{\sin u\pi}{\sqrt{k_1 - k_2}}, \ \mu = u, \ C = \text{const.} \ k. - k_2 = \frac{1}{c_0 t}$$

можно получить $t' = \frac{1}{c_0} \frac{C^2}{\sin^2 n^2}$

под знаком интеграла по I^{\prime} и после интегрирования получится

$$\delta = -\frac{1}{2} \log \mu \pi y + \mu + \frac{1}{2} \sin 2\mu \pi + B \sin^2 \mu \pi$$
 (28)

где согласно [6] B'=0

Уравнение (18) запишется в виде

$$\mathbf{v}' = \frac{y}{\pi} i \mathbf{g} \mu \mathbf{\pi} - \mu \mathbf{y} \tag{29}$$

Подставляем (28) в уравнение ударной водны ВВ'

$$\frac{d\delta'}{dy} = -\sqrt{2\delta' - \mu} \tag{30}$$

Начальное условие в точке В получается совместным решением уравнения ударной волны АВ, $\delta' = v^2/2 + 1/2$ и звуковой волны ВС $\delta' = \mu$ в виде

$$y = -1, \quad \mu = 1$$
 (31)

Результаты расчетов дают график $\mu = \mu(v)$ вдоль BB', что приведено на фиг. 4.

Условие на ударной волне равенства касательной к волне скорости частицы $\alpha=0$, $\alpha=\nu'-\mu\sqrt{2\delta'-\mu}$ удовлетворяется в точке В и на всей волне $BB'-\infty$ [6] не превосходит 6%. Вблизи точки В асимптотика решения (28), (29)

$$\mu - 1 = -(y+1)/2$$
, $x = -(y+1)/4$

Полученное решение верно для волны сжатия ABB' в жидкости где $\Gamma > 0, a' > 0$ и для ударной волны разрежения ABB' в упругой греде, где $\Gamma < 0, a'' < 0$.

В случае Гү < 0 вместо (27) следует взять

$$0 - \theta_0 = \sqrt{-\Gamma \gamma} y, \quad u = -\gamma \mu c_0, \quad V_0 = -\gamma_0 v, \quad v = \sqrt{-\Gamma \gamma} t v', \quad \tau = -\Gamma \gamma t \delta' \quad (32)$$

При этом решение (18), (19) в новых переменных имеет место, а решение (25) примет вид

$$\delta' - y^{+}/2 = \mu_{1}$$
, $v_{1} = -y\delta' + y^{+}/2$ (33)

Записав еще уравнение ударной водны ВС

$$\frac{d\delta'}{dv} = \sqrt{2\delta' - \mu - \mu_1}$$
(34)

подставляя сюда (28), (33), можно найти μ вдоль BC, используя условия (20) в точке B.

Поскольку решение (28), (33), (34) имеет особенность в гочке $\mu = -1/2$, используем его только для малых μ и y.

Вдоль ударной волны BM при $y \approx 0$

$$\mu = cy^{-}$$
, $4c = -\sqrt{c + 1/2}$, $c \approx -0.15$ (35)

При этом решение (33), (34) дает $\delta \approx 2cy^2$, $\mu_i = 2cy^2 - y^2/2$, $\nu \approx -2cy^2 + y^2/2$.

Условие непрерывности касательной составляющей скорости частиц на $BM(\mathbf{z}')=0$, где $(\mathbf{z}')=\mathbf{z}'+(\mu-\mu_1)\sqrt{2\delta-\mu-\mu_1}$.

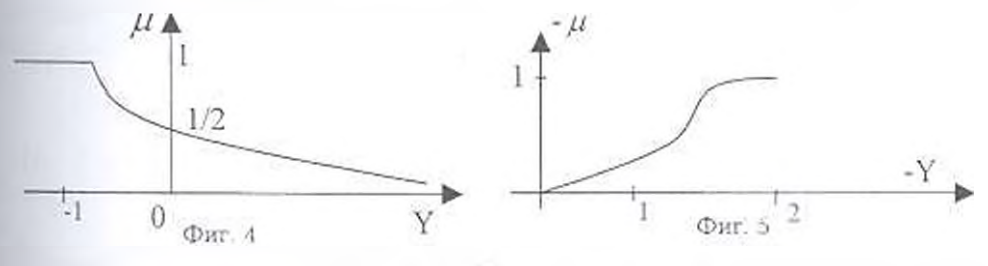
Вычисление дает $x' \approx -1.2y$ т е x' достаточно мала Вдали от точки B имеет место на ударной волне BC одномерное решение [4]

$$\delta = 1 + 2\mu - \pi^{-1}y^{-1}(1 + \mu)^{-1}/2$$
, $-y >> 1$, $2\delta - \mu + 1 = 0$

Отсюда получится на BC вдали от B

$$\mu = -1 + \frac{3}{2} \tag{36}$$

Имея асимтотики (35), (36), можно начертить кривую $\mu = \mu(y)$ на ударной волне BC фиг. 5.



Найдем теперь коэффициент Г для упругой среды. Нелинейный тензор упругих напряжений найдется по [1]

$$\sigma_{i} = \mu \left(\frac{\partial u_{i}}{\partial x_{i}} + \frac{\partial u_{i}}{\partial x_{i}} \right) + \left[K - \frac{2u}{3} \right] \frac{\partial u_{i}}{\partial x_{i}} + \left(\mu + \frac{A}{4} \right) \left[\frac{\partial u_{i}}{\partial x_{i}} + \frac{\partial u_{i}}{\partial x_{i}} \right]$$

$$= \frac{K - 2\mu - B / 3}{2} \left[\left(\frac{\partial u_{i}}{\partial x_{i}} \right)^{2} \delta_{ik} + 2 \frac{\partial u_{i}}{\partial x_{k}} + \frac{\partial u_{i}}{\partial x_{i}} + \frac{A}{4} \frac{\partial u_{k}}{\partial x_{i}} + \frac{\partial u_{i}}{\partial x_{i$$

где $\delta_{+}=1$ i=k $\delta_{\pm}=0$, i=k по повторяющимся индексам проводится суммирование: $K=\lambda+2\mu/3$: $\lambda_{+}\mu$ — линейные упругие модули. $A_{+}B_{-}$ С. нелинейные упругие модули.

Уравнения движения имеют вид

$$\rho \frac{\partial V_i}{\partial t} = (\lambda + 2\mu) \frac{\partial^2 u_i}{\partial x_i \partial x_i} + \mu \Delta u_i + F_i, \quad V_i = \frac{\partial u_i}{\partial t}$$
(38)

тде совмасно (37) $F = \frac{c\sigma_x}{\partial x}$

$$F = \left[\mathbf{u} + \frac{A}{4} \right] \left(\frac{\partial \left[u \right]}{\partial x_{k}} \frac{\partial u_{i}}{\partial x_{k}} - \frac{\partial \left[u_{i} \right]}{\partial x_{k}} \frac{\partial u_{i}}{\partial x_{k}} - \frac{\partial^{2} u_{i}}{\partial x_{k}} \frac{\partial u_{i}}{\partial x_{k}} \right)$$

$$= \left[\frac{\mu}{3} + \frac{1}{4} \right] \left[\frac{\partial \left[u_{i} \right]}{\partial x_{k}} \frac{\partial u_{i}}{\partial x_{k}} - \frac{\partial \left[u_{k} \right]}{\partial x_{i} \partial x_{k}} \frac{\partial u_{i}}{\partial x_{i}} \right] \left[\left[\left[\frac{2}{3} \mu + B \right] \frac{\partial^{2} u_{i}}{\partial x_{k}} \frac{\partial u_{i}}{\partial x_{i}} + \frac{\partial^{2} u_{i}}{\partial x_{i} \partial x_{k}} \frac{\partial u_{i}}{\partial x_{i}} \right] + \left(B + 2C \right) \frac{\partial^{2} u_{i}}{\partial x_{i} \partial x_{k}} \frac{\partial u_{i}}{\partial x_{i}}$$

$$= \left[\frac{A}{4} + B \right] \left[\frac{\partial^{2} u_{i}}{\partial x_{i} \partial x_{k}} \frac{\partial u_{i}}{\partial x_{i}} + \frac{\partial^{2} u_{i}}{\partial x_{i} \partial x_{k}} \frac{\partial u_{i}}{\partial x_{i}} \right] + \left(B + 2C \right) \frac{\partial^{2} u_{i}}{\partial x_{i} \partial x_{k}} \frac{\partial u_{i}}{\partial x_{i}}$$

$$(39)$$

Для волучения формулы для нормальной скорости C_n нелинейной волны следует записать для (38). (39) условия совместности на характеристике и полагать

$$\frac{\partial}{\partial t} = -c_n + \frac{\partial}{\partial x_k} n_k S$$

где n_i — единичный вектор нормали к волне, $\delta = \partial / \partial f$ — есть производная по нормали к волне. Рассматривается плоская задача. Выберем ось х по нормали _ у по касательной волне. Тогда уравнения (38), (39) дадут

$$-\left(C_{n}^{2}-a^{2}\right)\delta u_{x}=\frac{c_{n}}{\rho_{0}}F_{x},\quad -\left(C^{2}-b^{2}\right)\delta uy=\frac{c_{n}}{\rho_{0}}F$$
(40)

$$F_{1} = \frac{2}{c_{\pi}} \rho_{0} A_{1} u_{c} \delta, \quad F_{1} = 0, \quad A_{1} = \frac{1}{\rho_{0}} \left(2\mu + A + 3B + \frac{3}{2} K + C \right)$$
 (41)

Влесь C_a — скорость динейной волны, причем (41) дает для продольной упругой волны $C_e = a$. Из первого уравнения (38) для нединейной волны в первом порядке

$$C_n = a + \Gamma V_{v-1} \Gamma = -\frac{A_1}{a^2}$$
 (42)

Таким образом, найден нелинейный коэффициент Γ для упругой среды Для жидкой следы [1] следует, что $A_1<0$. $\Gamma>0$ а для типичной геометрически, как и физически нелинейной упругой среды по $1411-A_1>0$, $\Gamma<0$.

Автор благодарит член-корр. НАП Арменин А.Г. Багдоева за пепные **советы**.

АИТЕРАТУРА

- 1 Багдоев А. Г. Распространение волн в сплошных средах. Ереван 14зд. АН Арм. ССР 1981, 307 с.
- 2 M. Jean Legras Ecoulement conique au voisinage d'un point de jonction C R. Acad Sci. Paris. V. 234 (1952), p.181-185
- 3. Булах Б. М. Нединейные конические течения газа. М. Паука, 1970.
- 4. Багдоев А. Г., Гургенян А. А. Приближенное решение ряда пелинейных задач определения ударных воли в сжимаемой жидкости.// Изв. АН Арм ССР Механика. 1968. Т. 21. №1. С. 39-36.
- 5. Багдоев А. Г. Некоторые нелинейные задачи движения сжимаемой жидкости Ереван: Изд АН Арм ССР, 1967—263с
- Zahalak G. J. and M. K. Myers. Conical flow near singular rays. Journal of Fluid Mechanics, 1974, V. 63. № 3 p. 537-56.
- 7 Багдоев А. Г. Даноян З. Н. Исследования движения среды в окрестности точки касания ударных воли в линейцой и нелицейной постановке. //Ж. вычис, матем, и матем, физики 1972. Т. 12. №6. С.512-529
- 8 Багдосв А. Г. Решение линейной и нелинейной задач в окрестности точек касания фронтов воли. // Изв. НАН Армении. Механика. 1999. Т.52. №3. с.45-54
- 9. Виноградова М. Б., Руденко О. В., Сухоруков А. М. Теория водн. М. Наука, 1979, 383с.
- 10 Багдоев А. Г. Саакян С. Г. Определение нелипейного решения в дифракционной волновой области для неоднородной упругой среды. Информационные технологии и управление, Ереван. 1999. №4. С.29-35
- 11 Бабяч В. М. Распространение линейных волн и каустики. //Уч. записки АГУ, 1958. №32. С.228-260
- 12 Минасян М. М. О распространении слабых возмущений в магнитной газодинамике. // Докл. АН Арм ССР, 1972. 55, 123, С.273-280.

Горисский филиал Армянского государственного Поступила в редакцию виженерного университета (АГИУ) 19.10 2001

чильной академин и наук армении мональной академин наук армении известия папиональной академин наук армении

Մեխոսնիկա

55, №1, 2002

Механика

VAK 550 341

О ФЕНОМЕНОЛОГИЧЕСКИХ МОДЕЛЯХ ПОДГОТОВКИ ЗЕМЛЕТРЯСЕНИЙ Хачикян А.С.

Ա. Ս. Խաչիկյան Երկրաչարժի նախապատրաստության ֆենոմենոլոգիական մողելների մասին

երկրայարժի տուսջայման մասին գոյություն ունեցող տեսությանների և վարկածների քննալկմաս է իւնան վրա ներկայացված է երկրաչարժի ճախուսկատրաստության սլողծսի ֆենոմեն ոլոգիական մոդել Ինայն վրա ներկայացված է երկրաչարժի ճախուսկատրաստության սլողծսի ֆենոմեն դրգիկայի, շարժիչ Ինայած հետազոտույնները շունեն միասնական կարծիք երկրաչարժի վերաբերյալ, կատարված անավիվի առժիլի, նախոսպատրաստության գործընդրայի դինամիկայի և փուլերի վերաբերյալ, կատարված նաևություն անան բավականաչափ ընդհանուր հիմնական հատկություն անի միասմական ֆեսոմենոլոգիական ժողելով նկարագրելու համար։ Ներկայացված մոդելում որպես ընդհանրական հատկություն ընդհանրական հատկություն ընդհանրական հատկություն ընդհանրական հատկություն ընդհանրական հատկություն ընդհանրական հատկություն ընդհանրական հատացման տեղանասերի (երկրաչարժի ապապա օջոչնի) առկայության գաղավարը

Զենարկվուծ են տարբեր ֆիզիկական բնույթի կանխանչանների տոաջացման հնարավոր մեխանիզսսերը և նշված են դիտարկվող վարկածում սպասվող կանխանշանները նախասկատրաստության յուրարանչյուր վայլում։ Առաջարկվող մողելի ընձեռնած հնարավորությունները և հետազա զարգացման ուղղությունները ցուցադրված են օրինակներով

A. S. Khachikyan
On Phenomenological models for earthquakes preparations

По основании анализа суще твующих теории и гинстез о возникновении землетрясений пред тавлена феноменологическая молель процесса подготовки землетрясений. Хоги нет единого энешей исследователей о физике, движущих силах, динамике и этапов процесса полготовки землетрясении проведенный анализ показывает что известные гинотезы облоднот до таточно общими хапактерными чергами для их описания в рамках единок треноменолической модели. Предложенная модель основана на содержащемся во всех инотезах предположении о росте деформации и образовании участков концентрации деформаций прообраза будущего очага землетрясения! в процессе подготовки оказтрясения. Обсуждены возможные механизмы возникловения предвестником разной филероской природы и отмечены предвестники, ожилаемые на каждом этапе подготовки Направление додынейшего развития и открываемые моделыя возможности иллюстрированы на примерах.

Процессы подготовки (ПП) землетрясений обсуждены многими исследователями в их связи с возможным проглозом землетрясений при помощи наблюдаемых предвестников [1,2]. Высказаны разные идеи о сущности физических процессов, происходящих при подготовке землетрясений и их связи с наблюдаемыми при этом вблизи поверхности вемли явлениями. - предвестниками. Здесь делается попытка обобщенного феноменологического описания этих процессов.

1 Предположим что в некоторой области Ω земной коры протекает ПП, интенсивность которого можно описать функцией f(x,t) Вследствие эгого в любой точке земной коры, а также вблизи се поверхности меняется значение параметра (характеристики наблюдаемого физического поля $\Pi(x,t)$, который принято называть предвестником. Очевидно, что нам желательно иметь функциональную связь [3]

$$\Pi(x,t) = \int_{\Omega} \int_{\Omega} f(\xi,\tau) K(x,t,\xi,\tau) d\omega d\tau$$

где $K(x,t,\zeta,\tau)$ функция влияния (функция Грипа) применетельно к каждому предвестниковому явлению и к каждой гипотезе о физике ПП.

Даже неполное описание предложенных гинотез и их модификаций о ПП говорит об их больном количестве и многообразии. Количество и многообразие по их физической сущности наблюдаемых предвестников еще больне Поэтому, как отмечено в [3], при ностроении модели и количественного описания ПП возникает необходимость построения многих сотей функционалов типа [1], что нецелесообразно по многим причинам. Особенно важно, что при этом не существует надежной базы для сравнения результатов, полученных согласно расчетам по разным гипотелам. Преодоление (уменьшение) этих трудностей и составляет цель настоящей работы.

- 2. Приведем краткое описание некоторых наиболее известных гипотез о ПП, особо выделяя те происходящие, по мнению авторов гипотез, процессы, которые могут быть связаны с возникновением наблюдаемых предвестников.
- 2.1. Гипотоза лавинно-неустойчивого трещинообразования (АНТ) [4] Согласно представлениям авторов, очаг сдвиговой разрыв, подготавливается развитием и взаимодействием большого числа сдвиговых трешин

На первой стадии происходит однородное растрескивание по большему объему. Трешины далеки друг от друга Среда статистически однородна. Имеет место внешнее однородное нагружение. Для больших магнитуд (М) процесс длится сотпи или тысячи лет.

На второй стадии имеет место давинное взаимодействие трещии При достижении критической плотности разрывов взаимодействие трещии давинно ускоряется. Поде напряжений неоднородно. Развивается сильнее только часть грешии согласно полям напряжений Процесс может длиться десятки лет.

Третья стадия считается авторами стадией неустойчивости Увеличение деформаций приводит к падению напряжений. Вследствие неоднородности свойств среды деформации стягиваются в узкую полосу (зону), где развиваются несколько крупных трещин. В остальной части трещины перазвиваются (заживают). В узкой зоне большая плотность разрывов приводит к образованию магистрального разрыва. Время стадии не уточняется, однако ясно, что оно отождествляется со временем возможных форшоков - порядка одного года.

Из описания ясно, что причинами зарождения предвестников могут быть деформации (ε_v) и трещинообразование (C_v) В научной литературе именно с деформациями и трещинообразованием связывается появление почти всех предвестников. В первой стадии предвестники могут появляться в виде общего однородного треща. Во второй стадии появление предвестников должно усиливаться и иметь пеоднородный характер. В третьей же стадии появление предвестников должно выражать стягивание процессов в узкую очаговую зону

2.2. Дилатантно-диффузионная модель землетрясения (ДД) [5].

Представления об очаге по этой гипотезе совпадают с представлениями модели АНТ. На первой длительной стадии происходит рост

упругих напряжений, особо касательных $(\sigma_1-\sigma_3)$, среда не меняется. На второй стадии из-за больших напряжений $(\sigma_1-\sigma_3)$ возникают трещины отрыва. Имеет место объемная деформация—дилатансия. Поровое давление падает, идет осушение пород. прочность пород возрастает.

На третьей, диффузионной стадии вследствие падения порового давления вызывается диффузия воды в зону подготовки. Поровое давление увеличивается, прочность пород падает. Процесс заканчивается магистральным разрывом.

Представления этой гипотезы приведут, с точки зрения причин образования предвестников, к аналогичной гипотезе ЛНТ результатам. Разница состоит в предположении об изменениях флюндного режима, что может выражаться в вариациях электрического сопротивления пород и отношения скоростей продольных и поперечных волн.

2.3. Модель консолидации [6]. Согласно представлениям автора в конце длительного, регулярного состояния вследствие движения иерархической системы блоков происходит консолидация в некоторой очаговой зоне. В консолидированной области увеличивается жесткость среды. При критическом увеличении напряжений начинается распад — разрушение.

Таким образом, по представлениям модели длительный процесс затишья заменяется образованием зоны концентрации напряженний—прообраза будущего очага землетрясения. Постепенное увеличение напряжений—деформаций приводит сначала к частичному, потом и к катастрофическому разрушению. Причиной предвестников являются деформации и частичные разрушения, концентрированные в консолидированней зоне.

2.4 Модель упругой отдачи Рейда [2]. По известной теории Рейда, в несколько свободном изложении, вследствие действия внешних сил плиты земной коры движутся и сцепляются. В местах сцепления, препятствий или отличий жесткости пород растет напряжение, накопляется потенциальная (упругая) энергия. По исчерпании запаса прочности пород происходит разрушение—землетрясение. После землетрясения плиты возвращаются в менее напряженное состояние.

Причинами предвестников здесь могут быть усмотрены деформации (ϵ_{ij}), постепенно концентрирующиеся в очаговой области. Всегда можно предполагать, что деформации сопровождаются мелкими разрушениями — трещинами.

В эту схему, с небольшими изменениями можно включить многие модели: Лобковского Л.И. [7], скачкообразного движения [8], Мишина С.В. [9] и др.

Сюда же можно было бы включить и модель консолидации, которая была рассмотрена отдельно ввиду ее более подробной разработанности.

2.5. Модель подготовки землетрясения Уломова В.И. [10]. По представлениям Уломова В.И. первый этап подготовки землетрясения протекает в виде длительных упруго-пластических деформаций, сопровождающихся уплотнением большого объема (закрытие пор. трещин, деформация менее твердых включений). На втором этапе происходит относительно быстрая упругая деформация с уменьшением объема. На третьем этапе происходит пластическая деформация без изменения объема, которая завершается резким сдвиговым перемещением—землетрясением. К четвертому этапу автор относит процессы релаксации напряжений.

Причинами предвестниковых явлений в этом случае могут быть на первом, длительном этапе упруго пластические деформации $[\varepsilon]$ закрытие вор и трещин (C_{cr}) , неоднородные по большому объему леформации $[\varepsilon_{ij}(t,x)]$ вследствие деформации менее твердых включений на втором этапе эту роль выполняет упругое уменьшение объема $|\varepsilon|$ — На гретьем, завершающем этапе процесс характеризуется пластическими леформациями (ε_{ij}^{p}) .

2.6. Теплогазодинамические модели подготовки землетрясений. В му группу, несмотря на значительные отличия, можно включить модель Осика Д.Г. [11] импульсивного газового дыхания Земли, модель Ризпиченко Ю.В. [12] и теплогазодинамическую модель Пономарева А.С. [13]

По представлениям этих авторов образуются зоны повышенных напряжений (давлений) от вертикального движения земной коры и астеносферы или от проникновения в верхние слои коры флюндов повышенного давления и температуры от нижных слоев. Происходит расширение зоны повышенного давления растут напряжения и при исчернании запаса прочности окружающих зону пород происходит разрушение - землетрясение.

Предвестники в этих случаях могут образоваться вследствисдеформаций (ϵ ,), повышения температуры и давления. Медких разрушений при расширении зоны высокого давления (C_{ϕ}) изменений флюидного режима (L).

- 2.7. Модели, предполагающие фазовые или полиморфные превращения [14]. Эти процессы могут быть как основными, гак и сопутствующими другим процессам подготовки. При фазовых или полиморфных превращениях породы претерпевают объемные деформации (8, 7). Этапы и скорости всего процесса подробно не описаны предполагается изменение температуры и давления. Основной причиной образования предвестников в этом случае могут быть деформации.
- 3. Анализируя описанные выше гипотезы, можно заметить много общего между ними. Все они на первом, дантельном этапе (до 101 лет) деформаций медленное нарастание ПОДГОТОВКИ предполагают MAH неоднородных, упрутих ИАН пластических XIGHAOQOIGAO сопровеждающиеся трещинообразованием или без этого. На втором этапе олькотиствы в оссорония происходиция процессов в относительно области - очаге будущего землетрясения. Нарастание **небольшой** процессов приводит к разрушению. В некоторых гипотезах считаются изменения в фаюндном режиме пород, или других вроцессов, например, фазовых превращений. Описанные по разным гилотезам ход процессов подготовки землетрясения продставим в виде таблицы 1.

Отвлекаясь от подробностей типа рода деформаций, отличия вредполагаемых изменений флюндного режима и других, можно востроить объединенную таблицу 2.

Таким образом, приходим к следующему общему, феноменологическому описанию процессов подготовки землягрясений На первом, длительном (сотим и более лет) этапе подготовки происходит одпородное деформирование в большом объеме с возможным сопровождением однородного же трещинообразования. На втором, относительно коротком этапе (десятки лет), кроме того, возможно неоднородное изменение флюидного режима. На третьем этапе (от года до первых нескольких десятков лет) происходит усиление этих процессов непосредственно в очаговой зоне, что и в конечном итоге может привести к псустойчивости — образованию магистрального разрыва, землетрясения.

					Таблица 1
Время до события	103	10 ²	10 ¹	10°	10-1
AHT	$\varepsilon_{ij}(t), C$	$_{cr}(t)$	$\varepsilon_{ij}(t,x), C_{cr}(t)$	(x)	$U_{ij}(t,x), C_{ci}(t,x)$
41	$\varepsilon_q(t)$,	$\varepsilon_y(t,$	$(x), C_{cr}(t,x), L$	$\epsilon(t)$	$c_{ii}(t,x)$
Консоли- дации	$\varepsilon_v(t)$	ε_{ij}	(t,x) $\varepsilon_{ij}(t,x)$	$C_{cr}(t,x)$	$\varepsilon_v(t,x)$
Рейд и др	$\varepsilon_{_{ij}}(t)$		$\varepsilon_{ij}(t,x)$	$\varepsilon_{v}(t,$	$x). C_{cr}(t,x)$
Уломов	$\varepsilon_{ii}^{p}(t)$		$\varepsilon_{ij}(t,x)$.	$\varepsilon^{p}(t,x)$	
Генаогаз. модели	$\varepsilon_{\rm u}(t).\varepsilon_{\rm u}(t)$	$\varepsilon_n(t,x)$	$\varepsilon_{ii}(t,x)$. $L(t,x)$) $\varepsilon_{ii}(t,x)$	$C_{cr}(t,x)$, $L(t,x)$
Фазовые превр.	$\varepsilon_u(t)$		$\varepsilon_{\bar{u}}(t,x)$		$\varepsilon_{ii}(t,x).C_{rr}(t,x)$

					Таблица 2
од кмэда китыбоэ (ыдоп)	10;	10^2	101	10°	10-1
Процессы	$\varepsilon_{i}(t)$	$C_{cr}(t,x)$		$\varepsilon_{ij}(t,x)$	
Подготовки	$C_{cr}(t)$			$C_{cr}(t,x)$	
		$L(\iota,$	x)	L(t,x)	

Согласно этому описанию основными предвестникообразующими факторами являются деформации, грещинообразование и изменение флюидного режима вород.

Хотя представления исследователей о механизмах образования предвестников очень разнообразны, большинство из них с деформациями связывают всю гамму предвестников, от геохимических до электромагытных. С трещинообразованием связываются обычно (кроме деформаций) звуковые и электромагнитные эмиссии, а также изменения электропроводимости пород. Влияние изменений флюидного режима усматривается, в основном, на геохимические предвестники, теллурические токи изменения скорости распространения воли

- 1 Возвращаясь к функциональной связи [1], согласно выводам предыдущего пункта мы видим, что интенсивность f(x,t) можно представить в виде трехмерного вектора. Компонентами этого вектора являются деформации, трещинообразование и вариации флюндного режима. Не касаясь здесь вопроса описания этих компонентов, отметим, что деформации являются тензорами второго ранга и поэтому запись [1] нужно воспринимать как чисто символическую. Приведенные пиже частные примеры иллюстрируют реальные формы функциональной связи [1]
- 4.1. Модель консолидации [6]. Эта модель является количественно наиболее разработанной. Для перемещений земной поверхности автором модели выведена формула

$$W = -\alpha \tau \iiint (v'_{1,2} + v'_{2,1}) l v_{\varepsilon}$$
 (2)

где α — отпосительное изменение модуля сдвига по основному предположению модели. τ — напряжение на бесконечности, ν — функции Грипа.

Исходя из формулы [2], с единых позиций исследованы перемещения поверхности земли и наклоны по глубине как предвестники. Поставлена и решена одна обратная задача сейсмического просвечивания для конкретного землетрясения. Знаменательно определение изменений вектора магнитной индукции. Кратко изложим ее суть.

Известно [15] что горпые породы обладают некоторой начальной намагниченностью и свойством пьезомагнетизма. Вследствие втого происходящие деформации во время подготовки землетрясений приводят к изменению намагниченности пород. Это обнаруживается на поверхности Земли в виде изменения вектора магнитной индукции рассматривоемое как предвестник.

Принимая закон пьезомагнетизма

$$\Delta \bar{\mathfrak{l}}_{i} = -\frac{3}{2}C\bar{\mathfrak{l}}_{i}S_{ij}$$

тде С-пъезомагнитный коэффициент пород, I — вектор намагниченности, S_{i} —девиатор деформаций, в [6] выведено приближенное соотношение

$$\Delta \overline{\mathbf{B}} = \nabla \times \iiint \frac{\Delta \overline{\mathbf{I}} \times \overline{R}}{R^3} dV$$

Здесь $\overline{\bf B}$ — вектор магнитной индукции. ∇ — набла-оператор. R — расстояние наблюдаемой гочки от элемента объема. где происходит процесс полготовки.

Это соотпощение позволило в рамках модели консолидации произвести вычисления изменений вектора магнитной индукции и сравнивать их с действительно наблюдаемыми данными. 4.2. Модель дополнительной деформации. Для случая статических объемных деформаций в [16] для перемещений полупространства получено

$$U_{-} = A \left[(x - \alpha) R_{+}^{-1} + (3 - 4\nu) R_{+}^{-3} - 6z(z + y) R_{+}^{-3} \right] \varepsilon_{0} d\omega$$

$$U_{-} = A \int_{\Omega} (y - \beta) \left[R_{+}^{-1} + (3 - 4\nu) R_{+}^{-3} - 6z(z + \gamma) R_{+}^{-5} \right] \varepsilon_{0} d\omega$$

$$U_{-} = A \int_{\Omega} \left[(z - \gamma) R_{+}^{-1} - (3 - 4\nu) (z + \gamma) R_{+}^{-3} - 6z(z + \gamma)^{2} R_{+}^{-5} + 2R_{+}^{-3} \right] \varepsilon_{0} d\omega$$

$$V_{-} = A \int_{\Omega} \left[(z - \gamma) R_{+}^{-1} - (3 - 4\nu) (z + \gamma) R_{+}^{-3} - 6z(z + \gamma)^{2} R_{+}^{-5} + 2R_{+}^{-3} \right] \varepsilon_{0} d\omega$$

$$V_{-} = A \int_{\Omega} \left[(z - \gamma) R_{+}^{-1} - (3 - 4\nu) (z + \gamma) R_{+}^{-3} - 6z(z + \gamma)^{2} R_{+}^{-5} + 2R_{+}^{-3} \right] \varepsilon_{0} d\omega$$

$$V_{-} = A \int_{\Omega} \left[(z - \gamma) R_{+}^{-1} - (3 - 4\nu) (z + \gamma) R_{+}^{-3} - 6z(z + \gamma)^{2} R_{+}^{-5} + 2R_{+}^{-3} \right] \varepsilon_{0} d\omega$$

$$V_{-} = A \int_{\Omega} \left[(z - \gamma) R_{+}^{-1} - (3 - 4\nu) (z + \gamma) R_{+}^{-3} - 6z(z + \gamma)^{2} R_{+}^{-5} + 2R_{+}^{-3} \right] \varepsilon_{0} d\omega$$

$$V_{-} = A \int_{\Omega} \left[(z - \gamma) R_{+}^{-1} - (3 - 4\nu) (z + \gamma) R_{+}^{-3} - 6z(z + \gamma)^{2} R_{+}^{-5} + 2R_{+}^{-3} \right] \varepsilon_{0} d\omega$$

$$V_{-} = A \int_{\Omega} \left[(z - \gamma) R_{+}^{-1} - (3 - 4\nu) (z + \gamma) R_{+}^{-3} - 6z(z + \gamma)^{2} R_{+}^{-5} + 2R_{+}^{-3} \right] \varepsilon_{0} d\omega$$

$$V_{-} = A \int_{\Omega} \left[(z - \gamma) R_{+}^{-1} - (3 - 4\nu) (z + \gamma) R_{+}^{-3} - 6z(z + \gamma)^{2} R_{+}^{-5} + 2R_{+}^{-3} \right] \varepsilon_{0} d\omega$$

$$V_{-} = A \int_{\Omega} \left[(z - \gamma) R_{+}^{-1} - (3 - 4\nu) (z + \gamma) R_{+}^{-3} - 6z(z + \gamma)^{2} R_{+}^{-5} \right] \varepsilon_{0} d\omega$$

$$V_{-} = A \int_{\Omega} \left[(z - \gamma) R_{+}^{-1} - (3 - 4\nu) (z + \gamma) R_{+}^{-3} - 6z(z + \gamma)^{2} R_{+}^{-5} \right] \varepsilon_{0} d\omega$$

$$V_{-} = A \int_{\Omega} \left[(z - \gamma) R_{+}^{-1} - (3 - 4\nu) (z + \gamma) R_{+}^{-3} \right] \varepsilon_{0} d\omega$$

$$V_{-} = A \int_{\Omega} \left[(z - \gamma) R_{+}^{-1} - (3 - 4\nu) (z + \gamma) R_{+}^{-3} \right] \varepsilon_{0} d\omega$$

$$V_{-} = A \int_{\Omega} \left[(z - \gamma) R_{+}^{-1} - (3 - 4\nu) (z + \gamma) R_{+}^{-3} \right] \varepsilon_{0} d\omega$$

$$V_{-} = A \int_{\Omega} \left[(z - \gamma) R_{+}^{-1} - (3 - 4\nu) (z + \gamma) R_{+}^{-3} \right] \varepsilon_{0} d\omega$$

$$V_{-} = A \int_{\Omega} \left[(z - \gamma) R_{+}^{-1} - (3 - 4\nu) (z + \gamma) R_{+}^{-3} \right] \varepsilon_{0} d\omega$$

$$V_{-} = A \int_{\Omega} \left[(z - \gamma) R_{+}^{-1} - (3 - 4\nu) (z + \gamma) R_{+}^{-3} \right] \varepsilon_{0} d\omega$$

$$V_{-} = A \int_{\Omega} \left[(z - \gamma) R_{+}^{-1} - (3 - 4\nu) (z + \gamma) R_{+}^{-3} \right] \varepsilon_{0} d\omega$$

$$V_{-} = A \int_{\Omega} \left[(z - \gamma) R_{+}^{-1} - (3 - 4\nu) (z + \gamma) R_{+}^{-3} \right] \varepsilon_{0} d\omega$$

v = коэффициент Пуассона.

Там же приведены примеры вычислений перемещений по формулам (3) для дневной поверхности (z=0), при $\epsilon_0=$ const в заданной области.

На основании этих уравнений сделаны вычисления деформаций земной новерхности. Далес, принимая определенные простые формы активной области, получены упрощенные уравнения относительно конечного числа неизвестных — характеристик очаговой области. Сформирована обратная задача и сделан анализ одного частного решения [17].

Более подробное ознакомление с приводенными примерами, особенно хорошо разработанной моделью консолидации, показывает, насколько плодотворно определение полей деформаций при анализе гипотез процессов подготовки землетрясении

Обобщая вышеизложенное, можно констатировать, что подавляющее большинство наиболее известных гипотез о физических процессах полготовки землетрясений допускает феноменологическое описание функциональным соотношением (1) физических процессов и их связи с наблюдаемыми предвестниками с представлением всех процессов в виде некоторых деформаций. Таким образом, феноменологическая модель подготовки землетрясений, основанная на функционале (1), имеет достаточную широту объятия идей. Примеры постановки и решения в рамках этой модели, прямой (определение величин предвестников при известном месте и интенсивности процессов подготовки) и обратной (определение места и интенсивности процессов подготовки при известных величинах предвестников) задач приведены в [3, 6, 17]. Очевидна также принципиальная возможность осуществления физической экспериментальной модели на этой основе.

Концеппия предложенной модели также созвучна с нарастающей ролью механики сплошной среды в исследованиях землетрясений и других проблем геофизики.

АИТЕРАТУРА

- 1. Рикитаке Т. Предсказание землетрясений. М.: Мир. 1979. 388 с.
- 2. Касахара К. Механика землетрясений, М. Мир. 1985, 264 с.
- 3. Хачикян А.С., Мкртчян М.С. Определение активной области подготовки землетрясений.// Изв. НАН Армении Механика. 1995... Т.48. №1. С. 16-23.
- 4. Мячкин В.И. Процессы подготовки землетрясений. М. Наука, 1978 232 с.
- 5 Sholt C.H., Sykes I.R., Aggarwal Y.P. Earthquake Prediction: a Physical Basis. Science, 1973. V. 181, N 4102. P. 803-810.
- 6. Добровольский И.П. Механика подготовки тектонического землетрясения. Институт физики Земли АН СССР, М.: Наука, 1984, 189 с.
- Любковский А.И. Геодинамика зон спрединга, субдукции. М.: Наука, 1988. 251 с.
- Мишин С.В. Модель процесса землетрясения.//В кн.: Физические процессы в очагах землетрясений. М.: Наука, 1980, 166с.
- Уломов В.И., Мавашев Б.З. О предвестнике сильного тектонического вемлетрясения. // Докл. АН СССР, 1967. Т. 176. № 2. С. 319-321
- 11. Осика Д.Г. О некоторых теоретических и практических следствиях изучения генетической сущности геохимических и гидрогеологических процессов в связи с сейсмичностью недр. // В кн.. Геодинамика и сейсмичность территории Дагестана, № 3 (21). Махачкала: ФАН 1979-97с.
- 12 Ризвиченко Ю.В. Эпергетическая модель сейсмического режима.// Изв. АН СССР. Физика Земли, 1968, № 5, С. 3-19.
- 13 Пономарев А.С. Теплогазодинамическая модель коровых землетрясений // Изв. АН СССР Физика Земли. 1990. № 10. С. 100-112.
- Калинин В.А. и др. Геодинамические эффекты физико-химических превращений в твердой среде. М.: Наука, 1989. 157 с.
- 15. Соболев Г.А. Основы прогноза землетрясений. М.: Наука, 1993. 314 с.
- 16 Хачикян А.С. О проблеме прогноза тектонических землетрясений.// Докл. АН Армении. 1991. Т. 92. № 5. С. 201-205.
- Хачики А.С., Казарян А.С. Об обратной задаче подготовки землетрясений.//Тр. конференции посвященной 90-летию академика А.Г. Назарова, 1-4 июня, 1998, Гюмри. С. 314-318.

Институт механики НАН Армении Поступила в редакцию 14.12.2001

ИЗВЕСТИЯ НАЦИОНАЛЬНОЙ АКАДЕМИИ НАУК АРМЕНИИ ИЗВЕСТИЯ НАЦИОНАЛЬНОЙ АКАДЕМИИ НАУК АРМЕНИИ

Մեխանիկա

55, №1, 2002

Механика

УДК 537.3

ОПТИМАЛЬНЫЙ ТЕХНОЛОГИЧЕСКИЙ НАГРЕВ ВНЕШНЕЙ СРЕДОЙ И ИСТОЧНИКАМИ ТЕПЛА СТЕКЛЯННОЙ КУСОЧНО-ОДНОРОДНОЙ ЦИЛИНДРИЧЕСКОЙ ОБОЛОЧКИ, СОПРЯЖЕННОЙ С КОНИЧЕСКОЙ

Гачкевич А.Р., Гачкевич Н. Г., Казарян К.Б., Касперский З.И

Ա.Ռ. Գաչկնվիչ, Ն.Գ. Գաչկնվիչ, Կ.Պ. Ղազարյան, Ձ.Ի. Կասպերսկի Արտաթին՝ միջավայրով եվ ջերմության աղբյուրներով կոնական րաղանքի եվ նրան համակցված կտոր առ կտոր համասեռ ապակե գլանային քաղանքի օպտիմալ տեխնոլոգիական՝ տաքացումը Եշխատանրում՝ արաջարկված է գլանային՝ եվ կոնական՝ մասերով բաղաղրյալ ապակե թաղանքի. ըստ լարումների օպտիմալ տեխնորդգիական տաքացման ռեժիմի պարամետրերի հաշվարկի անալիտիկ հաշվարկային մեթողաբանություն։

Տարացումը պայմանավորված է արտաքին միջավայրով եվ անընդհատորեն բաշխված ջերմության

ներքին աղբյուրներով։

A.R. Gachkevich, N.G. Gachkevich, K.B. Ghazaryan, Z.I. Kasperski Optimal technological heating by external media and heat sources of piece-wise homogeneous glass cylindrical shell conjugated with conical one

В работе предложена численно-анализическая методика расчета параметров оптимального по напряжениям режима технологического нагрева внешней средой и внутренними непрерынно распределенными источниками тепла составной стеклянной оболочки, состоящей из цилиндрической и конической частей.

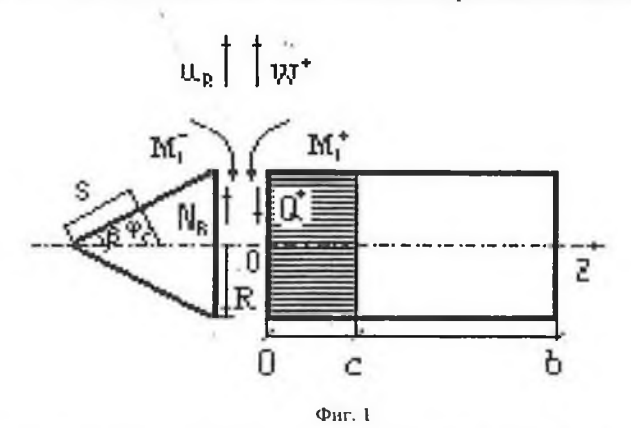
технологических процессах широко Bo многих используется технологический нагрев, в частности, при изготовлении электровакуумных приборов. Основными элементами таких приборов являются, как правило. элементы из стекла. Низкие прочностные характеристики стекла особенно в условиях градиентного распределения температуры приводят прогнозирования уровня напряжений процессе термообработки с целью обеспечения значений напряжений, меньших от допустимых.

Рассмотрим задачу об определении оптимальных по напряжениям режимов осесимметричного нагрева свободной от внешнего силового нагружения конечной оболочки, состоящей из кусочно-однородной цилиндрической оболочки (которая имеет две однородные части длины l_1 и l_2) радиуса R, постоянной толщины 2h, непрерывно сопряженной с круговой конической оболочкой той же толщины (фиг.1). Все три части рассматриваемой составной оболочки изготовлены из разных типов стекла (с различными теплофизическими и механическими характеристиками).

Точки вдоль меридиана конической оболочки описываем расстоянием s от вершины конуса, а положение точки вдоль меридиана цилиндрической части-осевой координатой z (которая отсчитывается от сечения z=0 сопряжения с конической оболочкой). Для конической части оболочки 40

$$z = (R/\sin\beta - s)\cos\beta.$$

Оболочка нагревается конвективным способом со стороны внешней поверхности и непрерывно распределенными источниками тепла, которые вызваны внешним воздействием (в частности, электромагнитным излучением [3, 8]). На внутренней поверхности оболочки $\gamma_{(k)} = -h$ имеет место или конвективный теплообмен со средой $\gamma_{(k)} < R - h$, или теплоизоляция. Здесь индекс k введен для обозначения величин, которые относятся к однородным



составным частям оболочки: k=1 для $-R{\rm ctg}\beta \le z < 0$, k=2 для $0 \le z \le c$ и k=3 для $c < z \le b$, а $\gamma_{(k)}$ – координата, которая определяет положение точки вдоль нормали к срединной поверхности $(-h \le \gamma_{(k)} \le h)$.

Необходимо осуществить технологический целевой нагрев заданными источниками тепла и конвективным способом внешней поверхности $\gamma_{(k)}=h$ оболочки в выбранном сечении z_0 от постоянной начальной температуры T_{in} (при t=0) до заданной максимальной T_0 за время t_0 , выдержать эту температуру некоторый промежуток времени t_n , а потом охладить поверхность до конечной температуры $T_*(T_* \leq T_0)$ за время t_* при некоторых ограничениях на параметры термонапряженного состояния и скорость нагрева. Такой режим нагрева является типичным для многих видов термообработки [2]. Функцией управления (искомой функцией) является температура $T^*(z_0,t)=T(z_0,h,t)$ внешней поверхности оболочки, которая удовлетворяет в соответствии с целью нагрева таким условиям:

$$T^{+}(z,0) = T_{in}; \quad T^{+}(z_{0},t) = T_{0} \text{ при } t_{0} \le t \le t_{01}; \quad T^{+}(z_{0},t_{*}) = T_{*}$$

$$V_{T1} \le \frac{dT^{+}(z_{0},t)}{dt} \le V_{T2}; \left(\frac{dT^{+}(z_{0},t)}{dt}\right)_{t=t_{0}} = 0; \left(\frac{dT^{+}(z_{0},t)}{dt}\right)_{t=t_{01}} = 0$$
(1)

которые отображают цель нагрева и специфику технологии термообработки стеклянных изделий [1,2], а также заданные условия на функцию управления в определенные моменты времени. В условиях (1) V_{71} , V_{72} — заданные допустимые скорости нагрева, а $t_{01} = t_0 + t_0$.

Примем, что на всем промежутке нагрева $[0,t_*]$ параметры напряженного состояния (меридиональные $\sigma_{1,k}$ и кольцевые $\sigma_{2,k}$ температурные напряжения на внешней $(\sigma_{1,k}^+,\sigma_{2,k}^+)$ и внутренней $(\sigma_{1,k}^-,\sigma_{2,k}^-)$ поверхностях) являются меньшими от допустимых, т.е. выполняются ограничения:

$$\sigma_{01,k}^{\pm} \leq \sigma_{1,k}^{\pm} \leq \sigma_{\bullet1,k}^{\pm}, \sigma_{02,k}^{\pm} \leq \sigma_{\bullet2,k}^{\pm} \leq \sigma_{\bullet2,k}^{\pm} \text{ при } T_{i\bullet} \leq T \leq T_0$$
 (2) где $\sigma_{01,k}^{\pm} \leq 0, \sigma_{02,k}^{\pm} \leq 0, \sigma_{\bullet1,k}^{\pm} \geq 0, \sigma_{\bullet2,k}^{\pm} \geq 0$.

Сформулированная задача при приведенных ограничениях является задачей оптимального управления, которая имеет множество решений [4]. Для выбора нужного решения за критерий оптимальности принимаем условие минимума функционала максимальных нормальних напряжений

$$F = \max[\sigma_{1,k}(z,\gamma_{(k)},t),\sigma_{2,k}(z,\gamma_{(k)},t)]$$
$$-Retg\beta \le z \le b,h \le \gamma_{(k)} \le h,0 \le t \le t.$$
(3)

(который для стеклянных оболочек (или изготовленных из материалов с механическими свойствами, близкими к стеклу) обеспечивает ведение процесса нагрева при минимальном уровне напряженного состояния в каждый момент времени [11]).

Приведенная задача оптимизации сводится к нахождению экстремалей функционала (3) на множестве допустимых функций T^* , $\sigma_{1,k}$, $\sigma_{2,k}$, которые удовлетворяют условиям (1). (2), а также соответствующим уравнениям термомеханики (связывающим механические напряжения с температурным полем) и заданным начальным и граничным тепловым и механическим условиям.

Методику решения такой оптимизационной задачи строим на основе обобщения известной методики оптимизации режимов нагрева для кусочнооднородной оболочки [5], которая состоит из частей одинаковой геометрии. В упомянутой методике для реализации этапа поиска условного минимума функционала (3) используем метод локальных вариаций [15] в пространстве состояний функции управления. Такой способ оптимизации состоит из двух итерационных процессов: процесса варьирования значения функции управления $\mathcal{T}^* \equiv \left\{ f(t_i) \right\}$ в дискретные моменты времени при фиксированном шаге варьирования δ и процесса дробления этого шага.

В приближениях искомую функцию управления $f_{n-1}(t_i)$ выбираем так, чтобы выполнялись условия (1) и ограничения (2). При этом необходимо иметь решение прямой задачи, т.е. иметь значение температуры и напряжений при заданных условиях теплообмена. Выполнение ограничений (2) осуществляется путем сравнения компонент напряжений, определенных

численно-аналитическим методом с прямой задачи, с заданными. Для определения последующего приближения функции управления $f_n(t_i)$ необходимо для трех значений $f_{n-1}(t_i)\pm\delta_{n-1},\ f_{n-1}(t_i)$ этой функции (полученной в предыдущем приближении) вычислить с использованием решения прямой задачи значения критерия оптимальности (3). Шаг δ_{n-1} варьирования (достаточно малое положительное число, постоянное для конкретного n) при n=2 принимаем практически равным максимальному градиенту функции управления в начальном приближении. За искомую функцию $f_n(t_i)$ выбираем ту, для которой значение критерия (3) является минимальным и выполняются условия (1), (2).

Последующие приближения функции управления получаются с использованием предыдущего алгоритма с делением шага $\delta_n = \delta_{n-1}/2$, n=2,3,4,... Итерационный процесс продолжается до выполнения следующего условия:

 $\{f_{n+1}(t_i)\} - \{f_n(t_i)\} \le \varepsilon \tag{4}$

где ϵ –заданная малая величина, $\epsilon << \delta_0$.

Поиск условного минимума функционала (3) минимума максимальных пормальних напряжений осуществляем путем сравнения напряжений в области изменения γ,z (у фиксированных сечениях по оси z с выбранным шагом $\Delta z = 0,001\,\mathrm{m}$ и шагом $\Delta \gamma = 0,002\,\mathrm{m}$ по координате γ), которые вычисляем при известном температурном полс. Сечение $z=z_*=\mathrm{const}$. в котором напряжения являются максимальными, назовем рассчетным.

Область поиска условного минимума функционала (3) существенно сужается (т.е. значительно уменьшаем необходимое количество решений прямых задач в области изменений γ,z) при использовании в алгоритме оптимизации упомянутого рассчетного сечения, значение координаты которого находим численно, анализируя распределение напряжений в составных частях оболочки при нулевом приближении функции управления. Его принимаем фиксированным для конкретного δ при всех последующих вариациях и угочняем при изменении δ (дроблении шага по δ) на основании уже известной функции управления для предыдущего δ .

Для предложенного итерационного алгоритма оптимизации существенным является выбор начального приближения значений функции управления, который определяет сходимость итерационного процесса. Для построения такого приближения разработан итерационный алгоритм, в котором в качестве исходной функции управления использована оптимальная (по напряжениям) температура внешней поверхности при конвективном нагреве однородной сферической оболочки [6] с последующим ее уточнением методом локальных вариаций.

В приведенном алгоритме оптимизации для определения начального и k –го приближения функции управления используется решение прямой задачи. Отметим, что такая задача может быть сформулирована на основании

произвольной термомеханической теории. Известно [16], что с изменением температуры границах, рассматриваемых в работе температур $(0^{\circ}C - 460^{\circ}C)$, коэффициенты линейного теплового расширения (КЛТР) разных технических стеклянных материалов, что используются в электровазначительно изменяются, а производстве, температуропроводности, Пуассона и модуль Юнга практически являются постоянными [1]. Изменение КЛТР значительно влияет на термоупругое состояние [1] кусочно-однородных стеклянных конструкций. Поэтому в рассматриваемой задаче для описания полей температуры и напряжений будем исходить из теории несвязанной термоупругости при зависимых от температуры КЛТР [12]. При этом, температурное поле в оболочке описывается следующим уравнением теплопроводности:

$$\frac{\partial^2 T_k}{\partial \gamma_{(k)}^2} + P_k^2 T_k = -\frac{Q_{*k}}{\lambda_k} \tag{5}$$

при начальном условии

$$T_k(z,\gamma_{(k)},0) = T_{in}(z,\gamma_{(k)}) \equiv \text{const}$$
(6)

и тепловых условиях на внешней и внутренней поверхностях оболочки соответственно

$$T_k(z,\gamma_{(k)},t) = T_k^+(z,t)$$
 при $\gamma_{(k)} = h$
$$\frac{\partial T_k}{\partial \gamma_{(k)}} + H_k^-(T_k - T_e) = 0$$
 при $\gamma_{(k)} = -h$ (7)

THE
$$P_k^2 = \Delta_k - \frac{1}{a_k} \frac{\partial}{\partial t}, \Delta_1 = \frac{1}{s \cos \phi} \left[\frac{\partial}{\partial s} \left(s \cos \phi \frac{\partial}{\partial s} \right) \right], \quad \Delta_2 = \Delta_3 = \frac{\partial^2}{\partial z^2}$$
 (8)

$$z = \left(\frac{R}{\sin\beta} - s\right)\cos\beta$$
 (для конической части оболочки), $Q_{*k}(z,\gamma_{(k)}\mathcal{I})$ — плотность

источников тепла, a_k , λ_k — коэффициенты температуропроводности и теплопроводности составных частей, H_k^- — относительный коэффициент теплоотдачи поверхности $\gamma_{(k)} = -h$, $T_c(t)$ — температура внутри среды $\gamma_{(k)} < R - h$. Отметим, что плотность источников является заданной функцией.

Примем, что в областях контакта разнородных частей оболочки выполняются условия идеального теплового и механического сопряжения [13]:

$$T_k = T_{k+1}; \lambda_k \frac{\partial T_k}{\partial \xi} = \lambda_{k+1} \frac{\partial T_{k+1}}{\partial \xi}$$
 при $z = 0, z = c$ (9)

$$\vec{u}_{k} = \vec{u}_{k+1}, \vec{\sigma}_{E,k} = \vec{\sigma}_{E,k+1} \text{ при } z = 0, z = c$$
 (10)

где \vec{u} — вектор перемещения; $\vec{\sigma}_{\xi k}$ — вектор напряжений, $\vec{\xi}$ — внешняя нормаль к плоскости сечения одной из контактирующих оболочек.

Механические граничные условия могут соответствовать как заданным

напряжениям, так и перемещениям или иметь смешанный характер [6, 12, 13].

Для получения приближенного решения задачи теплопроводности, удобного для использования в используемом алгоритме оптимизации, аппроксимируем распределение температуры по толщинной координате $\gamma_{(k)}$ кубическим полиномом вида

$$T_{(k)}(z,\gamma_{(k)},t) = \sum_{i=1}^{k} b_{i-1,k}(z,t)\gamma_{(k)}^{i-1}$$
(11)

Функции $b_{i-1,k}(z,t)$ выразим через усредненные характеристики температурного поля по толщине оболочки [14]

$$T_{p,k} = \frac{2p-1}{2h^p} \int_{-h}^{h} T_k \gamma_{(k)}^{p-1} d\gamma_{(k)}, \quad p = 1,2$$
 (12)

и заданные граничные условия. Уравнение для определения усредненных характеристик $T_{p,k}$ получим, умножив уравнение теплопроводности (5) на $\gamma_{(k)}^{p-1}$ и проинтегрировав по этой координате с учетом соотношений (12). При этом для усредненных характеристик $T_{1,k}$, $T_{2,k}$ получаем следующие системы уравнений при конвективном теплообмене:

$$\left(\Delta_{k} - \frac{1}{a_{k}} \frac{\partial}{\partial t}\right) T_{1,k} - 2R_{1,k}^{*} T_{1,k} - 2R_{2,k}^{*} T_{2,k} = -W_{1,k} - 3\left(R_{4,k}^{*} T^{+} + R_{5,k}^{*} T_{c}^{-}\right)$$

$$\left(\Delta_{k} - \frac{1}{a_{k}} \frac{\partial}{\partial t}\right) T_{2,k} - 6R_{3,k}^{*} T_{2,k} - 6R_{2,k}^{*} T_{1,k} = -W_{2,k} - 15\left(R_{7,k}^{*} T^{+} - R_{6,k}^{*} T_{c}^{-}\right)$$

$$(13)$$

и теплоизоляции:

$$\left(\Delta_{k} - \frac{1}{a_{k}} \frac{\partial}{\partial t}\right) T_{1,k} - 2/h^{2} T_{1,k} - 5/(3h^{2}) T_{2,k} = -W_{1,k} - 2/h^{2} T^{+}$$

$$\left(\Delta_{k} - \frac{1}{a_{k}} \frac{\partial}{\partial t}\right) T_{2,k} - 5/h^{2} T_{1,k} - 20/(3h^{2}) T_{2,k} = -W_{2,k} - 5/h^{2} T^{+}$$
(14)

где

$$\begin{split} R_{1,k}^{\star} &= 3\frac{\left(3 + Bi_{k}^{-}\right)}{h^{2}R_{8,k}^{\star}}; \ R_{2,k}^{\star} = \frac{1.5}{2h^{2}R_{8,k}^{\star}}; \ R_{3,k}^{\star} = -5\frac{\left(2 + Bi_{k}^{-}\right)}{h^{2}R_{8,k}^{\star}}; \ R_{4,k}^{\star} = \frac{\left(6 + Bi_{k}^{-}\right)}{h^{2}R_{8,k}^{\star}}; \\ R_{5,k}^{\star} &= \frac{Bi_{k}^{-}}{h^{2}R_{8,k}^{\star}}; \ R_{6,k}^{\star} = R_{5,k}^{\star}; \ R_{7,k}^{\star} = \frac{\left(6 + Bi_{k}^{-}\right)}{h^{2}R_{8,k}^{\star}}; \ R_{8,k}^{\star} = 9 + 2Bi_{k}^{-} \end{split}$$

 $Bi_k^- = H_k^{-1}h$ — коэффициент Био, H_k^- — относительный коэффициент теплоотдачи с боковой поверхности $\gamma_{(k)} = -h$,

$$W_{1,k} = \frac{1}{2h} \int_{-h}^{h} W_k(z, \gamma_{(k)}, t) d\gamma_{(k)}, \quad W_k = \lambda_k^{-1} Q_{*k}(z, \gamma_{(k)}, t)$$

$$W_{2,k} = \frac{1}{2h} \int_{-h}^{h} W_k(z,\gamma_{(k)},t) d\gamma_{(k)}$$

Неизвестные коэффициенты $b_{i-1,k}$ аппроксимирующего полинома (11) определяем из системы уравнений, которую получаем непосредственно подстановкой представлений (11) в существующие граничные условия и соотношения (12). Эти коэффициенты имеют следующий вид соответственно для конвективного теплообмена и теплоизоляции:

$$b_{0,k} = \left[1 + \frac{h^2}{3}R_{1,k}^*\right] T_{1,k} + \frac{h^2}{3}R_{2,k}^* T_{2,k} - \frac{h^2}{2} \left(R_{4,k}^* T^* + R_{5,k}^* T_c^-\right)$$

$$b_{1,k} = \frac{3h}{5}R_{2,k}^* T_{1,k} + \left[\frac{1}{h} - \frac{3h}{5}R_{3,k}^*\right] T_{2,k} - \frac{3h}{2} \left(R_{7,k}^* T^* - R_{6,k}^* T_c^-\right)$$

$$b_{2,k} = -R_{1,k}^* T_{1,k} - R_{2,k}^* T_{2,k} + \frac{3}{2} \left(R_{4,k}^* T^* + R_{5,k}^* T_c^-\right)$$

$$b_{3,k} = -\frac{1}{h}R_{2,k}^* T_{1,k} + \frac{1}{h}R_{3,k}^* T_{2,k} + \frac{5}{2h} \left(R_{7,k}^* T^* - R_{6,k}^* T_c^-\right)$$

$$b_{0,k} = \frac{4}{3}T_{1,k} + \frac{5}{18}T_{2,k} - \frac{1}{3}T^*, b_{1,k} = \frac{1}{h} \left[\frac{1}{2}T_{1,k} + \frac{5}{3}T_{2,k} - \frac{1}{2}T^*\right]$$

$$b_{2,k} = \frac{1}{h^2} \left[T^* - T_{1,k} - \frac{5}{6}T_{2,k}\right], b_{3,k} = \frac{1}{h^3} \left[\frac{5}{6}T^* + \frac{5}{6}T_{1,k} - \frac{10}{9}\right]$$
(16)

Используя выражения (11), (12), начальные условия (6) и условия сопряжения (9), получаем, что условия (6), (9) эквивалентны следующим условиям на функции $T_{1,k}$, $T_{2,k}$:

$$T_{1.k} = T_{in}, \ T_{2.k} = 0, \ \frac{\partial T_{1.k}}{\partial t} = 0, \ \frac{\partial T_{2.k}}{\partial t} = 0 \ \text{при } t = 0$$
 (17)

$$T_{1,k} = T_{1,k+1}, \ T_{2,k} = T_{2,k+1}, \ \lambda_k \frac{\partial T_{1,k}}{\partial \xi} = \lambda_{k+1} \frac{\partial T_{1,k+1}}{\partial \xi}$$

$$\lambda_k \frac{\partial T_{2,k}}{\partial \xi} = \lambda_{k+1} \frac{\partial T_{2,k+1}}{\partial \xi} \text{ при } t = 0$$
(18)

осесимметричных

задачах

уравнения

где $\ddot{\xi}$ – внешняя нормаль к поверхности сечения одной из контактирующих оболочек.

теглопроводности и термомеханики удобно записать в канонических координатах [6]. Тогда $\Delta_1 = \Delta_2 = \Delta_3 = \Delta \equiv \frac{1}{r} \frac{\partial}{\partial s} \left(r \frac{\partial}{\partial s} \right), \ A_1 = 1, \ A_2 = r(s),$ где r(s) — радиус поперечного сечения оболочки, т.е. радиус параделли; s —

r(s) — радиус поперечного сечения оболочки, т.е. радиус паралелли; s — длина меридиана, что отсчитывается от вершины конической оболочки, причем $0 \le s \le R/\sin\beta$ для конической части, а $s = R/\sin\beta + z$ для

В

рассматриваемых

цилиндрической. Здесь A_1 , A_2 -коэффициенты первой квадратической формы срединной поверхности. Выражение для $\Delta_k(k=\overline{1,3})$ получим. подставляя $r(s)=s\cos\phi$ для конической части оболочки и r(s)=R-для цилиндрической.

Система уравнений (13), (14) в канонических координатах r, s будет системой дифференциальных уравнений второго порядка в частных производных. Для определения ее решения используем метод сеток при безусловно устойчивой неявной разностной схеме [7]. Пространственновременную область изменения независимых величин s, t разобьем сеткой на прямоугольники с шагом Δs по меридиональной координате s и шагом Δt по времени t . Непрерывное распределение функций $T_{1,k}$, $T_{2,k}$ в этой области заменим дискретными значениями узлах дифференциальных уравнений в частных производных аппроксимируется конечно-разностными выражениями с порядком ошибки $O(\Delta s^2 + \Delta t)$, а начальные и граничные условия – с порядком погрешности $O(\Delta s)$. Эти точек дискретизации составляют систему выражения для всех алгебранческих уравнений для определения величин $T_{1,k}(s_n t_m), T_{2,k}(s_n t_m)$ на каждом временном слое. Сетка описана следующими зависимостями: $s_n = n \cdot \Delta s$, $t_m = m \cdot \Delta t$, $0 \le n \le N$, $0 \le m \le M$, где $N \cdot M$ – избранное количество узлов соответственно по координате s с шагом Δs и времени t с шагом Δt .

Используя дискретные значения интегральных характеристик, на основании соотношений (11), (15), (16) определяем температуру в узлах сетки. Потом, исходя из структуры общих решений ключевых уравнений механики для конической и цилиндрической оболочек [6, 12, 13], а также аппроксимаций температурной зависимости коэффициента температурного расширения при помощи кусочно-линейных функций [7], определяем дискретные значения ключевых функций, усилий, моментов и напряжений для каждого узла S_n , t_m .

Во многих случаях кусочно-однородные стеклянные оболочки материалов близкими теплофизическими С изготавливаются из характеристиками. Для одинаковой толщины оболочек при независимых от координаты з источниках тепла могут буть построены эффективные режимы целевого нагрева однородной температурой внешней среды (которая зависит только от времени t). В этом случае изменение температуры внешней среды, и как следствие температуры внешней поверхности, вдоль меридиональной координаты з незначительно и им можно пренебречь. Поэтому можно принять, что температура в каждой составной части оболочки является функцией толщины $\gamma_{(k)}$ и времени t, а перемещения и напряжения функциями времени и координат $\gamma_{(k)}$, s. При этом, значительно упрощается решение прямых задач при незначительной погрешности значений оптимальной температуры внешней поверхности. В этом случае системы дифференциальных уравнений (13), (14) будут системами обыкновенных дифференциальных уравнений первого порядка с постоянными коэффициентами, т.е.:

$$\frac{dT_{1,k}}{dt} + 2a_k R_{1,k}^* T_{1,k} + 2a_k R_{2,k}^* T_{2,k} = a_k W_{1,k} + 3a_k (R_{4,k}^* T^* + R_{5,k}^* T_c^-)
\frac{dT_{2,k}}{dt} + 6a_k R_{2,k}^* T_{1,k} + 6a_k R_{3,k}^* T_{2,k} = a_k W_{2,k} + 15a_k (R_{7,k}^* T^* - R_{6,k}^* T_c^-)$$
(19)

$$\frac{dT_{1,k}}{dt} + \frac{2a_k}{h^2} T_{1,k} + \frac{5a_k}{3h^2} T_{2,k} = a_k W_{1,k} + \frac{2a_k}{h^2} T^+
\frac{dT_{2,k}}{dt} + \frac{5a_k}{h^2} T_{1,k} + \frac{20a_k}{3h^2} T_{2,k} = a_k W_{2,k} + \frac{5a_k}{h^2} T^-$$
(20)

Решение такой системы можно найти более эффективно методом наименьших квадратов [10] при конечно-элементной аппроксимации функции $T^*(t)$ (в сравнении с вышеизложенным разностным относительно затрат машинного времени и оперативной памяти компьютера). При этом существенно упрощается процедура численного определения параметров термонапряженного состояния составной оболочки (процедура получения решения прямой задачи), которая используется в предложенном алгоритме оптимизации. В данном случае системы дифференциалных уравнений (19). (20) для определения температуры в операторном виде запишутся:

$$Au = f \tag{21}$$

где $u = (T_{1,k}, T_{2,k})^T$, $f = (f_{1,k}, f_{2,k})^T$, A—соответствующий дифференциальный оператор, $f_{1,k}$, $f_{2,k}$ —правые части систем (19), (20), символом "T" обозначены транспонированные матрицы. Тогда нахождение решения систем сводится к минимизации функционала

$$I(u) = \int_{0}^{t} (Au - f)^{r} (Au - f) dt$$
 (22)

В результате получаем систему линейных алгебраических уравнений относительно неизвестных значений функций $T_{1,k}^i$, $T_{2,k}^i$ в узлах разбиения интервала $0 \le t \le t_*$ точками $t_i = it_*/N$, $i = \overline{1,N-1}$ на N-1 элемент, которую решаем методом Гаусса в модификации Холесского. Имея значения усредненной температуры $T_{1,k}^i$ и температурного момента $T_{2,k}^i$, с помощью соотношений (11), (15), (16) вычисляем температуру для момента времени t_i в произвольной точке оболочки.

В рассматриваемой осесимметричной задаче для свободной от внешней силовой нагрузки составной оболочки напряженное состояние характеризуется осевыми $\sigma_{1,k}$ и кольцевыми $\sigma_{2,k}$ температурными

напряжениями, которые связаны с усилиями $N_{1,k}$, $N_{2,k}$ и изгибающими моментами $M_{1,k}$, $M_{2,k}$ соотношениями [6]:

$$\sigma_{1,k} = \frac{1}{2h} \left(N_{1,k} + 3M_{1,k} \frac{\gamma_{(k)}}{h^2} \right) + \frac{E_k}{1 - \nu} \left(e_{t,k} + \frac{\gamma_{(k)}}{h} e_{t,k} - \Phi_k \right)$$

$$\sigma_{2,k} = \frac{1}{2h} \left(N_{2,k} + 3M_{2,k} \frac{\gamma_{(k)}}{h^2} \right) + \frac{E_k}{1 - \nu} \left(e_{t,k} + \frac{\gamma_{(k)}}{h} e_{t,k} - \Phi_k \right)$$

$$\text{The } e_{t,k} = \frac{1}{2h} \int_{-h}^{h} \Phi_k d\gamma_{(k)}, \quad e_{t,k} = \frac{3}{2h^2} \int_{-h}^{h} \gamma_{(k)} \Phi_k d\gamma_{(k)}, \quad \Phi_k(t) = \int_{T_0}^{T_0} \alpha_{t,k} (\xi) d\xi - \text{ cym}$$

марные чисто тепловые деформации; E_k -модуль упругости составных частей.

Для конической части оболочки эти усилия и моменты определяем с известного ключевого уравнения [9]. При этом они имеют следующий вид:

$$\begin{split} N_1^{(1)} &= c_1(\tau) \frac{4}{\xi^2} \bigg(\text{ber } \xi - \frac{2}{\xi} \text{bei}' \ \xi \bigg) + c_2(\tau) \frac{4}{\xi^2} \bigg(\text{-bei } \xi - \frac{2}{\xi} \text{ber}' \ \xi \bigg) \\ N_2^{(1)} &= c_1(\tau) \bigg(\frac{2}{\xi} \text{ber}' \ \xi - \frac{4}{\xi^2} \text{ber } \xi + \frac{8}{\xi^3} \text{bei}' \ \xi \bigg) + \\ &+ c_2(\tau) \bigg(-\frac{2}{\xi} \text{bei}' \ \xi + \frac{4}{\xi^2} \text{bei } \xi + \frac{8}{\xi^3} \text{ber}' \ \xi \bigg) \bigg) \\ M_1^{(1)} &= c_1(\tau) \bigg\{ -\frac{2h}{c_0} \bigg[(\nu - 1) \bigg(-\frac{4}{\xi^2} \text{bei } \xi - \frac{8}{\xi^3} \text{bei}' \ \xi \bigg) - \frac{2}{\xi} \text{bei}' \ \xi \bigg] \bigg\} + \\ &+ c_2(\tau) \bigg\{ \frac{2h}{c_0} \bigg[(\nu - 1) \bigg(\frac{4}{\xi^2} \text{ber } \xi - \frac{8}{\xi^3} \text{bei}' \ \xi \bigg) + \frac{2}{\xi} \text{ber}' \ \xi \bigg] \bigg\} - \frac{(1 + \nu)}{h} D_1^{(1)} e_L^{(1)} \\ M_2^{(1)} &= c_1(\tau) \bigg\{ -\frac{2h}{c_0} \bigg[(1 - \nu) \bigg(-\frac{4}{\xi^2} \text{bei } \xi - \frac{8}{\xi^3} \text{bei}' \ \xi \bigg) + \frac{2\nu}{\xi} \text{bei}' \ \xi \bigg] \bigg\} + \\ &+ c_2(\tau) \bigg\{ \frac{2h}{c_0} \bigg[(1 - \nu) \bigg(\frac{4}{\xi^2} \text{ber } \xi - \frac{8}{\xi^3} \text{bei}' \ \xi \bigg) + \frac{2\nu}{\xi} \text{ber}' \ \xi \bigg] \bigg\} - \frac{(1 + \nu)}{h} D_1^{(1)} e_L^{(1)} \\ Q_1^{(1)} &= N_1^{(1)} \text{tg} \phi \\ \\ \Gamma \text{де } \xi &= \sqrt{\frac{c_0 \text{ctg} \beta}{2h}} s \ ; \ D_1^{(k)} = \frac{2E^{(k)} h^3}{3(1 - \nu^2)} - \text{изгибная жесткость, } \phi - \text{угол между} \\ \text{нормалью и осью вращения, } \beta &= \pi/2 - \phi \ ; \text{ ber} \xi \ , \text{ bei} \xi \ , \text{ ber}' \xi \ , \text{ bei'} \xi - \\ \phi \text{ункции Кельвина и их производные: } c_1(t), \ c_2(t) - \text{постоянные инте-} \end{split}$$

грирования (функции времени); $\mu = \sqrt{\frac{c_0^2 R^2}{4h^2} - v^2} \approx \frac{c_0 R}{2h}$; $c_0^2 = 12(1 - v^2)$: $v - \kappa o \Rightarrow \phi \phi$ ициент Пуассона.

Примем, что на краю цилиндрической оболочки $z=l_{\rm i}+l_{\rm 2}\,$ выполняются условия жесткого защемления

$$N_{1,3} = 0, \ \frac{\partial W_{0,3}}{\partial x} = 0, \ W_{0,3} = e_{i,3}$$
 (25)

а в сечениях сопряжения разнородных частей составной оболочки-условия идеального механического сопряжения, которые в усилиях и моментах запишутся [9]:

$$N_{R} = N_{1,1} \cos \varphi + Q_{1,1} \sin \varphi = Q^{(2)}; M_{1,1} = M_{1,2}; \theta^{(1)} = \theta^{(2)}; Q^{(2)} = Q^{(3)}$$

$$u_{R} = R \left\{ \frac{N_{2,1} - vN_{1,1}}{2E_{1}h} \right\} = W^{(2)}; M_{1,2} = M_{1,3}; \theta^{(2)} = \theta^{(3)}; W^{(2)} = W^{(3)}$$
(26)

где N_R , u_R — радиальные усилия и перемещения в конической оболочке: $\theta^{(k)}$ — угол поворота нормали к срединной поверхности; $x=a_1z/R$. $a_1^4=3(1-v^2)/4h^2$, $W_{0,k}=W^{(k)}$ / R — прогиб цилиндрической оболочки.

Напряженное состояние цилиндрической части характеризуется отличным от нуля усилием $N_{2,k}$, изгибающими моментами $M_{1,k}$, $M_{2,k}$ и перерезывающими силами $Q^{(k)}$, где

$$N_{2,k} = D_{0,k} \left(\widetilde{W}_{0,k} - e_{t,k} \right)$$

$$M_{1,k} = -\frac{D_{1,k}}{h} \left[\frac{a_1^2 h}{R} \frac{\partial^2 W_{0,k}}{\partial x^2} + (1 + v)e_{t,k} \right]$$

$$M_{2,k} = -\frac{D_{1,k}}{h} \left[\frac{v a_1^2 h}{R} \frac{\partial^2 W_{0,k}}{\partial x^2} + (1 + v)e_{t,k} \right]$$

$$Q^{(k)} = -D_{1,k} \frac{a_1^3}{R^2} \frac{\partial^3 W_{0,k}}{\partial x^3}$$
(27)

Здесь k=2,3; $D_{0,k}=2E_kh$ – жесткость на растяжение. $W_{0,k}$ – функция прогибов, что удовлетворяет известному дифференциальному уравнению [6,13]

$$\frac{\partial^4 W_{0,k}}{\partial x^4} + 4 (W_{0,k} - e_{t,k}) = 0 {(28)}$$

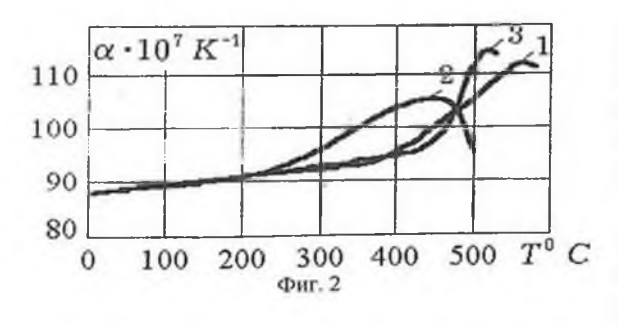
При известных $e_{t,k}$ решение этого уравнения запишется следующим образом:

$$W_{0,k}(x,t) = K_{1,k}(t)e^{x}\cos x + K_{2,k}(t)e^{x}\sin x + K_{3,k}(t)e^{-x}\cos x + K_{4,k}(t)e^{-x}\sin x + e_{t,k}$$
(29)

Неизвестные функции времени $K_{i,k}(i=\overline{1,4})$ и $c_j(j=1,2)$, которые входят в (29) и выражения для усилий и моментов конической оболочки (24), определяются в каждый момент времени из условий механического сопряжения (26) и граничных условий (25).

В качестве примеров найдены оптимальные по напряжениям режимы однородного нагрсва внешней средой и заданными источниками тепла (постоянной плотности) свободной от силового нагружения оболочки длиной 2R, состоящей из кусочно-однородной цилиндрической части с радиусом R=0,125" и толщиной 0,007", гладко сопряженной с круговой конической оболочкой (фиг. 1). Оболочка изготовлена из материала со следующими физико-механическими характеристиками [1]:

$$E_1 = 65,4\ \Gamma\Pi a;$$
 $E_2 = 75,6\ \Gamma\Pi a;$ $E_3 = 63,3\ \Gamma\Pi a$
$$\lambda_1 = 1,63\ \text{Bt/(mK)};$$
 $\lambda_2 = 0,065\ \text{Bt/(mK)};$ $\lambda_3 = 0,74\ \text{Bt/(mK)}$
$$c_1 = 795\ \text{Дж/(кгK)};$$
 $c_2 = 339\ \text{Дж/(кгK)};$ $c_3 = 736\ \text{Дж/(кгK)}$
$$\rho_1 = 2560\ \text{kg/m}^3.$$
 $\rho_2 = 4080\ \text{kg/m}^3:$ $\rho_3 = 2800\ \text{kg/m}^3$
$$v_1 = v_2 = v_3 = v = 0,215$$



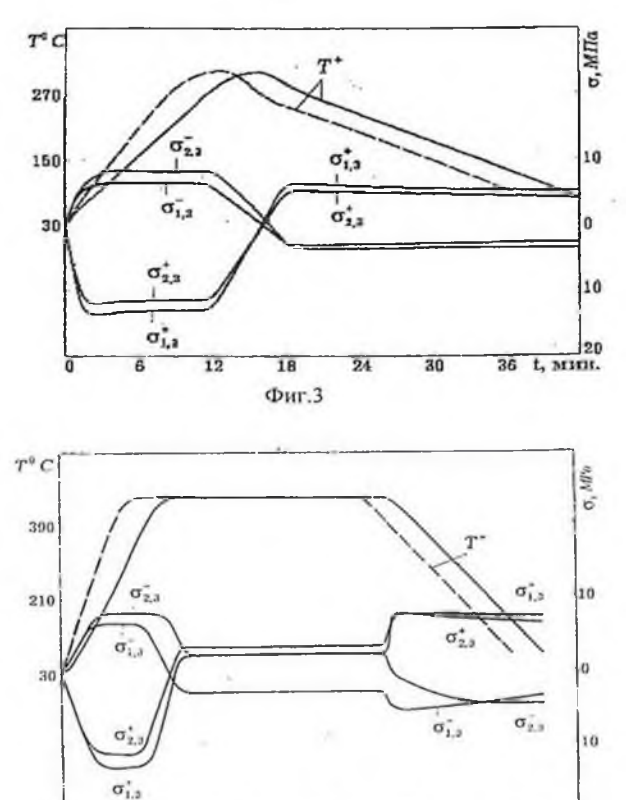
Зависимость коэффициентов линейного теплового расширения от температуры для составных частей оболочки 1-3 приведена па фиг. 2.

На основании проведенных численных исследований путем сравнения величин напря-

жений в сечениях оболочки установлено, что максимальные температурные напряжения в этом случае возникают в зоне сопряжения разнородных частей цилиндрической оболочки и расчетным является сечение с координатой x=0.551.

Изменение во времени оптимальной температуры такой составной оболочки при теплоизоляции на внутренней поверхности (вычислена по

допустимым растягивающим напряжениям на внутренней и внешней поверхностях, соответственно, равным 9Мпа и 7 Мпа) показано на фиг. 3, а при конвективном теплообмене (определена по допустимым растягивающим напряжениям на внутренней и внешней поверхностях, равным 9Мпа) на фиг.4.



Сплошными линиями изображено изменение во врсмени оптимальной температуры $T^+(t)$ и температурных напряжений на внешней σ^+ и внутренней σ^- новерхностях оболочки при отсутствии источников тепла. При нагреве от начальной температуры до максимальной растягивающие температурные напряжения возникают на внутренней поверхности оболочки, а при охлаждении - на внешней. При этом на внутренней поверхности расчетными являются кольцевые, а на внешней –меридиональные

Фиг. 4

20

40

температурные напряжения. На фигуре штриховой линией изображено изменение оптимальной температуры в том же сечении при воздействии постоянных источников тепла мощностыю 10^5 вт/м 3 (при тех же допустимых растягивающих температурных напряжениях на поверхностях равных соответственно 9Мпа и 7Мпа , а при конвективном теплообмене 9Мпа).

Исследования показали, что использование дополнительного подогрева указанными источниками тепла в рассматриваемом случае позволяет сократить на 25% -30% продолжительность режима нагрева в сравнении с режимом, в котором используется только конвективный нагрев, при той же максимальной температуре нагрева и тех же допустимых максимальных значениях компонент тензора напряжений. Для значений $30^{\circ} \le \phi_{*} \le 90^{\circ}$ (через ϕ_{*} обозначен угол между осью вращения и нормалью к внешней основе, проведенной через крайнее сечение конической части оболочки) оптимальные режимы толщинного нагрева такой оболочки практически не отличаются от режимов нагрева составной оболочки, где коническая часть заменена цилиндрической длиной Rctgß.

Разработаная методика позволяет определить и исследовать оптимальные режимы нагрева конкретных оболочек, что состоят из элементов разной геометрической формы, выбрать рациональные параметры дополнительных источников подогрева, которые позволяют значительно сократить продолжительность термообработки. Отметим, что режимы термообработки, изображенные на фиг. 3, 4, могут использоваться соответственно при общей термообработке, отжиге (с целью понижения уровня остаточных напряжений), склейке с использованием ситаллоцемента и дегазации.

ЛИТЕРАТУРА

- 1. Барановський В.И., Гусев Б.Н., Иванов В.Н. и др. Производство цветных кинескопов/ Под ред. В.И. Барановского. М.: Энергия, 1978. 368 с.
- 2. Будз С.Ф., Гачкевич Н.Г. Оптимизация термообработки кусочнооднородных оболочек ЭЛП с учетом температурной зависимости характеристик материала// Физ.-хим. механика материалов. 1987. № 5. С. 111-113.
- 3. Бурак Я.Й, Гачкевич О.Р., Терлецький Р.Ф. Термомеханіка тіл низької електропровідності при дії електромагнітного випромінювання ніфрачервоного діапазону// Доп. АН УРСР. Сер. А. 1990. № 6. С. 31-42.
- 4. Васильев Ф.П. Методы решения экстремальных задач. М.: Наука, 1981. 400с.

- Гачкевич А.Р., Гачкевич Н.Г. Оптимальный нагрев вненней средой кусочно-однородных оболочек вращения при наличии внутренних источников тепла// Прикладная механика. 1995. 31. № 11. С. 51-57.
- 6. Григолюк Э.И., Подстригач Я.С., Бурак Я.И. Оптимизация нагрева оболочек и пластин. Киев: Наук. думка, 1979. 364 с.
- Калиткин Н.Н. Численные методы. М.: Наука, 1978. 512 с.
- Казарян К.Б., Казарян Р.А. Напряженное состояние упругой токонесущей оболочки, создающей мультипольное магнитное поле.// Сб. Инженернофизические проблемы новой техники. Изд. МГТУ, 1990. С. 161-162.
- 9. Коваленко А.Д. Основы термоупругости. Киев: Наук. думка, 1965. 204 с.
- Норр Д., Фриз Ж. Введение в метод конечных элементов. М.: Мир, 1981.
 304 с.
- 11. Писаренко Г.С., Яковлев А.П., Матвеев В.А. Справочник по сопротивлению материалов. Киев: Наук. думка, 1988. 736 с.
- 12. Подстригач Я.С., Коляно Ю.М., Семерак М.М. Температурные поля и напряжения в элементах электровакуумных приборов. Киев: Наук. думка, 1981. 344 с.
- 13. Подстригач Я.С., Швец Р.Н. Термоупругость тонких оболочек. Киев: Наук. думка, 1978. 320 с.
- 14. Подстригач Я.С., Чернуха Ю.А. Об уравнениях теплопроводности для тонкостенных элементов конструкций// Мат. методы и физ.-мех. поля. 1975. Вып. 2. С. 54-59.
- 15. Черноусько Ф.М., Баничук Н.В. Вариационные задачи механики и управления. М.: Наука, 1973. 225 с.
- 16. Эспе В. Технология электровакумных приборов. М.: Энергия, 1968. Т. 2. 448 с.

Институт прикладных проблем мехапики и математики НАН Украины, Институт механики НАН Армении, Политехника Опольская (Польша).

Поступила в редакцию 21.01.2002

«ИЗВЕСТИЯ НАЦИОНАЛЬНОЙ АКАДЕМИИ НАУК АРМЕНИИ

Մեխանիկա

55, No1, 2002

Механика

ΥΔΚ 539.3

СВОБОДНЫЕ ПОПЕРЕЧНЫЕ КОЛЕБАНИЯ ПРЯМОУГОЛЬНЫХ ОРТОТРОПНЫХ ПЛАСТИН ПЕРЕМЕННОЙ ТОЛЦИНЫ ПРИ УЧЕТЕ ПОПЕРЕЧНЫХ СДВИГОВТ

Геворкян Г.З

Գ.Չ Գևորգյան

Փոփոխական հաստություն ուղղանկյուն օրթուոլուով ասիերի ազատ լայմակաս տատանումների ընդյայնական սահքերի հաշվառմամբ

Հետենյով [1] աշխատանքին, դուրս են բերվել փոփոխական հաստուրյան ուղղամվյուն օրթուտրուպ սայերի շարժման համասարումները և ձևակերպվել համապատասիուն սկզբևական և եզրային պայմանները ընդլայնական ատիրի ղեֆորմացիաննըի հաշվառմամբ։ Որպես օրինան դիտարկում և արերի ազատ լայնական ուղղաների իների իներիր է, երբ արհամարվում են միջին հարթուրյան տանգենցիալ աեղափոխությունները և պոտման իներցիան։ Մեփական համակությունների մոտավոր որոչման հասալ առաջարկեած է Ռիտցի մերումի սխանա, որտեղ լայնական ֆիկտիվ բեռի կատարած աշխատանքի հետ առաջարկվում և նաև ֆիկտիվ իների մոտարած աշխատանքի հետ արածող դիտարկվում և նաև ֆիկտիվ կարությունների արաժանական և փոխական համական է կործումիա համական ուղղանկան և փոխական հասանների խեղվոր եզրերի հողակակությեն հետևան ղեպքում և կարարան արարանական արարանական հետևան ղեպքում և կարարական համական արականական հետևան դեպքում և կարարական արարանական հետևան դեպքում և հարարական արարանական հետևան դեպքում և հարարական արարանաների վերյուծություն

G.Z. Gevorgvan

On Free Transversal Vibrations of Rectangular Orthotropic, Plates of Variable Thickness with taking into Account the Transversal Shears

По авалогии с [1] выволятся уравнения движения примоугольных ортогроппых пластии переменной толицики и формулируются соответ твующие начальные и краевые условия при учете влияния деформация поперечных - двигов. В качестве примера чассматривается задет свободных поперечных колебании възстии ври препебрежении тапточициольных перемещении реданией плоскости и инерции врашения. Для приближенного опродолжных собственных частот плестицки предлагается схема применения метода. Ритца, гле паряду г работоя фиктивной поперечной нагрузки рассматривается чакже работа фиктивных перерамивающих сил. По этой схеме решается задача о свободных поперечили колебаниях парицию опертой властипки линейно-переменной толицины

1. Рассмотрим прямоутольную пластинку переменной толщины \hat{h} из аинейно-упругого материала отонпостотсю-онивникомяци декартовых координат системе X. 1. Z. OCH параллельны главным направлениям ортогронии материала. Координатную влоскость ху совместим с срединной плоскостью пластипки а пов 🗈 направим вертикально вниз. Пусть на пластинку действуют нагрузки, проекции интенсивности которых поверхностные оси, приведенные Координатные единице площади срединной плоскости составляют X^-, Y^-, Z^- . Злесь и в дальнейшем знаками «+» и «-» будем отмечать величины, относящиеся к анцевым поверхностям

^{*1} Работа доложена на VIII всероссийском съезде по прикладной и теоретической механике. [Пермь, 23-29 августа 2001г.]

пластинки z=h/2 и z=-h/2 соответственно. Условия опирания краев пластинки произвольны.

По аналогии с [2] для поперечных касательных напряжений положим

$$\tau_{xz} = \phi_1 + z\phi_2 + z^2\phi_3, \qquad \tau_{yz} = \psi_1 + z\psi_2 + z^2\psi_3$$
 [11]

где ϕ_{τ} и ψ_{τ} – искомые функции только координат x, y.

Дифференциальные уравнения движения сплошной среды имеют вид

$$\frac{\partial}{\partial x} + \frac{\partial}{\partial y} + \frac{\partial}{\partial z} = \rho \frac{\partial^2 u}{\partial t^2} \qquad (x, y, z)$$
(1.2)

где $u_x, \dots =$ напряжения, $u_x, \dots =$ перемещения $\rho =$ плотность материала, t— время, а символ (x, y, z) означает круговую перестановку букв. Ограничиваясь линейностью распределения перемещений по толщине пластицки, можно написать:

$$u_{s} = u - \left(\frac{\partial w}{\partial x} - a_{ss}\phi_{1}\right), \quad u_{s} = v - \left(\frac{\partial w}{\partial y} - a_{ss}\phi_{1}\right), \quad u_{s} = w$$
(1.3)

Здесь u, v, w — перемещения срединной плоскости пластинки, u_u — упругие постоянные материала Компоненты деформации и основных напряжений пластинки определяются с учетом (1.3) из геометрически линейных соотношений и соотношений обобщенного закона Гука [11 соответственно Выражения этих величин, а также внутренних усилий и моментов пластинки совпадают со своими статическими аналогами, в силу чего здесь не приводятся. Если считать, что окружающая среда не оказывает сопротивления на движение пластинки, то со своими статическими аналогами будут совпадать также и условия на лицевых поверхностях пластинки $z = \pm h/2$ [2].

Имея в виду вышесказанное и поступая как обычно, из дифференциальных уравнений движения сплошной среды (1.1) приходим к следующим уравнениям:

$$\frac{\partial X}{\partial x} = \frac{\partial X}{\partial y} + \rho h \frac{\partial Z}{\partial t^{2}}, \qquad \frac{\partial T}{\partial x} = \frac{\partial S}{\partial x} = Y_{2} + \rho h \frac{\partial Z}{\partial t^{2}}$$

$$\frac{\partial N_{y}}{\partial x} = -Z_{2} + \rho h \frac{\partial W}{\partial t}$$

$$\frac{\partial M}{\partial x} = \frac{\partial M_{xy}}{\partial y} = N_{x} - h X_{1} - \frac{\rho h}{12} \left(\frac{\partial W}{\partial x \partial t^{2}} - a_{1} \frac{\partial W}{\partial t} \right)$$

$$\frac{\partial M}{\partial y} = \frac{M_{xy}}{\partial x} - N_{y} - h Y_{1} - \frac{1}{12} \left(\frac{\partial W}{\partial y \partial t} - a_{2} \frac{\partial W}{\partial t} \right)$$

$$(1.4)$$

Здесь T_y, S_{xy}, N_x, N_y и M_x, M_y, M_{yy} —внутренние усилия и моменты пластинки

$$X_1 = (X^+ - X^-)/2, \quad Y_1 = (Y^+ - Y^-)/2, \quad X_2 = X^+ + X^-$$

 $Y_2 = Y^+ + Y^-, \quad Z_3 = Z^+ + Z^-$ (1.5)

Из условий на лицевых поверхностях пластинки z=h/2 для функций ϕ_2,ψ_2 и ϕ_3,ψ_3 получаются известные выражения [2].

Используя формулы внутренних усилий и моментов и имея в виду выражения функций $\varphi_2, \psi_2, \varphi_3, \psi_3$, из уравнения (1-1) получим систему движения дифференциального элемента срединной плоскости:

$$h \left[B_{11} \frac{\partial^{2} u}{\partial x^{2}} + (B_{12} + B_{66}) \frac{\partial^{2} v}{\partial x \partial y} + B_{66} \frac{\partial^{2} u}{\partial y^{2}} \right] + \left[B_{11} \frac{\partial u}{\partial x} + B_{16} \frac{\partial v}{\partial y} \right] \frac{\partial h}{\partial x} + B_{66} \left[\frac{\partial u}{\partial y} + \frac{\partial v}{\partial x} \right] \frac{\partial h}{\partial y} - \rho h \frac{\partial^{2} u}{\partial t^{2}} = -X_{2}$$

$$h \left[B_{22} \frac{\partial^{2} v}{\partial y^{2}} + (B_{12} + B_{66}) \frac{\partial^{2} u}{\partial x \partial y} + B_{86} \frac{\partial^{2} v}{\partial x^{2}} \right] + \left[B_{12} \frac{\partial u}{\partial x} + B_{22} \frac{\partial v}{\partial y} \right] \frac{\partial h}{\partial y} + B_{66} \frac{\partial^{2} u}{\partial x^{2}} + B_{66} \frac{\partial^{2} v}{\partial x^{2}} \right] + \left[B_{12} \frac{\partial u}{\partial x} + B_{22} \frac{\partial v}{\partial y} \right] \frac{\partial h}{\partial y} + B_{66} \frac{\partial^{2} u}{\partial x^{2}} \right] + \left[B_{13} \frac{\partial^{2} u}{\partial x} + B_{22} \frac{\partial h^{2}}{\partial y^{2}} \right] \frac{\partial^{2} u}{\partial y} + 4B_{66} \frac{\partial^{2} h}{\partial x^{2}} \frac{\partial^{2} w}{\partial x^{2}} + B_{66} \frac{\partial^{2} h}{\partial x^{2}} \right] + A_{66} \frac{\partial^{2} h}{\partial x} + B_{66} \frac{\partial^{2} h}{\partial x^{2}} \right] + A_{66} \frac{\partial^{2} h}{\partial x} + B_{66} \frac{\partial^{2} h}{\partial x} \right] + A_{66} \frac{\partial^{2} h}{\partial x} + B_{66} \frac{\partial^{2} h}{\partial x}$$

К уравнениям движения пластинки (1.6) нужно присоединить граничные и начальные условия. При отсутствии сопротивления среды граничные условия совпадают со своими статическими аналогами [2] Начальные же условия можно представить в виде [1]:

при
$$t = 0$$
 $u = u_{i_1}(x, y)$, $v = v_0(x, y)$, $w = w_0(x, y)$
 $\partial u / \partial t = u_1(x, y)$, $\partial v / \partial t = v_1(x, y)$, $\partial w / \partial t = w_1(x, y)$ (1.7)

Здесь u_0, V_0, w_0 и $u_1, V_1, w_2 =$ заданные компоненты цачального перемещения и начальной скорости точек срединной плоскости пластинки соответственно.

2 Рассмотрим задачу о свободных колебаниях пластинки. Задача существенно упрощается в случае поперечных колебаний, когда пренебрегаются как гангенциальные перемещения срединной плоскости пластинки так и влияние инерции вращения. Положив $X^+ = Y^- = 0$, из (1.6) для отмеченного случая получим систему свободных колебаний пластинки [3]. Рассмотрим случай, когда толщина пластинки от координат x, и зависит динейно $-h = h_+ + h_- x + h_- y$

Вдесь h_1, h_1, h_2 — заданные постоянные.

Примем обозначения:

$$x = xa$$
, $y = yb = yam$, $(b = am)$, $h = h_0H$, $B_0 = \alpha$, B_1 , $a_4 = \beta a_5$, a_5 , $B_{11} = \chi$, $\omega^2 = B_1 \Omega^2 / \rho a^2$, $\omega_1 = B_{11} \varphi \cos \omega t$, $w = h_0 f \cos \omega t$ (2.1)
 $\psi_1 = B_{11} \psi \cos \omega t$, $h_0 / a = s$, $\gamma_1 = h_1 / s$, $\gamma_2 = h_3 / s$

Имея в виду (2.1), уравцения свободных поперечных колебаний пластинки (1.6) можно представить в виде

$$\frac{\partial \varphi}{\partial x} + \frac{1}{m} \frac{\partial \psi}{\partial y} + \frac{2}{H} \left(\gamma_1 \varphi + \gamma_2 \psi \right) + \frac{3}{2} s\Omega \quad f = L \left(f, \varphi, \psi \right) = 0$$

$$\frac{\alpha_{12} + 2\alpha_{66}}{m} \frac{\partial^3 f}{\partial x \partial y} + \frac{2}{H} \left[\left(\frac{\partial^2 f}{\partial x^2} + \frac{\alpha_{12}}{m^2} \frac{\partial^2 f}{\partial y^2} \right) \gamma_1 + 2 \frac{\alpha_{66} \gamma_2}{m} \frac{\partial^2 f}{\partial x \partial y} \right]$$

$$= s \left[\frac{\partial \varphi}{\partial x^2} + \frac{\alpha_{12}}{m^2} \frac{\partial \varphi}{\partial y^2} + \frac{\beta}{m} \left(\alpha_{12} + \alpha_{66} \right) \frac{\partial \psi}{\partial x \partial y} \right] - \frac{2\chi}{Hs} \left[\gamma_1 \frac{\partial \varphi}{\partial x} + \alpha_{66} \frac{\gamma_2}{m} \frac{\partial \varphi}{\partial y} + \frac{\beta}{m} \frac{\partial \varphi}{\partial y} \right]$$

$$+\beta \left[\alpha_{12} \frac{\gamma_{+}}{m} \frac{\partial \psi}{\partial y} + \alpha_{66} \gamma_{2} \frac{\partial \psi}{\partial \overline{x}}\right] + \frac{8}{H^{-s}} \phi = L, (f, \phi, \psi) = 0$$

$$\frac{\alpha_{13}}{m} \frac{\partial^{3} f}{\partial y} - \frac{\alpha_{13}}{m} + \frac{2\alpha_{66}}{c x^{2} c y} \frac{\partial^{3} f}{\partial t} - \frac{2}{H} \left[\alpha_{13} \frac{\partial^{2} f}{\partial x} - \frac{\alpha_{12}}{m^{2}} \frac{\partial^{3} f}{\partial y^{2}}\right] + 2 \frac{\alpha_{16} \gamma_{1}}{m} \frac{\partial^{2} f}{\partial x c y}$$

$$-\gamma \left[\beta \left(\frac{\alpha_{13}}{m^{2}} \frac{\partial^{2} \psi}{\partial y^{2}} + \alpha_{66} \frac{\partial^{2} \psi}{\partial \overline{x}^{2}}\right) + \frac{\alpha_{12}}{m} \frac{\alpha_{22}}{m} \frac{\partial^{2} \phi}{\partial x \partial y}\right] - \frac{2\gamma}{Hs} \left[\alpha_{13} + \frac{\partial \phi}{\partial \overline{x}} + \alpha_{66} \frac{\gamma_{1}}{m} \frac{\partial \phi}{\partial y} + \alpha_{66} \frac{\gamma_{1}}{m} \frac{\partial \phi}{\partial y}\right]$$

$$+\beta \left[\alpha_{13} \frac{\gamma_{2}}{m} \frac{\partial \psi}{\partial y} + \alpha_{56} \gamma_{1} \frac{\partial \psi}{\partial x}\right] + \frac{8}{H^{2} s^{3}} \psi = L_{1}(f, \phi, \psi) = 0 \qquad (2.2)$$

Безразморная толщина $H = 1 + \gamma_1 x + \gamma_2 my$.

3 Рассмотрим одну схему приближенного определения собственных частот прямоугольных пластин переменной толщины при учете деформации поперечных сдвигов. Будем пользоваться методом Ритца [4]. Пусть каждая тройка соответствующих членов рядов

$$f = \sum_{i=1}^{n} \sum_{j=1}^{n} A_{ij} f_{ij}(\bar{x}, \bar{y}), \ \phi = \sum_{i=1}^{n} \sum_{j=1}^{n} B_{ij} \phi_{ij}(\bar{x}, \bar{y}), \ \psi = \sum_{j=1}^{n} \sum_{j=1}^{n} C_{ij} \psi_{ij}(\bar{x}, \bar{y})$$

удовлетворяет данным краевым условиям пластинки по не удовлетворяет дифференциальным уравнениям (2.2). Здесь I в произвольные постоянные Имея в виду (1.3) в (2.1), нетрудно убедиться что функции I представляют собой амплитудные значения безразмерных виртуплыших прогибов, а функции B, ϕ , C, ψ , пропорциональны соответствующим амплитулным значениям виртуальных деформаций поперечных двигов гластинки. После подстановки (3.1) в левые части уравнений (2.2) получаются величины, отличные от нуля. Эти величины мождо рассмотреть как некоторую распределенную нагрузку Z, и перерезывающие силы N_{\perp} , N_{\perp} . Нагрузка Z_{\perp} может совершать работу на виртуальных прогибах, а перерезывающие силы N_{\perp} и N_{\perp} на спответствующих виртуальных деформациях поперечных сдвигов

Следуя методу Ригца, приравним нулю работу \overline{Z}_2 и $\overline{N}_1, \overline{N}_1$ на соответствующих виртуальных прогибах и деформациях

$$\iint_{0} \left[L_1(f, \varphi, \psi) \delta f_{ij} + L_2(f, \varphi, \psi) \delta \varphi_{ij} + L_3(f, \varphi, \psi) \delta \psi_{ij} \right] dx dy = 0$$
 (3.2)

Так как вариации δf_a , $\delta \phi_a$, $\delta \psi_a$ произвольны и независимы друг от друга, то из (3.2) следует:

$$\int_{0}^{1} \int_{0}^{1} L_{1}(f, \varphi, \psi) f_{\alpha} d\bar{x} d\bar{y} = 0, \qquad \int_{0}^{1} \int_{0}^{1} L_{2}(f, \varphi, \psi) \varphi_{\alpha} d\bar{x} d\bar{y} = 0$$

$$\int_{0}^{1} \int_{0}^{1} L_{1}(f, \varphi, \psi) \psi_{\alpha} d\bar{x} d\bar{y} = 0, \qquad i = 1, 2, ..., j = 1, 2, ..., k$$
(3.3)

Уравнения [3,3] образуют систему однородных алгебраических липейных уравнений относительно A_q , B_q и C_q . Значения собственных частот поперечных колебаний пластинки можно определить из условия существования нетривиальных решений этой системы, т.е. из условия равенства нулю ее определителя. Конечность числа членов выражения пакладывает определенные ограничения на возможные формы изоплутой пластинки. Это равносильно искусственному повышению жесткости пластинки, в силу чего найденные приближенные значения собственных частот будут выше соответствующих точных значений.

4. В качестве примера рассмотрим задачу о свободных поперечных колебаниях ортогропной пластинки линейно-переменной толщины при шарипрном опираций ее кромок. Граничные услевия берем в виде:

при
$$x = 0$$
, $1 \frac{\partial}{\partial x} - a_{xx} \frac{\partial \phi}{\partial x} = 0$ ($M_{y} = 0$) $\psi = 0$ ($u_{y} = 0$), $f = 0$ ($u = 0$)

при $y = 0$, $1 \frac{\partial}{\partial y} - a_{xx} \frac{\partial \phi}{\partial y} = 0$ ($M_{y} = 0$) $\psi = 0$ ($u_{y} = 0$), $f = 0$ ($u_{y} = 0$) (4.1)

Функции

$$f = \sum_{i=1}^{n} \sum_{j=1}^{k} A_{ij} \sin i\pi x \sin j\pi y, \quad \varphi = \sum_{i=1}^{n} \sum_{j=1}^{n} C \cos i\pi x \sin j\pi y$$

$$\psi = \sum_{i=1}^{n} \sum_{j=1}^{k} C_{ij} \sin i\pi x \cos j\pi y$$
(44.2)

удовлетворяют граничным условиям (4.1).

В табл.1 приведены значения первой безразмерной частоты при $n=k=1,\ \gamma_1=1,\ \gamma_2=0,\ \beta=2,\ \alpha_{12}=0.3,\ \alpha_{11}=2,\ \alpha_{66}=0.4,\ s=0.125$ для различных значений m и χ . В предпоследней строке приведены значения безразмерной частоты для полосы, когла в рядах удерживается один член и получена приближенная аналитическая формула, а в последней строке — точные значения безразмерной частоты для полосы [3].

						Таблиц			
	7.								
m	0	1	2	5	10	20			
1	1.235	1.128	1.047	0.8852	0.7355	0.5837			
5	0.5628	0.5496	0.5373	0.5049	0.4622	0.4019			
10	0.5442	0.5323	0.5212	0.4916	0.4519	0.3948			
20	0.5396	0.5280	0.5172	0.4883	0.4493	0.3930			
100	0.5381	0.5267	0.5159	0.4872	0.4484	0.3924			
20	0.5381	0.5267	0.5159	0.4872	0.4484	0.3924			
Точн. реш	0.5140	0.5040	0.4945	0.4690	0.4341	0.3827			

В табл. 2 приведены значения ω_{11} при n=k=1 для различных значений m, χ и $\gamma_1=0;1, \gamma_2=0;1$.

							Таблица2
	χ	0	1	2	5	10	20
	$\gamma_1 = 0$, $\gamma_2 = 0$	0.8121	0.7790	0.7499	0.6806	0.6010	0.5046
m = 1	$\gamma_1 = 1, \gamma_2 = 0$	1.235	1.128	1.046	0.8852	0.7355	0.5836
	$\gamma_1 = 0, \gamma_2 = 1$	1.235	1.128	1.046	0.8852	0.7355	0.5836
	$\gamma_1 = 1, \gamma_2 = 1$	1.650	1.419	1.270	1.0162	0.8122	0.6242
	$\gamma_1 = 0, \gamma_2 = 0$	0.4609	0.4534	0.4463	0.4271	0.4003	0.3600
m = 2	$\gamma_1 = 1, \gamma_2 = 0$	0.7001	0.6746	0.6519	0.5967	0.5311	0.4485
	$\gamma_1 = 0, \gamma_2 = 1$	0.9477	0.8871	0.8378	0.7309	0.6214	0.5010
	$\gamma_1 = 1, \gamma_2 = 1$	1.178	1.068	0.9864	0.8261	0.6790	0.5312

Данные таблиц приводят к следующим заключениям:

- Учет поперечных сдвигов приводит к уменьшению частоты.
- 2. Поправка, вносимая учетом поперечных сдвигов, уменьшается с увеличением *m* и наименьшая для полосы.
- 3 Для пластинки ностоянной толщины поправка, впосимая учетом поперечных сдвигов, меньше чем для пластинки переменной толщины Наибольшая поправка получается при m=1, $\gamma_1=1$, $\gamma_2=1$, $\chi=20$ и равна 62%.

ЛИТЕРАТУРА

- 1. Амбарцумян С.А. Теория апизотропных пластин, М.: Наука, 1987, 360с.
- 2 Киракосян Р.М. Прикладная теория ортотропных пластин переменной толщины, учитывающая влияние деформаций поперечных сдвигов. Ереван: Изд. "Гитутюн" НАН РА. 2000. 122c.
- 3. Геворкин Г.З., Киракосян Р.М. Свободные колебания ортотропных пластин переменной толщины с учетом поперечных сдвигов. // ,\окл НАН РА. 1999. Т. 99. С.116-122.
- 4. Тимошенко С П. Колебания в инженерном деле. М.: Физматгиз, 1959 439c.

Наститут механики НАН Армении Поступила в редакцик 26.11 2001

17նիսանիկա

55 Nº1, 2002

Механика

YAK 539.3

НЕЛИНЕЙНОЕ ВЗАИМОДЕЙСТВИЕ ВОЛН РАСШИРЕНИЯ И КРУЧЕНИЯ В УПРУГОМ КРУГОВОМ СТЕРЖНЕ Минасян М.М.

Մ.Մ Սինասյան

Երկայնական և ոլորման ալկաների ոչ գծային փոխագրեցությունը առաձգական կիսը ձուրում

(Հշխատանքում ուսումնասիրվել է առածգական մայում բարձր համակության ուժեղ երկայասկան այրերական ուսումնասիրության գլորվան երկու ալիջների մեսումմասիրության հիմրում դրված է ու գծային ալիբների սինքոր կինարան դրված է ու գծային ալիբների սինքրու փոյսազդեցության ռադիոֆիզիկայում է ծատիկայում կիռասվող կարձեցված եւավասպրումների հայտնի մեխորը քիրոշված են արոնման ներքին է վերիս շեմները, ընչպես նաև արացաննարական ուժեղացման գործակիցի և պարրերությունը Կատարված են հաշվարկներ արդեծիվ և սիսպատից պատրաստված ձռվերի համար, և արդյունքները տրված են աղկումերի տիսքով

M.M.Minasyan
Nonlinear Interaction of the Longitudinal and Torsional Waves in Elastic Circular Bal-

В расоте исследована распадная пеустойчиво ть сильной инсохочастогной продольной волны при се нелинейном взаимодействии с низкочастотными полнами круп ния в упругом стержне кругового поперечного сечения. Для подя перемещения приняты приводняения Миналина-Гермада Укороченные пелинейные уравнения инверены методом сисхрони оказая пормальных колебании. Определены инжини и верхний пороги параметрического сечения с также корффициент и период взаимодействия Для стержия изготовленного и период в теля проведен численией анализ результаты которого представлены в блицами.

Как показали Похгаммер и Кри [1.2], в точной динейной постановке в бесконетном упругом стержне кругового поперечного сечения могут разпространяться бегущие по осевому направлению гармонические волны грех типов: расширения, изгиба и кручения. Дисперсионное уравнение для осесимметричных воли представляется в виде произведения

$$G_x(\omega, k)G_x(\omega, k)G_y(\omega, k) = 0$$
(11)

что указывает на то, что волны разделяются. Однако в нелипейной постановке эти волны взаимодействуют, усиливая или ослабляя друг друга Одним из механизмов обмена энергий разных воли является фазовый синхронизм (согласованность частот и волновых чисел). Это явление широко исследовано в физике плазмы, оптике и акустике [4,5,6,7]. В [7] исследовано взаимодействие упругих воли расширения и изгиба по их элементарной теории с учетом квадратичной нелипейности. В данной работе рассматривается трехволновое нелинейное синхронное язаимолействие продольной и крутильной колебаний в упругом крутовом стержне

В случае воли расширения $\{G_{j}(\omega,k)=0\}$ и кручения $\{G_{j}(\omega,k)=0\}$ точные уравнения частот имеют кратные кории и дисперсионные кривые состоят из ряда вствей, соответствующих основным и более высоким модам $\{2\}$. Основные ветви этих мод схематично представлены на фиг 1 (а и б).

Укажем некоторые характерные черты этих кривых.

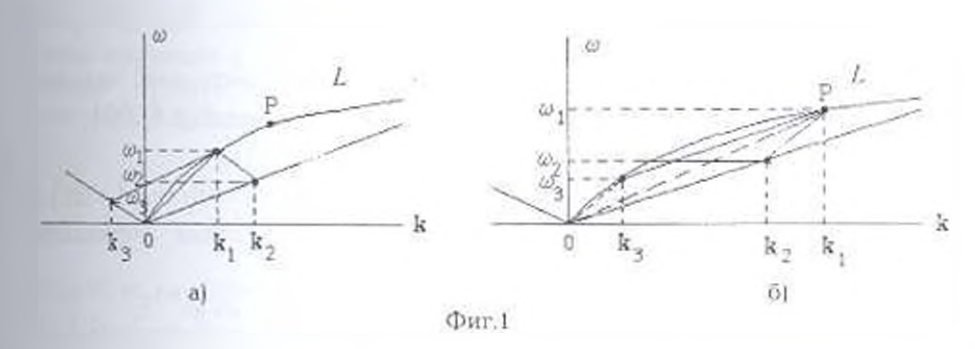
Кривая L имеет касательную $\omega = c_n k$ при k=0 и асимитоту

 $\omega = c,k$, где c_0,c_1 — "стержневая" скорость $(c_0 = \sqrt{E/\rho})$ и скорость по верхностных волн Рэлея, соответственно. В отличие от дисперсной кривой L кривая θ не дисперсная. Уравнение кривой θ имеет вид $\omega = c,k$ где $c_1 = \sqrt{\mu/\rho}$ — скорость сдвиговых волн. Для ветви, выше некоторой точки P на кривой L, групповая скорость волны расширения меньше c_2 . Это приводит к тому, что ниже этой точки в трехнолновом синхронизме:

$$\omega_1 = \omega_2 + \omega_3$$

$$k_1 = k_2 + k_3$$

могут участвовать одна высокочастотная волна расширения и две низкочастотные волны кручения, а выше этой точки – также две волны расширения и одна низкочастотная волна кручения В первом случае будем говорить о резонансной тройке (L00), а во вгором случае — о тройке (LL0)



Для вывода нединейных уравнений, следуя Миндлину-Герману [1], представим перемещения точек стержия в цилиндрических координатах виде:

$$u_{x} = w(z, t), \quad u_{x} = ru(z, t)/a, \quad u_{y}(z, t) = r\Theta(z, t)$$
 (3)

где 2 - осевое направление, *а* - радиус цилиндра.

Вычислив функцию Лагранжа, осредненную по поперечному сечению **стержия**, получим:

$$L = \frac{\rho}{2} \left[w_{1} + \frac{u_{2}}{2} + \frac{\alpha \theta_{2}}{2} \right] - \left[\frac{\lambda + 2\mu}{2} w_{2} + \frac{\mu u_{3}^{2}}{4} + \frac{\mu a^{2}\theta_{2}}{4} + \frac{2\lambda u w_{3}}{a} + \frac{2(\lambda + \mu)u^{2}}{a^{2}} \right] - \theta_{3}^{2} \left[\frac{\lambda + \mu}{2} m_{3} + \frac{\lambda + 2\mu}{4} a^{2} w_{3} \right] + (...)$$
(4)

где приведены нединейные кубические члены, участвующие в синхронном взаимодействии. В дальнейшем будем ограничиваться только этими нединейностями. Из принципа Гамильтона получим нединейные уравнения движения стержия в принятом приближении.

$$\rho w_{n} - (\lambda + 2\mu)w_{-} - 2\lambda u_{+} / a = (\lambda + 2\mu)a_{-}(\theta^{+})_{-} / 4$$

$$\rho u_{n} - \mu u_{-} + 4\lambda w_{-} / a + 8(\lambda + \mu)u_{-} / a^{2} = -(\lambda + \mu)a\theta^{2}_{-}$$

$$\rho \theta_{n} - \mu \theta_{-} = 2(\lambda + \mu)u\theta_{-} / a + (\lambda + 2\mu)(w_{-}\theta_{-})_{-}$$
(5)

Отметим, что левые части первых двух уравнений системы (5) соответствуют уравнениям Миндлина-Германа [1] с заменой поправочных коэффициентов на единицу.

Низшие дисперсионные ветви имеют вид:

$$G_{1}(\omega,k) = \left[\rho\omega^{2} - (\lambda + 2\mu)k^{2}\right]\left[\rho\omega^{2} - \mu k^{2} - 8(\lambda + \mu)/a^{2}\right] - 8\lambda^{2}k^{2}/a^{2}$$
 (6)

$$G_0 = \rho \omega^2 - \mu k^2 \tag{7}$$

где знак милус при G_L означает, что выбрана нижняя ветвь дисперсионной кривой L. Отметим, что эта ветвь весьма мало отличается от точной по форме, лишь голько в пределе $k \to \infty$ вместо c_+ получается c_+ . Безразмерные фазовые скорости получаются в виде:

$$c^{2} = c^{2} / c^{2} = \frac{1}{4m} \left[3 - 4v + \frac{8}{a^{2}k^{2}} - \sqrt{\left(1 - \frac{8}{a^{2}k^{2}}\right)^{2} + \frac{128}{a^{2}k^{2}}} \right]$$

$$\overline{c}_{i}^{2} = c^{2} / c^{2} = \frac{1}{2(1+v)}, \quad m = (1+v)(1-2v)$$
(8)

у – коэффициент Пуассона. Дальше будем следовать методике, изложенной и работах [4,5]. Сначала рассмогрим резонансиую тройку (7,00).

Представим решение системы (5) в форме:

$$u(x,t) = \overline{u}(t)\exp(-ikx), \quad u(x,t) = u(t)\exp(-ikx), \quad 0(x,t) = 0(t)\exp(-ikx)$$
(9)

Приняв условие согласований водновых чисел и введи нормальные колебания:

$$a_{\perp} = \frac{2}{\sqrt{2 + \beta^2}} \left(\overline{w} - \frac{i\beta}{2} \overline{u} \right), \quad a_{\theta} = a\overline{\theta}, \quad \left(\beta = \frac{2(1 - v) - (1 - 2v)\overline{c}^2 / \overline{c}_i^2}{4v} ak \right)$$
 (10)

получим систему укороченных уравнений:

$$\frac{d^{2}u_{1}}{dt^{2}} + \omega_{1}^{2}a_{1} = 2ma_{2}a_{3} \cdot \frac{d^{2}a_{2}}{dt^{2}} + \omega_{2}^{2}a_{2} = -2ma_{1}a_{3} \cdot \frac{d^{2}a_{1}}{dt^{2}} + \omega_{3}a_{3} = -2ma_{3}a_{3}^{2}$$

$$n = \frac{k_{1}k_{2}k_{3}}{2\sqrt{2+\beta^{2}}}\gamma, \quad \gamma = \frac{(1+\nu)c^{2} - (1-\nu)}{\nu}c_{1}^{2}$$
(11)

Здесь и далее индексы соответствуют порядку резонансных троек

Отметим, что при $c^{-}>c^{-}-(1-v)/(1+v)$ $\gamma>0$, а при $\bar{c}^{-}<0$ $\gamma<0$.

Введя "медленное время" $T=\varepsilon t$, $\varepsilon=A_{01}/\lambda_1$ где $\varepsilon<<1$ A_{01} - характерная амилитуда, а λ_1 - длина продольной водны и представив решение системы в виде $u=A_1(T)\exp(i\omega t)$, для медленно меняющихся амилитуд A получим систему уравнений:

$$\frac{dA}{dt} = \frac{n}{\varepsilon \omega_{+}} A_{+} A_{+} \exp(-i\Delta \omega t) \frac{dA_{2}}{dt} = -\frac{n}{\varepsilon \omega_{+}} A_{+} A_{+}^{*} \exp(i\Delta \omega t)$$

$$\frac{dA}{dt} = -\frac{n}{\varepsilon \omega_{-}} A_{1} A_{-}^{*} \exp(i\Delta \omega t) \Delta \omega = \omega_{1} - (\omega_{1} + \omega_{2})$$
(12)

Из (12) следует закон сохранения энергии и соотношения Мэпли-Роу [6]

$$\sum \omega_j^2 |A_j(T)| = \text{const}$$

$$\omega_1 \left(A_1(0) \right)^2 - \left| A_1(T) \right|^2 = \omega_2 \left(A_1(T) \right)^2 - A_1(0)^2 = \omega_1 \left(A_1(T) \right)^2 - A_1(0)^2$$
 (13)

Из этих соотношений следует, что поскольку в рассматриваемой разонансной тройке n < 0 ($k_1 > 0, k_2 < 0, k_3 > 0$) то при $\gamma > 0$ (область алинных волн) возникает распадная неустойчивость [б] и энергия сильной высокочастотной продольной волны перекачивается в две другие волны, паражетрически усиливая их. При $\gamma < 0$ высокочастотная волны устойчива и в этом случае происходит только слабое биение колебаний — слабые волны не усиливаются. Рассмотрим распадную неустойчивость подробней

Пусть в начальный момент возбуждены сильныя нысокочастотныя вродольная волна и одна из низкочастотных кругильных воли с начальными амплитудами $A_1(0) = A_{01}$, $A_2(0) = A_{02}$, $A_1(0) = 0$ причем

А., / А., << 1 Для определения порога параметрического усиления [6] воли кручения в начальной стадии распада амплитуду продольной волиы будем считать постоянной Тогда, решив два последних уравнения системы [12], получим:</p>

$$A_{s}(T) = A_{c_{1}} \exp(-i\Delta\omega t/2)(\cosh\alpha T + i\Delta\omega \sinh\alpha T/2\alpha)$$

$$A_{s}(T) = \frac{nA_{c_{1}}A_{c_{2}}}{\epsilon\alpha\omega} \exp(-i\Delta\omega T/2)\sinh\alpha T$$
(14)

где О - коэффициент параметрического усиления:

$$\alpha^2 = \frac{n^2 A_{\text{ot}}^2}{\varepsilon^2 \omega_1 \omega_2} - \frac{(\Delta \omega)^2}{4}$$
 (15)

Из (15) для порога усиления получим оценку:

$$A_{01} > \frac{\varepsilon \Delta \omega \sqrt{\omega, \omega}}{4n} \tag{16}$$

При полной фазовой синхронности ($\Delta \omega = 0$) распадная неустойчивость етановится безусловной. Дальше будем считать $\Delta \omega = 0$

При тех же начальных условиях решение системы (12) в ваминтических функциях Якоби [8,9] имеет вид:

$$|A_{1}(T)|^{2} = A_{01}^{2} \sin^{2}(\varsigma, s), \quad |A_{2}(T)|^{2} = \frac{A_{01}^{2}}{s^{2}} \frac{\omega_{1}}{\omega_{2}} dn^{2}(\varsigma, s), \quad |A_{2}(T)|^{2} = A_{01}^{2} \frac{\omega_{1}}{\omega_{2}} \cos^{2}(\varsigma, s)$$
(17)

TARE
$$C = K(s) + A_{01}nT / s \varepsilon \sqrt{\omega_1 \omega_2}$$
, $s = \sqrt{1 + \frac{\omega_1}{\omega_2}} \left(\frac{A_{01}}{A_{01}} \right)$

и K(s) – полный эллиптический интеграл первого рода.

Решения (17) описывают колебания с периодом:

$$\Pi = \frac{2sK(s)\sqrt{\omega_1\omega_2}}{nA_0}$$

После некоторых упрощений, запишем (18) в форме

$$\frac{\Pi}{\Pi_0} = \frac{2sK(s)v\sqrt{2+\beta^2}}{\pi^2[(1+v)e^{\frac{s^2}{2}-(1-v)}]}\sqrt{\left(1-\frac{\overline{c}_2^2}{e^2}\right)^{-1}}\left(\frac{\lambda_0}{A_{01}}\right)^2$$
(19)

где $\Pi_1=2\pi/\omega$, период продольных колебаний. Учитывая, что из оценок $A_{\rm el}/A_{\rm el}<<1$, $\omega_+/\omega_+=O(1)$ следует оценка $1-s^+\approx 1$, то при нычислении полного эллиптического интеграла можно пользоваться асимптотической формулой [9]:

 $2K(s) = \ln 16/(1-s^2) \tag{20}$

Определим коэффициент распадной неустойчивости как отношение максимального осеного напряжения к максимальному касательному напряжению в волие кручения при r=a.

Учитывая, что

$$\sigma_{-} = (\lambda + 2\mu)w_{z} + 2\lambda u/a, \quad \sigma_{-} = \mu a\theta_{z}$$
 (21)

этот коэффициент принимает значение:

$$\Gamma = \frac{\max|\sigma_{z\theta}|}{\max|\sigma_{zz}|} = \frac{c_{z}}{c} \left(\sqrt{1 - \frac{\bar{c}_{z}}{c}} + \frac{1}{s} \sqrt{1 + \frac{\bar{c}_{z}}{c}} \right) \sqrt{1 + \beta^{2}/2}$$
 (22)

В таба. 1 и 2 для меди (v = 0.35) и стали (v = 0.28) на основе формул (8). (19) и (22) приведены числовые данные для безразмерной фазовой скорости продольной волны c коэффициента усиления [Γ] и величины c П/П (c, A_c). Из данных таблиц видно, что нараметры взаимодействия существенно зависят от ak. В частности, при фиксированном радичее стержня интенсивность (Γ) распадной неустойчивости возрастает в сторон, коротких волн, одновременно увеличивается и период взаимодействия. Однако, при этом убывает коэффициент целинейной тяки При достижении точки P (фит. 1) пелинейная связь в квадратичном приближении обрывается. При дальнейшем увеличении k коэффициент нелищейности меняет знак и, как было отмечено выше, сильная высокочастотная продольная волна становится устойчивой, а низкочастотные слабые крутильные волны не усиливаются.

В случае резопансной тройки $(LL\theta)$, как ноказывает анализ, распадная неустойчивость не проявляется, т. е. сильная высокочастотная продольная волна не усиливает низкочастотную продольную или визкочастотную крутильную волны.

В работе рассмотрена временная эволюция при пространственной однородности. Аналогично можно рассмотреть пространственную зволюцию в стационарном состоянии. В общем случае необходимо учитывать как временную так и пространственную эволюцию, как это сделано при взаимодействии продольной и изгибной волн [8]. Здесь наиболее интересное явление связано с существованием солитовов разных "цветов, — светлых" и "темных" Однако, это предмет отдельного исследования.

Следует отметить, что усиления будет тем больше, чем больше длина стержия. Увеличение се длины можно имитировать соответствующими способами закрепления кондов, превратив стержень в резонатор

Таблица I Імедь 0.05 0.1 0.2 0.5 1 2 3 4 ak0.999 ē. 1.000 0.999 0.9950.9800.9240.9480.782 Γ 2.689 1.556 1.156 1,452 1,960 1.158 1.1701.216 3 2.495 2.688 0.684 0.685 0.687 0.7040.772 1.177

						Таблица 2 (сталы)			
ak	0.05	0.1	0.2	0.5	1	2	3	4	
Ē	1.000	0.999	0.999	0.997	0.987	0.944	0.870	0.800	
F	1.182	1.183	1.184	1.191	1.223	1,418	1.982	2.925	
٤	0.692	0.695	0.696	0.709	0.759	1.097	1.982	2.925	

AHTEPATYPA

- 1 Эйбрамсон Х.Н., Пласс Х.Дж., Рипрергер Э.А. Распространение выли напряжения в стержиях и балках. // "Проблемы механики". со. статей. М.: Иностр. лит., 1961. с.24-90.
- 2 Дейвис Р.М. Волны напряжений в твердых телах. М.: Иностр. лит., 1961—93с.
- 3 Расстнов Ю.Н. Механика деформируемого твердого тела. М. Наука. 712с.
- 4 Аувсела У. Связанные и параметрические колебания в электронике. М.: Иностр. дит., 1974, 523с
- 6 Виноградов М.В., Руденко О.В., Сухоруков А.П. Теория води М.: Наука, 1979. 282c.
- Сухорухов А.П. Нелинейные волновые взаимодействия в оптике и радиофизике. М., Наука, 1988, 230с.
- 8 Kovinguine D.A., Potapov A.I. On nonlinear oscillations of a thin bar. // Arc. Apl. Mech. 66, 1966, pp.168-176.
- 9 Янке Е., Эмде Ф., Леш Ф. Специольные функции. М. Наука. 1964 830с.

Ереванский государственный **университет** Поступила в редакцию 24.12.2001

Մեխանիկա

55, No.1, 2002

Mexande

УAK 62-50

УПРАВЛЕНИЕ ЭЛЕКТРОМЕХАНИЧЕСКИМ МАНИПУЛЯ-ТОРОМ ПРИ ОГРАНИЧЕНИЯХ НА НАПРЯЖЕНИЕ И ТОК Аветисян В.В.

Վ Վ Ավետիսյան

ւ լեկտրամեխանիկական մանիպուլյառորի ղեկավարումը յառման եւ վրա դրված սահմանափակումների ղեսլքում

Դիտարկվում է ոչ գծային իավառարումների հասակարգով կկարարվել Էլեկտրոստիխանիկական մանիպուլյատորի ղեկաժարժան խնչքիրը լարման և հոսանքի ուժի վրա չրվան սանմանավասկումների դնարում

V.V. Avetlsyan

The control of electromechanical manipulators with restrictions on tension and current

Решастки падача управления электромеханическим манипулятором, движени которого описывается системой нелинейных дифференциальных уравнений при ограничениях на напряжение и ток

1. Рассматривается электромеханическая модель плоского двузвенного машинулятора управляемого с помощью двух независимых приводов, содержащих электродвигатели постоянного тока с независимим возбуждением и редукторы. Движения такого манипулятора в безразмерных единицах описываются системой механических уравнений лагранжа и уравнений баланса электрических напряжений в цепях якорей электродвигателей [1]

$$(1 + 2MaLA_{11} \cos \varphi_{1})\varphi_{1} + (A_{12} + MaL\cos \varphi_{1})A_{11}^{-1}\varphi_{2} - MaLA_{1} \sin \varphi_{2}\varphi_{2}(2\varphi_{1} - \dot{\varphi}_{2}) = k.$$

$$(1.1)$$

$$\varphi_{2} + (A_{12} + MaL\cos \varphi_{2})A_{22}^{-1}\varphi_{1} + MaLA_{22}^{-1}\sin \varphi_{2} \cdot \dot{\varphi}_{1}^{2} = k.$$

$$Ldt/dt + R_{11} + k_{11}^{11}\dot{\varphi}_{1} = k_{11}^{12}u_{12}, \qquad i = 1,2$$

В (1.1) Ф то тобобщенные углы поворотов звеньев манипуляторя a=длина первого звена L=расстояние от шариира, соединяющего первое и второе звенья, до центра масс второго звена, M= масса второго звена; m= масса ротора электродвигателя, управляющего вторым звеном $A_{11}, A_{12}, A_{23}=$ коэффициенты, содержащие инерционные и геометрический параметры манипулятора [1] $L_i, R=$ коэффициенты индуктивности и электрическое сопротивление обмотки роторов электродвигателей; k= постоянный коэффициент, $J_i=$ ток в обмотке якоря i-го двигателя; $u_i=$ управляющее папряжение подаваемое на вход i-го двигателя

Для системы [1,1] ставится задача управления. Требуется найти управляющие напряжения $u_i(t), u_j(t)$, осуществляющие приведение манипулятора из заданного начального состояния покоя

$$\varphi_i(0) = 0, \quad \dot{\varphi}_i(0) = 0, \quad j_i(0) = 0, \quad i = 1,2$$

в заданное конечное состояние в момент времени t=T

$$\varphi_i(T) = \varphi_i^1, \ \dot{\varphi}_i(T) = 0, \ i = 1,2$$

В течение всего процесса управления должны выполняться ограничения на папряжения и токи в цепях электродвигателей

$$|u_i| \le 1, \quad \frac{1}{i} f_i \le i, \quad i = 1,2$$
 (1.4)

где f_i — максимальная величина тока в цепи i -го электродвигателя.

Наряду с полной (1.1), рассмотрим упрощенную модель манипулятора которая соответствует случаю, когда электромагнитные постоянные времени $\mathbf{t}_i = L_i/k$, весьма малы по сравнению со временем транспортной операции, совершаемой роботом, а второе звено манипулятора статически уравновешено. В этом случае выполняются соотпошения $L_i << 1, L=0$ и в первом приближении члены, содержащие $L_i = 0$ и уравнениях (1.1) можно опустить [2]. Тогда уравнения движения (1.1), после исключения из них переменных J_i , и ограничения (1.4) упрощаются и принимают вид

$$R_{1}\ddot{\varphi}_{1} + R_{1}A_{1} + A_{2}\ddot{\varphi}_{1} + k_{1}\dot{\varphi}_{1} = u_{1}$$

$$R_{1}A_{1}\ddot{\varphi}_{1} + R_{2}\ddot{\varphi}_{1} + k_{2}\dot{\varphi}_{2} = u_{2}$$

$$(1.5)$$

$$|u| \le 1,$$
 $|u_i - k_i \dot{\phi}_i| \le j |k|^{1/2} R_i = \eta_i,$ $i = 1.2$ (1.6)

В (1.5),(1.0), (1.2),(1.3) перейдем к новым переменным

$$\mathbf{v}_{1} = u_{1} - k_{1}\phi_{1}, \quad i = 1, 2,$$

$$\mathbf{w}_{1} = R_{1}\phi_{1} + R_{1}A_{12}A_{11}^{-1}\phi_{2}, \qquad \psi_{2} = R_{2}A_{12}A_{22}^{-1}\phi_{1} + R_{2}\phi_{2}$$

$$x_{1} = \psi_{1}, \qquad x_{2} = \psi_{1}, \qquad x_{3} = \psi_{2}, \qquad x_{4} = \psi_{2}$$
(1.7)

В переменных [1,7] задача [1,5],(1,6), [1,2],(1,3) примет вид

$$\dot{x}_1 = x_2, \ \dot{x}_2 = v_1, \ \dot{x}_3 = x_4, \ \dot{x}_4 = v_3$$
 (1.8)

$$|\mathbf{v}_{i} + \sum_{j=1}^{4} c_{ij} \hat{x}_{j}| \le 1, \quad |\mathbf{v}_{i}| \le \eta_{i} = j_{i}^{0} k_{i}^{1/2} R_{i}, \ i = 1, 2$$
 (1.9)

$$c_{11} = k_1 R_1^{-1} A_{11} A_{22} (A_{11} A_{22} - A_{12})^{-1}, c_{10} = k_1 R_1^{-1} A_{12} A_{22} (A_{22} - A_{11} A_{22})$$

$$c_{21} = k_2 R_1^{-1} A_{12} A_{11} (A_{12}^2 - A_{11} A_{22})^{-1}, c_{21} = k_2 R_2^{-1} A_{11} A_{22} (A_{11} A_{22} - A_{12}^2)^{-1}$$

$$c_{12} = c_{14} = c_{22} = c_{24} = 0$$

$$x(0) = x^0 = 0, \quad t = 1, ..., 4$$

$$x_1(T) = x_1^1 = \alpha_1 \phi_1^1 + \beta_2 \phi_2^1, x_2(T) = x_2 = 0$$

$$x_2(T) = x_1^1 = \alpha_2 \phi_1^1 + \beta_2 \phi_2^1, x_4(T) = x_4^1 = 0$$

$$\alpha_1 = R_1, \quad \alpha_2 = R_1 A_1 A_{12} A_{12}^{-1}, \quad \beta_3 = R_2$$

$$\beta_1 = R_1 A_{12} A_{11}^{-1}, \quad \beta_3 = R_3$$

69

2. Обозначим через $x = (x_1, ..., x_n)^T$ и $\mathbf{v} = (\mathbf{v}_1, \mathbf{v}_2)^T$ фазовый вектор и вектор управления системы (1.8) и перепивием систему в векторной форме $x = Ax + B\mathbf{v}$ (2.1)

с постоянными матрицами A,B размеров 4x4, 4x2 и фундаментальной матрицей размера 4x1 соответственно

$$A = \begin{bmatrix} 0 & 1 & 0 & 0 \\ 0 & 0 & 0 & 0 \\ 0 & 0 & 0 & 1 \\ 0 & 0 & 0 & 0 \end{bmatrix}, \quad B = \begin{bmatrix} 0 & 0 \\ 1 & 0 \\ 0 & 0 \\ 0 & 1 \end{bmatrix}, \quad \Phi(t) = \begin{bmatrix} 1 & t & 0 & 0 \\ 0 & 1 & 0 & 0 \\ 0 & 0 & 1 & t \\ 0 & 0 & 0 & 1 \end{bmatrix}$$
(2.2)

Начальные и конечные условия представим следующим образом.

$$x(0) = 0, x(T) = x^{T}$$
 (2.3)

Запишем решение системы (2.1) с начальным условием (2.3)

$$x(t) = \int_{0}^{t} \Phi(t)\Phi^{-1}(\tau)B(\tau)v(\tau)d\tau \tag{2.4}$$

С учетом (2.3) и (2.4), задача (1.8)-(1.10) сводится к отысканию такого управления $\mathbf{v}(t)$, при котором удовлетворяются условие

$$\int \Phi^{-1}(t)B(t)v(t)dt = \Phi^{-1}(T)x^{t}$$
 (2.5)

и ограничения (1.9) для всех $t \in [0, T]$.

Воспользуемся известным подходом [3] построения управления, который в [4:5] был распространен на случай паличия ограничения на управление, а в [6]—на фазовые координаты в задачах успокоения скалярно управляемых многочастотных систем линейных осцилляторов (маятникон).

Управление, решающее задачу без учета ограничений [1,9], ищем в виде

$$v(t) = Q^{T}(t)C, \qquad Q(t) = \Phi^{-1}(t)B(t)$$
 (2.6)

Здесь С постоянный вектор, определяемый единственным образом гтак как (1.8) вполне управляема [7,8])

$$C = R^{-1}(T) \cdot \Phi^{-1}(T) \cdot x^{1}$$
 (2.7)

из системы авнейных алгебранческих уравнений

$$R(T) - C = \Phi^{-1}(T)x^{1}, \qquad R(T) = \int_{0}^{T} Q(t)Q^{T}(t)dt$$
 (2.8)

Подставляя (2.7),(2.8) в (2.6), а затем (2.6)-(2.8) в (2.1), управление v(t) и фазовую скорость $\tilde{x}(t)$ можно представить следующим образом

$$\mathbf{v}(t) = F^{1}(t,T) \cdot (x^{1})^{T}, \quad \bar{x}(t) = G^{1}(t,T) \cdot (x^{1})^{T}, \quad x^{1} = (x_{1}^{1}, x_{2}^{1}, x_{1}^{1}, x_{4}^{1}) \quad (2.9)$$

где матрины $F = \{1,2; q = 1,...,4 \text{ и } G^1 = \|g\|_q \|, q\|_1, q = 1,...,4$ определяются таким образом:

$$F^{-1}(t,T) = (\Phi^{-1}(t)B(t))^{\top}R^{-1}(T)\Phi^{-1}(T)$$
(2.10)

$$G^{1}(t,T) = A(t)\Phi(t)R(t)R^{-1}(T)\Phi^{-1}(T) + B(t)B^{+}(t)(\Phi^{-1}(t))^{+}R^{-1}(T)\Phi^{-1}(T)$$

С учетом (2.9), (2.10), искомое управление и соответствующую ему фазовую скорость представим в следующих координатных формах

$$\mathbf{v}_{i}(t) = \sum_{q=1}^{4} f_{iq}(t, T) x_{i}^{1}, \quad i = 1.2; \quad x_{i}(t) = \sum_{q=1}^{4} g_{iq}(t, T) x_{q}^{1}, \quad j = 1,...,4$$
 (2.11)

Ограничения (1.9) после подстановки в них (2.11), принимают вид

$$|\mathbf{v}_{i}(t)| = \sum_{q=1}^{4} f_{iq}(t,T) x_{q}^{1} \le \eta_{ij}, i = 1,2$$
 (2.12)

$$\begin{vmatrix} v_{i}(t) + \sum_{j=1}^{4} c_{il} x_{j}(t) \end{vmatrix} = \begin{vmatrix} \sum_{q=1}^{4} (f_{iq}(t,T) + h_{iq}(t,T)) x_{q}^{1} \end{vmatrix} \le 1, \quad i = 1,2$$

$$h_{ij}(t,T) = \sum_{l=1}^{4} c_{ij} g_{jq}(t,T), \quad i = 1,2; \quad q = 1,...,4$$
(2.13)

Выберем время T гак, чтобы удовлетворялись ограничения (2.12) и (2.13). Для этого введем следующие функции

$$S_{i}(T) = \left[\max_{0 \le i \le T} K_{i}(t, T)\right]^{-1} \qquad i = 1, 2$$

$$M_{i}(T) = \left\{\left[\max_{0 \le i \le T} K_{i}(t, T)\right]^{-1} + \left[\max_{0 \le i \le T} L_{i}(t, T)\right]^{-1}, \quad i = 1, 2\right\}$$
(2.14)

где K(t,T). L(t,T) определяются из (2.10) и имеют вид

$$K_i(t,T) = \sum_{q=1}^{\infty} f_{iq}^2(t,T), i = 1,2;$$
 $L_i(t,T) = \sum_{q=1}^{\infty} h_{iq}^2(t,T), i = 1,2$ (2.15)

К соотношениям (2.12),(2.13) применим неравенство Коши Буняковского

$$\begin{aligned} |\mathbf{v}_{i}| &\leq \left(\sum_{q=1}^{4} x_{q}^{1^{2}}\right)^{1/2} \left(\sum_{q=1}^{4} f_{iq}^{2}(t,T)\right)^{1/2}, & i = 1, 2; \\ |\mathbf{v}_{i}| &+ \sum_{j=1}^{4} c_{ij} \dot{x}_{j}| &\leq \left(\sum_{q=1}^{4} x_{q}^{1^{2}}\right)^{1/2} \left\{ \left(\sum_{q=1}^{4} f_{iq}^{2}(t,T)\right)^{1/2} + \left(\sum_{q=1}^{4} h_{iq}^{2}(t,T)\right)^{1/2} \right\}, & i = 1, 2 \end{aligned}$$

$$(2.16)$$

Тогда с учетом (2.14),(2.15) неравенства (2.16) перепишутся в виде

$$\begin{aligned} |\mathbf{v}_{i}| &\leq |\mathbf{x}^{*}| [K_{i}(t,T)]^{1/2} \leq |\mathbf{x}^{*}| S_{i}^{-1}(T), & i = 1,2 \\ |\mathbf{v}_{i}| + \sum_{j=1}^{4} c_{ij} \dot{\mathbf{x}}_{j}| &\leq |\mathbf{x}^{*}| ([K_{i}(t,T)]^{1/2} + [L_{i}(t,T)]^{1/2}) \leq |\mathbf{x}^{*}| M_{i}^{-1}(T), & i = 1,2 \end{aligned}$$

Из [2.17] следует, что наложенные ограничения (2.12) и (2.13) будут удовлетворены для всех $t \in [0,T]$, если время T>0 выбирать из следующего условия:

$$|x^{\dagger}| = \min[\min[\eta_{\epsilon}S_{\epsilon}(T), M_{\epsilon}(T)]]$$
 (2.18)

Таким образом, для любого заданного x^{1} из условия (2.18) можно найтн

время T, а затем определить управление \mathbf{v}_i , i=1,2 из (2.11). 3. С помощью (2.10),(2.6)-(2.8),(2.1)-(2.4) определим элементы матриц F^1 , G^1

$$F^{1} = \|f_{iq}^{1}\|_{3} \quad i = 1, 2; \quad q = 1, ..., 4$$

$$f_{1} = f_{23}^{1} = -12T^{-3}t + 6T^{-2}, \quad f_{12}^{1} = f_{24}^{1} = 6T^{-2}t - 2T^{-1}, \quad f_{13}^{1} = f_{11}^{1} = f_{21}^{1} = f_{22}^{1} = 0$$

$$G^{1} = \|g_{jq}^{1}\|_{7} \quad j = 1, ..., 4 \quad q = 1, ..., 4$$

$$g_{11}^{1} = g_{33}^{1} = -6T^{-3}t^{2} + 6T^{-2}t, \quad g_{12}^{1} = g_{34}^{1} = 3T^{-2}t^{2} - 2T^{-1}t$$

$$\{3.2\}$$

$$g_{11} = g_{33} = -0t \quad t + 6t \quad t, \quad g_{12} = g_{34} = 5t \quad t - 2t \quad t$$

$$= g_{43}^{1} = -12T^{-3}t + 6T^{-2}, \quad g_{12} = g_{44}^{1} = 6T^{-2}t - 2T^{-1}$$

$$g_{13} = g_{14} - g_{23} = g_{14} = g_{32} - g_{41} = g_{42} = 0$$

$$\{3.2\}$$

С учетом (3.1)-(3.2) для функции S_i , M_i , i=1,2 из (2.14) будем иметь

$$S_1(T) = S_2(T) = T^2/6$$
, $M_1(T) = \left[6/T^2 + 3(c_{i1}^2 + c_{i3}^2)^{1/2}/2T\right]^{-1}$, $i = 1, 2, (3.3)$

Подставим $S_i,\,M_i,\,i=1,2$ —в условие (2.18), в котором, согласно (1.10).

положим $|x^1| = \sqrt{(x_1^1)^2 + (x_2^1)^2}$. Из (2.18) получим уравнения для нахождения T

$$x^{1} = \min \min \{ \eta_{1} T^{2} / 6, \left[6 / T^{3} + 3(c_{A}^{2} + c_{2}^{2})^{-2} / 2T \right]^{-1} \}$$
 (3.4)

При нахождении T из (3.4) возможны песколько случаен в зависимости от соотношений между параметрами задачи η , η , i=1,2, для конкретной модели манипулятора со следующими значениями безразмерных параметров, входящих в $\{1.8\}$ - $\{1.10\}$.

мерных параметров, входящих в [1.8]-(1.10). $L_1 \approx 0.001, \ L_2 \approx 0.003, \ R_1 \approx 0.39, \ R_2 \approx 0.09, \ k_2 \approx 1.5, \ k_2 \approx 1. \ \eta_1 \approx 0.1 \ (3.5)$ $\eta_1 \approx 0.09, \ c_{11} \approx 4.0302, \ c_{13} \approx -1.3216, \ c_{21} \approx -1.2930, \ \approx 11.5351$ $A_{12} = A_1 \approx 0.08, \ A_{11} / A_{12} \approx 0.48, \ MaL / A_{11} \approx 0.03, \ MaL / A_{22} \approx 0.21$ имеют место соотношения $\eta_1 > \eta_2 = c_{11}^2 + c_{12}^2 < c_{21}^2 + c_{23}^2$. С учетом этих перавенств, из (3.4) найдем

$$|x^{i}| = \begin{cases} \eta_{2}S_{1}(T), & T \in [0, T'] \\ M_{1}(T), & T \in [T', \infty] \end{cases}$$
(3.6)

где T' определяется из равенства $\eta . S.(T) = M.(T)$

$$T' = 4(1 - \eta_2) / \eta_2 (c_{21}^2 + c_{23}^2)^{1/2}$$
 (3.7)

Поскольку функции S_{γ}, M_{γ} (3.6) монотонно возрастающие, то из уравнений (3.6) искомое время T определяется единственным образом Разобьем весь полубесконечный интервал времени T на две части: [0,T], $[T,\infty]$, которым соответствуют два интервала изменения [0,T], $[x^{+}],\infty$, Здесь

$$|x^1| = 8(1 - \eta_2)^2 / 3\eta_2(c_{21}^2 + c_{23}^2)$$
 (3.8)

определяется подстановкой T=T'(3.7) в правую часть одного из уравнений (3.6). Далее, для фиксированного начального состояния [2.3] по заданному конечному состоянию x', путем сравнения $x' \mid c \mid x' \mid$ определяем, в каком из двух отрезков лежит искомое T. Если $T \in [0, T']$, то T определяется из первого уравнения [3.6]

$$T = (6|x^{1}|/\eta_{2})^{1/2}, \qquad 0 < |x^{1}| \le |x^{1}|$$
(3.9)

Если $T \in [T', \infty]$, то T определяется из второго уравнения (3.6)

$$T = (3(c_{11}^{2} + c_{23}^{2})^{1/2} |x^{1}| + (9|x^{1}|^{2}(c_{11}^{2} + c_{23}^{2}) + 96|x^{1}|) -)/4, |x^{1}| < |x^{1}| < \infty |13.10|$$

Соответственно, подставляя (3.1) в (2.11), получаем выражения, но которым можно подсчитать компоненты управления в любой момент времени, а именно:

$$\mathbf{v}_{1}(t) = 6T^{-2}(1 - 2T^{-1}t)x_{1}^{1}, \quad \mathbf{v}_{2}(t) = 6T^{-2}(1 - 2T^{-1}t)x_{2}^{1}$$
 (3.11)

где момент времени T определяется согласно (3.9),(3.10).

Из (3.11) следует, что чем больше врсмя движения до терминального состояния, тем меньше максимальные величины управляющих функций

Согласно [1.7] перейдем в [3.11] к исходным переменным $u_1(t) = \left\{ 6k_1 \left[R_1^{-1} \left(A_{12}^2 A_{11}^{-1} A_{22}^{-1} - 1 \right)^{-1} x_1^1 - R_2^{-1} A_1, A_{11}^{-1} \left(A_{12}^2 A_{11}^{-1} A_{23}^{-1} - 1 \right)^{-1} x_2^1 \right\} T^{-1} \right\} t^2 + \left\{ -12x_1^1 / T^3 + 6k_3 \left(A_{12}^2 A_{13}^{-1} A_{22}^{-1} - 1 \right)^{-1} \left(R_2^{-1} A_{12} A_{11}^{-1} x_3^1 - R_1^{-1} x_1^1 \right) / T^2 \right\} t + 6x^1 / T$ $u_2(t) = \left\{ 6k_2 \left[R_2^{-1} \left(A_{12}^2 A_{11}^{-1} A_{22}^{-1} - 1 \right)^{-1} x_3^1 - R_1^{-1} A_{12} A_{22}^{-1} \left(A_{12}^2 A_{11}^{-1} A_{72}^{-1} - 1 \right)^{-1} x_1^1 \right] / T^{-2} \right\} t^2 + \left\{ -12x_3^4 / T^3 + 6k_3 \left(A_{12}^2 A_{11}^{-1} A_{22}^{-1} - 1 \right)^{-1} \left(R_1^{-1} A_3, A_{22}^{-1} x_1^1 - R_2^{-1} x_3^4 \right) / T^2 \right\} t + 6x_1^4 / T^4 \right\} t^2 + \left\{ -12x_3^4 / T^3 + 6k_3 \left(A_{12}^2 A_{11}^{-1} A_{22}^{-1} - 1 \right)^{-1} \left(R_1^{-1} A_3, A_{22}^{-1} x_1^1 - R_2^{-1} x_3^4 \right) / T^2 \right\} t + 6x_1^4 / T^4 \right\} t^2 + 6x_1^4 / T^4$ $= \left\{ -12x_3^4 / T^3 + 6k_3 \left(A_{12}^2 A_{11}^{-1} A_{22}^{-1} - 1 \right)^{-1} \left(R_1^{-1} A_3, A_{22}^{-1} x_1^1 - R_2^{-1} x_3^4 \right) / T^2 \right\} t + 6x_1^4 / T^4 \right\} t^2 + 6x_1^4 / T^4$ $= \left\{ -12x_3^4 / T^3 + 6k_3 \left(A_{12}^2 A_{11}^{-1} A_{22}^{-1} - 1 \right)^{-1} \left(R_1^{-1} A_3, A_{22}^{-1} x_1^1 - R_2^{-1} x_3^4 \right) / T^2 \right\} t + 6x_1^4 / T^4 \right\} t^2 + 6x_1^4 / T^4$

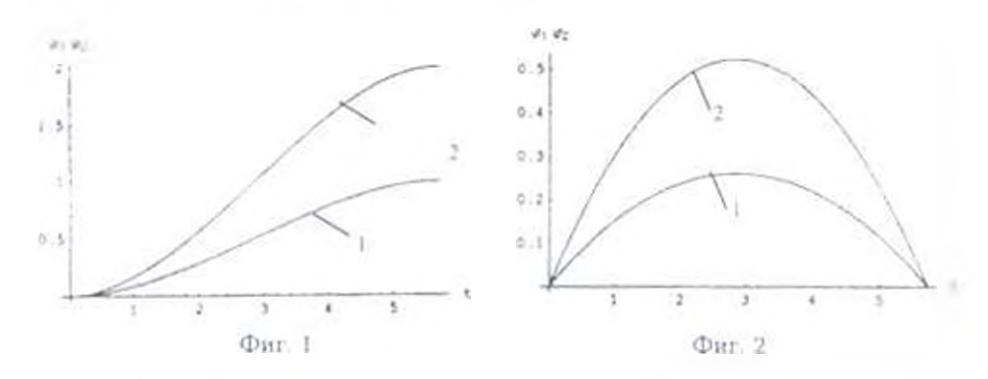
LVG

$$x_1^1 = R_1 \phi_1^1 + R_1 A_1 A_1^{-1} \phi_2$$
 $x_1^1 = R_1 A_1 A_2 \phi_1^1 + R_2 \phi_2^1$

4. Законы управления (3.12), полученные для упрощенной моделисистемы четвертого порядка (1.5), использовались при моделированни движений двузвенного манипуляционного робота транспортных числовыми значениями безразмерных параметров (3.5). Фигурирующие в выражениях (3.12) конечные значения фазовых координат принимались $\varphi(T) = 1 \operatorname{paa}_{+}; \quad \varphi_{2}(T) = 2 \operatorname{paa}_{-}$ соответствии 13 равными значениями и с учетом (3.8), (3.5) время окончания процесса было рассчитано по формуле [3.10] при значениях $(3.5) - T \approx 5.7368$. Управления [3.12] при указанных значениях параметров были подставлены в полные уравнения (1.1) и путем численного моделирования проинтегрированы с начальными условиями (1.2) на интервале [0,T]. На фиг1 представлены $\varphi_{1}(t) - (1), \varphi_{2}(t) - (2)$ (1.1) зависимости для полной Соответствующим образом представлены также зависимости $\dot{\phi}_{i}(t)$ $-(1),~\dot{\phi}_{z}(t)$ -(2) на фиг.2. Вычисления показали, что значения фазовых координат и угловых скоростей системы (1.1) в момент

окончания управляемого процесса равны соответственно

$$\varphi_1(T) \approx 1.0072$$
, $\varphi_2(T) \approx 1.9923$, $\varphi_1(T) \approx -0.0018$, $\dot{\varphi}_2(T) \approx -0.0008$



Равенства свидетельствуют о том, что управления рассчитанные для упрощенной модели, обеспечивают приведение манипулятора в заданное терминальное состояние с приемлемой точностью:

AHTEPATYPA

- Аветисян В.В. Оптимизация транспортных движений промышленных роботов с ограничением на мощность тепловыделения.// Изв. М1 СССР, Техн. Кибернет.1987. № 4. С. 200-207.
- 2 Аветисян В.В Оптимальные по энергозатратам перемещения электромеханическог манипуляционного робота /. Нав РАН Теория и Системы Управления 1996 №4 С. 186-192.
- 4 Калман Р Об общей теории систем управления. 27 Тр 1-го конгр. Междунар федерации по автомат управ-ю. (IFAC). М. АЕ СССР 1961-1.2 С.521-547
- 4 Черноусько Ф. Л. О построении ограниченного управления в колобательных системах. // ПММ 1988 Т. 52 Вып. 4. С. 549-558
- 5 Добрынина И. С. Черноусько Ф. А. Ограниченное управление линейной системой четвертого порядка // РАН Техн. Кибернет 1992. № 6 С. 94-100.
- Ананьевский И.М. Управление линейной системой четвортого порядка при смешанных ограничениях // ПММ 2000 Т.64 Вып. 6 С. 901-908.
- 7. Аветисян В.В. Ограниченное векторное управление динейной динамической системой // Сб науч. Тр. Конф. "Вопросы оптимальные управления, устоичивости и прочности механических систем", Ереван, 1997. С. 13-17.
- 8 Аветисян В.В. Ограниченное управление линейной динамической системой с ограничением на фазовую скорость // Илв. НАП РА. Мехапика 2000. 1 53 № 4 С 48-56.

Институт механики ИМПРА Поступила в редакцию 19-11-2001

чарына дарагын иммадала йоналаномдан китэавы имнамда жан иммадала йоналаномдан китэавы

Մհիսանիկա

55, Ne1, 2002

Механика

ΥΔΚ 62-50

ОБ УПРАВАЯЕМОМ ДВИЖЕНИИ МАТЕРИАЛЬНОП ТОЧКИ С НЕФИКСИРОВАННОЙ МАССОЙ А.А.Гукасян, А.Г.Матевосян

Ա.Ա. Վուկասյան, Ա.Գ. Մաթեոսյան Չֆիքոված զանգվածով նյութական կետի ղեկավարվող չարժման մասին

Դիտարկված է չֆիրսված գանգվածով նյութական կետի ղեկավարվող չարժումը դեկավարող ֆունկցիայն սինթեցի տեւսրով, դունկցիայն սինթեցի տեւսրով, ֆիրսած մչանափոխության կորի դեպրում, որը ապահովում է նյուրական կետի ընթումբ ֆազային հարթության սկզբնակետ զանգվածի բոլոր թուլյատրելի արժեքների դեպրում մեկ նշանափոխություն կիրծունետիկ գլտեման է առացված է դեկավարձարիան կիրծունետիկ գլտեման է առացված են վերջնական դրբյչը թերման ժամանակի գլտենակի գլտեման ին արժերների ուսորվում մեկ նշանակում միրչը թերման ժամանակի գլտենակի գլտեման հարձարի ուսորվում արժերների դեպրում

A.A. Ghukasyan, A.G. Matevosyan About of controlled movement of a material point of unset mass

Рассматривается управляемое движение материальной точки с нефиксированной мессои с ограничением на управляющую функцию. Построена управляющая функция в форме сингеза при фиксированной лянии переключения которая обеспечива і приводение материальной точки и начало координат фазовой плоскости для всех допустимых значении часс с одной гочкой переключения. Приводится кибернетическая схема управления и получены оценки премен приведения в терминильное состояние для различных значения часс мотериальной точки.

1. Постановка задачи управления. Рассмотрим управляемое движение материальной точки с одной степенью свободы. Уравнение движения гочки имеет вид

$$mx = u \tag{1.1}$$

где х -обобщенная координата точки, и — управляющая сила.

Предполагается, что масса m точки нефиксирована, по находится в заданных пределах

$$m_0 \le m \le M \tag{1.2}$$

На управляющую силу наложено следующее ограничение:

$$|u| \le 1 + \eta \cdot \text{rage max } \eta = \frac{M - m_0}{M + m_0} \tag{1.3}$$

Требуется построить оптимальное управление в фюрме синтеза $u(x,\dot{x})$ такое, что при любом значении массы m удовлетворяющем ограничениям (1.2), всякая траектория движения точки приводилась в пачало координат фазового пространства при фиксированной линпи переключения, построенной для массы m (не нарушая общикати, можно считать $m'=(M+m_0)/2$). Требуется также построить управляющую функцию с минимальным числом точек переключений и, при возможности, сохранить ограничение $u\leq 1$

2. Синтоз задачи управления. Исследуем сначала задачу оптимального приведения материальной точки и начало координат при ограничении

 $|u| \le 1$ с фиксированной массой m'. Известно [1], что для заданной массы синтез оптимального по быстродействию управления имеет форму

$$u(x,x) = \begin{cases} -1 & \text{при} & x > 0 \text{ if } x \ge -m'x^2/2 \\ -1 & \text{при} & x < 0 \text{ if } x > m'x^2/2 \\ 1 & \text{при} & x > 0 \text{ if } x < -m'x^2/2 \\ 1 & \text{при} & x < 0 \text{ if } x \le m'x^2/2 \end{cases}$$

$$(2.1)$$

Этот закон управления полностью определяется кривой переключений $x=\pm m'x^{\top}/2$. Полное время T приведения материальной точки массы m', управляемой по закону [2.1], из начального состояния (x_0,x_0) до терминального состояния (0.0) равно

$$T = m'x_0 + 2\sqrt{m'C'_{m'}} = m'x_0 + 2\sqrt{m'x_0 + m'^2x_0^2/2}$$

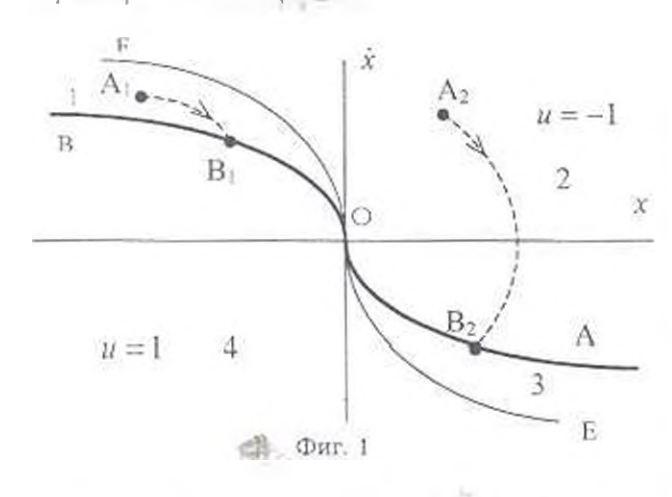
$$\text{при } C_{m'} = x_0 + x_0^2m'/2 \ge 0$$
(2.2)

$$T = -m'x_0 + 2\sqrt{-m'C_{si}}$$
 при $C_{m'} = x_0 - x^2m'/2 \le 0$ [2.3]

2.1. Исследуем поведение системы (1.1) в случае, когда масса m гочки не совпадает со значением m'.Предположим сначала, что масса точки m меньше параметра кривой переключений, т.е.

$$m_0 \le m < m' \tag{2.4}$$

Фазовыми граскториями движения точки массы m при ограничении $u^{1} \le 1$ является семейство нарабол $x = \pm mx^{2}/2 + C$ [1]. На фиг 1 жирной линией изображена кривая переключений, отвечающая массе m^{1} и ограничению $|u| \le 1$ а топкой сплошной линией— отвечающая массе m при ограничении $|u| \le 1$.



Пусть спачала чальная точка находится выше кривой переключений АОВ (фиг.1) Траектория движения здесь состоит из двух ветвей парабол В первом случас, когда начальная точка $A_1(x_0, x_0)$ нахоимянний уджэм котид ОВ и ОF, то при сохранении линии переключения АОВ **АВИГАТЬСЯ БНЖКОД** нараболе семейства

 $x = -mx^2/2 + C$ ($C = x + x_c m/2 \le 0$) при u = -1 до точки пересечения $B_1 = \infty$ данеатой $x_1 = (2C/(m-m'))^{-2}$. Далее, если не изменить величину управляющей функции u, возможности которой мы имеем (1.3) то точкы 76

может двигаться до начала координат вдоль линии переключения ВО при скользящем режиме управления (фиг. 1). Избегая многочисленных точек переключения на участке траектории В.О. в рамках ограничения [1.3].

управляющую функцию определим в виде
$$u=-1-\eta$$
 где $\eta=\frac{m-m}{m'}<0$

При этом линия B,O является траекторией движения точки с массой m (2.4). Аналогично можно построить закон управления и фазовые траектории движения точки, когда начальная точка (x_0, x_0) находится в областих 2,3,4 (фиг. 1).

Синтез оптимального по времени управления с одной точкой переключения при сохранении линии переключения АОВ имеет вид

$$u(x,x) = \begin{cases} -1 & \text{при} & x > 0 \text{ и } x > -mx^{2}/2 \\ -1 & \text{при} & x < 0 \text{ и } x > mx^{2}/2 \end{cases}$$

$$u(x,x) = \begin{cases} -1 & \text{при} & x > 0 \text{ и } x = -mx^{2}/2 \\ 1 & \text{при} & x < 0 \text{ и } x < mx^{2}/2 \end{cases}$$

$$1 & \text{при} & x < 0 \text{ и } x < -mx^{2}/2 \\ 1 & \text{при} & x < 0 \text{ и } x = mx^{2}/2 \end{cases}$$

$$(1+\eta) & \text{при} & x < 0 \text{ и } x = mx^{2}/2$$

$$\tau_{AR} \ \eta = \frac{m - m^{\epsilon}}{m'} < 0$$
.

Так как управление происходит по обратной связи, то предполагается, что связь имеет возможность в каждый момент времени определить как фазовое состояние движения, так и массу материальной точки (фи: 3) Следовательно, в формуле (2.5) значение η считается известным

Время движения между точками A и B_1 равно $t_1 = m(x_0 - x_1) = m(x_0 - \sqrt{2C/(m-m')})$, а от точки B_1 до начала координат $t_1 = m'x_1 = m'(\sqrt{2C/(m-m')})$.

Следовательно, полное время движения материальной точки массы m из начального состояния (x_0, x_0) до терминального состояния (0.0) при управлении (2.5) равно

$$T = t_0 + t_1 = mx_0 + \sqrt{2(m - m')C}, \qquad C = x_0 + x_0^2 m/2 \le 0$$
 (2.6)

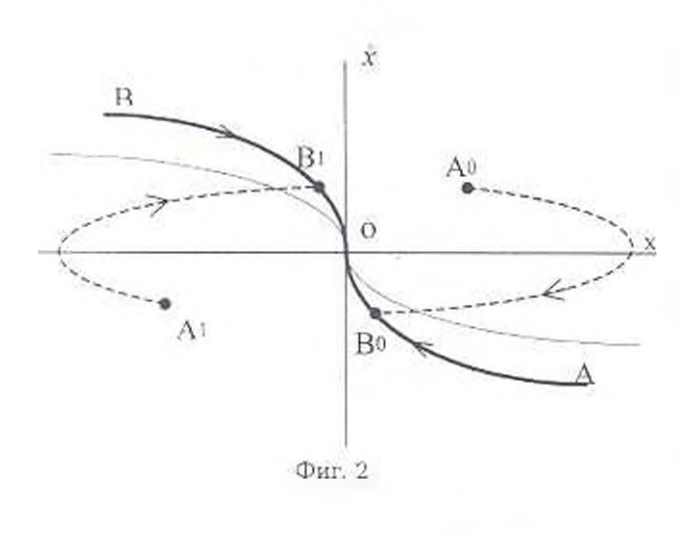
Апалогично определяются полные времены движения материальной точки в случае когда траектория движения пачинается в областях 2.3.4 (фиг. т), соответственно

$$T = mx_0 + \sqrt{2(m+m')C}, \qquad C = x_0 + x^- m/2 \ge 0$$
 (2.7)

$$T = -mx_0 + \sqrt{2(m'-m)C}$$
, $C = x_0 - x_0 m/2 \ge 0$ (2.8)

$$T = -mx_0 + \sqrt{-2(m+m')C}, \quad C = x, -x, m/2 \le 0$$
 (2.9)

2.2. Предположим теперь, что масса материальной точки больше вараметра кривой переключений, то есть m' < m < M . При ограничении



 $u \leq 1$ II управления (2.1) траектория движения материальной точки массы т представляет собой спираль, содержащую бесконечное число витков [2] Чтобы в законе управления переключение проясходило не более одного раза. управляющая функция должна принять значения $(u = 1 + \eta + 1.3)$, где

 $\eta = \frac{m-m'}{m'} > 0 \; , \quad \text{ hocke}$

выхода материальной точки на кривую переключения АОВ

Не нарушая общности, можно считать что начальная точка траектории находится выше линий переключений AOB фиг.2 (жирпая линия). Траектория движения точки здесь состоит из двух участков, от начальной точки $A_q(x_n,x_q)$ по параболе $x=-mx/2+C_n$ [фиг.2, штриховая линия), где $C_0=x_0+x_0m/2>0$ до точки пересечения $B_-(x_1)=-(2C_-/(m+m))$ с кривой переключения AOB_- а затем до начала координат — по линии переключения B_0O

Время движения между гочками A_0 и B_0 равно $t=m(\bar{x}_0-\bar{x}_1)=m(\bar{x}_0+\sqrt{2C_0/(m+m')}),$ а от точки B_0 до начала координат равно $t=-m'x_1$

Следовательно, полное время T движения материальной гочки массы m . Управляемой по закону (2.5), где $\eta = \frac{m-m'}{m'} > 0$, из начального состояния $\left(x_n, x_0\right)$ до терминального состояния $\left(0,0\right)$ равно

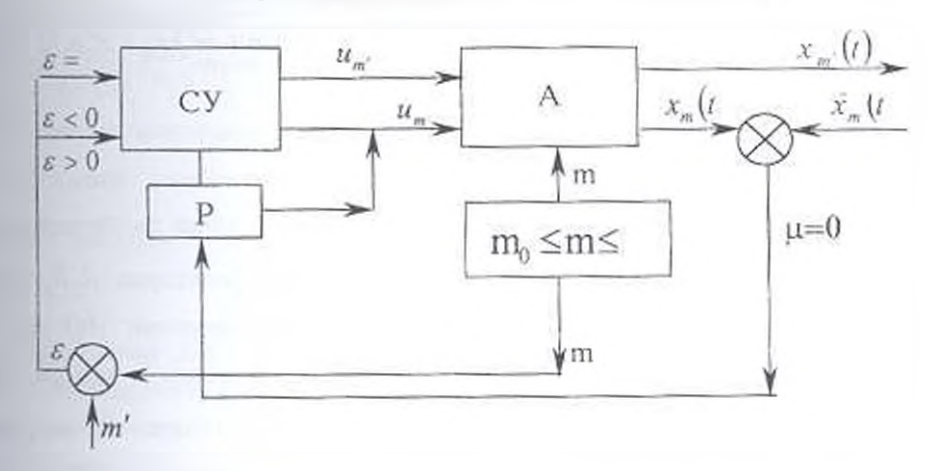
$$T = mx_0 + \sqrt{2(m+m')C_0}, C_0 = x_0 + x_0^2 m/2 > 0$$
 (2.10)

В случае, когда начальная точка (x_0, \dot{x}_0) находится ниже линии переключений AOB, то время движения определяется следующим образом:

$$T = -mx$$
, $-\sqrt{-2(m+m')C_0}$, $C_0 = x_0 - x_0 m/2 < 0$ [2.11]

кибернетимескую схему управления материальной точки с пефиксированной массой по закону (2.5) можно представить в виде (фил 3)

С практической точки эрения такие задачи могут возникнуть при управлении механических систем, перемещающих грузы, массы которых могут меняться в заданных пределах и система управления которых оптимальна по быстродействию для конкретного значения массы паремещаемого груза. Подобные задачи при разных постановках и методах исследования рассмотрены в таких работах, как [2-4]



(t) — кривая переключений, отвечающая параметру m' , $x_{ij}(t)$ — граектория движения, $\mu = x_{m'}(t) - x_{m}(t)$, $\epsilon = m - m'$

3. Сравнение времен движеция для различных значений масс материальной точки. Обозначим через T^{**} время движения точки массы m из начального состояния (x_0,x_0) до начала координат при законе управления (2.5). Если масса m материальной точки совнадает со значением m', то управление в форме синтеза (2.1) обеспечивает ее приведение в терминальное состояние (0.0) за минимальное время. Время движения в этом случае будет

$$T_{m'}^{m} = m'\dot{x}_0 + 2\sqrt{m'C_{m'}}, \qquad C_{m'} = x_0 + \dot{x}^*m'/2$$
 (3.1)

Если же масса m не повпадает с расчетным значением m' то справельно следующее утверждение [2]:

$$T^m < T_m$$
 при $m < m$ (3.2)

Если масса m материальной точки больше значений m' то справедливы следующие леммы.

Лемма 1. Пусть $m^{'} < m < M$. Тогда

$$T_m^m < T_m^m < T_M^m$$
 (3.3)

Доказательство. Согласно формуле (2.10), имеем

$$T_M^m = Mx_0 + \sqrt{2(M+m')C_M},$$
 $C_M = x_0 + x^2M/2 > 0$
 $T_M^m = mx_0 + \sqrt{2(m+m')C_M},$ $C_m = x_0 + x_0^2m/2 > 0$

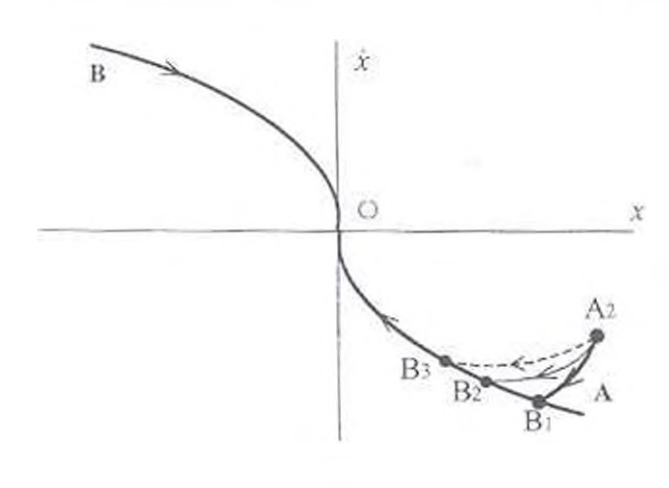
Поскольку $C_{\scriptscriptstyle M}$ и $C_{\scriptscriptstyle m}$ неотрицательны, то при $x_{\scriptscriptstyle 0}\!>\!0$ справедливы следующие соотношения:

$$T_{0} = Mx_{0} + \sqrt{2(M + m')(x_{0} + x_{0}M/2)} > m\bar{x}_{0} + \sqrt{2(M + m')(x_{0} + x_{0}^{2}m/2)} >$$

$$> mx_{0} + \sqrt{2(m + m')(x_{0} + x_{0}^{2}m/2)} = T_{m}^{m} > m'x_{0} + \sqrt{2(m + m')(x_{0} + x_{0}^{2}m/2)} >$$

$$> mx_{0} + 2\sqrt{m'(x_{0} + x_{0}^{2}m'/2)} = T_{m}^{m} > m'x_{0} + \sqrt{2(m + m')(x_{0} + x_{0}^{2}m/2)} >$$

Если $x_n < 0$, то траектория движения каждой из точек разбивается на два участка. Обозначим через B_2 гочку, в которой траектория A,B_2 движения точки массы m выходит на кривую переключений AO фиг 4 (топкая силошная диния). От начальной точки A_2 гочка с массой m сначала движется по дуге параболы $x = m|x^*/2 + C$ до точки B (жирная диния) а затем по кривой переключений до точки B_2 . Так как граектория движения точки массы m' дежит пиже траектории гочки



Следовательно, $T_{M}^{m} > T_{-} > T_{-}$.

Dar. 4

массы n_{1} 410 означает она движется с большей по модулю скоростью и. следовательно. быстрее состояния достигает В. Второй участок из состояния B_{\pm} до пачала координат обе точки овохьнидо індоходії Поэтому полное время движения материальной массы 211 точки меньше, чем время

движения точки массы m. Такая же ситуация справедлива для точек массы m и M (фиг.4—тонкая сплошная и штрихованная линии). Лемма доказана

Аемма 2. Пусть
$$m' < m'' < M$$
. Тогда $T_M^m < T_M^m$ (3.4)
Доказательство. Согласно формуле (2.10), имеем
$$T_M^m = M \dot{x} = 2(M + m')^2 x + x^2 M/2$$

$$T_M^m = M\dot{x}_0 + \sqrt{2(M + m')(x_0 + x_0^2 M/2)}$$

$$T_M^{m'} = M\dot{x}_0 + \sqrt{2(M + m'')(x_0 + x_0^2 M/2)}, \quad x_0 + x_0^2 M/2 > 0$$

Следовательно, по условию леммы имеет место $T_{ii}^m < T_{ii}^m$. Лемма доказана.

Лемма 3. $T_M^{m_0} = \min \max T_m^m$

Доказательство. Из утверждений (3.2) и леммы 1 вытекает равенство $T_M^m = \max T^m$, то есть при законе управления (2.5) с любым параметром m, удовлетворяющим ограничению (1.2), дольше всего движется гочка наибольшей допустимой массы M. Согласно лемме 2 min $T_M^m = T_M^{m}$. Лемма доказана.

АИТЕРАТУРА

- 1 Понтрягин А.С., Болтянский В.Г., Гамкрелидзе Р.В., Мищенко Е.Ф. Математическая теория оптимальных процессов М. Наука, 1983.
- Ананьевский И.М. Игровая задача управления материальной гочкой веизвестной массы. Изв. РАН. Теория и системы управления 2000. №4. С.19-27.
- 3 Ананьевский И.М. Два подхода к управлению механической системой с неизвестными параметрами.// Изв. РАН. Теория и системы управления 2001 №2. С.39-47.
- Ананьевский И.М Управление двухмассовой системой с неизвестными параметрами. Изв. РАН. Теория и системы управления. 1998. №2-С.72-82

Ереванский государственный **Унив**ерситет

Поступила в редакцию 16.07/2001 Մեխանիկա

55, Ne1, 2002

Механика

YAK 531.36

ОБ УСТОЙЧИВОСТИ СИСТЕМЫ ЛИНЕЙНЫХ ДИФФЕРЕН-ЦИАЛЬНЫХ УРАВНЕНИЙ С ПЕРИОДИЧЕСКИМИ КОЭФФИЦИЕНТАМИ ПО ДЕЙСТВУЮЩЕЙ СИЛЕ Шагинян С. Г.

Ս.Գ Շահինյան

Պարբերական գործակիցներով գծային գիֆերենվիալ հավասարումների համակարդի ապրության մասին

"Ռուսարկված է այսօրբերական գործակիններով գծույին դիֆիդնեցիայ համատորումների հատարակիրակի այսօրկայում կարումակության խնդիրը Կատարելով Լրակունովի ձևափոխությում կարություրը իրկերը իրականի Լրակունովի ձևափոխություն կարությունը համատումների համակարգի չատ ապրության ու հիֆերենցիայ հավասակումների համակարգի չատ ապրող աժիրականի հայարարանի հայարարական համաանակ այստության հայարարական համակարգին և ցույց է արված, որ կատարարված ձևափոխության ժամանակարգինիական այստության իրակարգինի դատարարական համակարգինի դատարարան կանդիրսերի համակարգինի դատարարան կանդիրսերի համակարգինի դատարարական հայարարան հայարարան հայարարան հայարարարան հայարարան հայարարան հայարան հայարարան հայարանակարգինի հայարարան հայարարան հայարան հայար հայարան հայարան հայարան հայարան հայարան հայարան

Սայազմած են անհրաժերտ ու թավարար պայմաններ պարբերական գործակիցներով զջային դիմելնեցիալ հավասարգաների համակարգի ըստ ազգաղ ուժի կայունության ասիմպատաիկ կայունության հանակարգի ըստ ազգաղ ուժի կայունության ասիմպատաիկ

S G Shabinyan

On the Stability of Acting Force of the Systems of Differential Equation with Periodical Coefficients

Россмотривается задач» устойчивости из действующей силе системы заненных дифиререпциольных ураниения с периодическими коэффициентами. С исменью преобразования запунова задача приведена к задаче устойчивости по действующей силе систем запечных дифреренциальных уравнения с достоинными коэффициентами. Показано что при преобразовании сохраняется эканвалентность задач устойчивости по дейстнующей силе систем с периодическими и с постоящыми коэффициентами.

Получены пеобходимые в достаточные условия, при которых система авленных дирференциальных уравнений с периодическими коэффициентами устойчива асимплотически устоичива или неуслойчива по действующей силе

Рассмотрим систему линейных дифференциальных уравнений

$$x = A(t)x \tag{1}$$

где $x \in R^+$. $A(t) = (n \times n) = матрица.$ элементы которой непрерывные периодические функции периода ω

Рассмотрим также систему

$$x = A(t)x + \varphi(t) \tag{2}$$

где Ф(1) удовлетноряет всем условиям, указанным в [1]

Пусть р₁₁, р₂,..., р₄ - кории характеристического уравнения системы

(1) с кратностями $p_1, p_2, ..., p_n$ соответственно $\{k \le n, \sum_{i=1}^n p_i = n\}$

Известно [2] что всякую систему линейных дифференциальных уравнений с периодическими коэффициентами можно преобразовать при помощи линейной подстановки с периодическими коэффициентами в систему уравнений с постоянными коэффициентамя. Обозначим через

$$y = B(t)x \tag{3}$$

где $B(t)=b_n(t)-(n\times n)$ -мерная действительная матрица, эдементы которой непрерывные, ограниченные, периодические функции периода 20 (в общем случае), причем $\det B(t)\neq 0$ при любом значении t $b_n(t)\leq b<\infty$ (i,j=1,...,n)

После преобразования (3) система (1) будет

$$\dot{y} = Ay \tag{4}$$

где матрица $A=B(t)A(t)B^{-1}(t)$ — постоянная и имеет вид

$$A = \begin{pmatrix} A_1 & 0 & \dots & 0 \\ 0 & A_2 & \dots & 0 \\ & & & \ddots & \\ 0 & 0 & \dots & A_k \end{pmatrix}$$

Здесь постоянная матрица A_i имеет размерность $p_i \times p_i$:

$$A_{i} = \begin{pmatrix} \alpha_{i} & 0 & \dots & 0 & 0 \\ -1 & \alpha_{i} & \dots & 0 & 0 \\ \vdots & \vdots & \ddots & \vdots & \vdots \\ 0 & 0 & \dots & \alpha_{i} & 0 \\ 0 & 0 & \dots & -1 & \alpha_{i} \end{pmatrix}$$
 $(i = 1,\dots,k)$ (5)

а числа $\alpha = \frac{1}{\omega} \ln \rho_i$ (i = 1,...,k) — характеристические показатели системы (11 [2])

В общем случае, числа и комплексные. Так как коэффициенты уравнения (1) веществениы, то все комплексные корпы характеристического уравнения и все комплексные решения системы (4) распадаются на пары сопряженных. Следовательно, есть возможность привести систему (4) в систему лицейных дифференциальных уравнения с постоянными действительными коэффициентами [3].

Делая преобразование (3), система (2) приводится к виду

$$\dot{y} = Ay + \psi(t) \tag{6}$$

the $\psi(t) = B(t)\varphi(t)$

Покажем, что вектор-функция $\psi(t)$ тоже удовлетворяет всем условиям указанным в [1].

Действительно,

1)
$$\left\| \int_{t_0}^T \psi(t) dt \right\| = \left[\sum_{i=1}^n \left(\int_{t_0}^T \psi_i(t) dt \right)^2 \right]^{\frac{1}{2}} = \left[\sum_{i=1}^n \left(\int_{t_0}^T \sum_{j=1}^n b_{ij}(t) \varphi_j(t) dt \right)^2 \right]^{\frac{1}{2}} \le$$

$$\leq \left[\sum_{i=1}^{n} \left(\sum_{t_{0}}^{T} \sum_{j=1}^{n} b \cdot \varphi_{j}(t) dt\right)^{2}\right]^{\frac{1}{2}} = b \left[\sum_{i=1}^{n} \left(\sum_{j=1}^{n} \int_{t_{0}} \varphi_{j}(t) dt\right)^{2}\right]^{\frac{1}{2}}$$

и есан

$$\left\| \int_{t_0}^{T} \varphi(t) dt \right\| < \delta, \text{ to } \left\| \int_{t_0}^{T} \psi(t) dt \right\| < b \left(\sum_{i=1}^{n} \delta^2 \right)^{\frac{1}{2}} = b \sqrt{n} \delta = \delta_1;$$

2) так как $\varphi(t) \equiv 0$ при $t \geq T$, то $\psi(t) = B(t) \cdot \varphi(t) \equiv 0$ при $t \geq T$.

Гаким образом, задача устойчивости по действующей силе системы [1] приводится к задаче устойчивости по действующей силе системы [4] Известно [4], что критерии устойчивости по действующей силе системы [4] формумируются следующим образом.

- Для того чтобы система (4) была асимптотически устойчина по действующей силе необходимо и достаточно, чтобы корни соответствующего характеристического уравнения имеди отрицательные непрественные части.
- 2. Для того, чтобы система (4) была устойчива по действующей силе, необходимо и достаточно, чтобы соответствующее харыктеристическое уравнение имело пулевой корень с кратностью r ($1 \le r \le n$), которому соответствуют простые элементарные делители, а остальные кории имеют отрицательные вещественные части

Во всех остальных случаях система (4) неустойчива по действующей силе

Кории характеристического уравнения, соответствующего системе (4), являются характеристическими показателями системы (1) [2] Следовательно, верны следующие утверждения:

Теорема 1. Для того, чтобы система (1) была устойчина по лействующей силе, необходимо и достаточно, чтобы характеристические показатели α , удовлетворили следующим условиям

а) существует $\alpha = 0$ с кратностью p_i , которому соответствуют простые элементарные делители.

$$\bar{n}$$
 Re $\alpha < 0$ $(i = 1, k; i = l)$

Теорема 2. Для того, чтобы система [1] была асимптотически устойчива по действующей силе, необходимо и достаточно, чтобы все характеристические показатели имели отрицательные вещественные части.

Во всех остальных случаях система (1) неустойчива по действующей силе.

Замечание Вышесформулированные утверждения можно сформулированые утверждения можно сформулированые утверждения можно сформулированые утверждения можно сформулированые утверждения можно сформулированные утверждения у

Для того, чтобы система (1) была устойчива по действующей силе, необходимо и действующей систем корни соответствующего характеристи ческого ураннения удовлетворяли следующим условиям.

al существует корень $\rho_c=1$ с кратностью ρ_c , которому, соответствуют простые элементарные делители:

6)
$$|\rho_i| < 1 \quad (i = 1,...,k; i \neq l)$$

Для того, чтобы система (1) была устойчива по действующен силе, необходимо и достаточно, чтобы все корни характеристического уравнения системы (1) были внугри единичного круга.

Во всех остальных случаях система (1) неустойчива по действующей силе.

Автор выражает свою искреннюю благодарность доктору физ.-мат, наук, профессору Габриеляну М.С. за постоянное внимание к работи, а также за многие полозные советы и замечания.

АИТЕРАТУРА

- Габриелян. М.С., Шагинян С.Г. О построении функции Аяпунова. // Уч. записки ЕГУ 1987. №1. С. 39-45.
- 2. Аяпунов А.М. Общая задача об устойчивости движения М А.:Гостехирдат, 1950. 472c
- 3. Малкин И. Г. Теория устойчивости движения. М.: Наука. 1966. 533с.
- Шагинян С.Г. Об одной задаче теории устойчивости. // Уч. записки ЕГУ. 1986. №2. С.39-46

Ереванский государственный университет Поступила в редакцию 29.11.2001

Մեխանիկըս

55. №1. 2002

Мехапика

Письмо в редакцию

Уважаемая редакция, нами в работе "Влияние индуцированного электромагнитного поля и понеречных сдвиговых деформаций на колебание проводящих пластин в поперечном магнитном поле" (Изв. НАН Армении, 2000, Т. 53, №3, С.59-65) была допущена оплошность. Уравнения (2.8) должны быть заменены следующими уравнениями:

$$\frac{\partial}{\partial z} \left(\frac{\partial e_1}{\partial x} + \frac{\bar{\partial} e_2}{\bar{\partial} y} \right) = \frac{c}{4\pi\sigma} \left(\frac{\partial^2}{\partial x^2} + \frac{\bar{\partial}^2}{\bar{\partial} y^2} - \frac{4\pi\sigma}{c} \frac{\bar{\partial}}{\bar{\partial} t} \right) \left(\frac{\partial h}{\partial x} - \frac{\partial h}{\partial y} \right)$$

$$\frac{\partial h_1}{\partial x} + \frac{\partial h_2}{\bar{\partial} y} + \frac{\partial h}{\partial z} = 0$$

а далее, как в тексте. Следует отметить, что изменение не влияет на характеристическое уравнение (3.3) и на дальнейшие рассуждения.

Отметим также, что в левых частях уравнений (2.6) и (2.7) пропущен

oneparop
$$= \frac{\partial^2}{\partial x^2} + \frac{\partial^2}{\partial y^2} - \frac{1}{c^2} \frac{\partial^2}{\partial t^2}.$$

На эту оплошность нам указал кандидат физ-мат наук С.А. Джилавян, за что и выражаем ему благодарность

С уважением

авторы статьи: А.С. Погосян, С.В. Саркисян.